ՀՍՍՀ ԳԱ Տեղեկագիր

# PSNHO3NHUUT TP4PP UUUTU HAYKИ О ЗЕМЛЕ EARTH SCIENCES



### **ԽՄՔԱԳՐԱԿԱՆ ԿՈԼԵԳԻ**Ա

ՀՍՍՀ ԳԱ Թղթ.-անգաժ Ա. Տ. Ասլանյան (պատասխանատու խմրագիր), տեխն. գիտ. թեկն. Ս. Վ. Բաղալյան, ՀՍՍՀ ԳԱ Իղթ.-անգաժ Ա. Բ. Բաղզա-սաբյան, երկրա-մանթ. գիտ. թեկն. Դ. Պ. Բաղղասաբյան, ՀՍՍՀ ԳԱ Թղթ. անդաժ Ա. Հ. Գարբիելյան, երկրա-մանթ. գիտ. թեկն. Է. Խ. Գուլյան, երկրա-մանթ. գիտ. ուկա. Է. Ա. Խաշատբյան (պատասխանատու խմրագրի տեղակալ), ՀՍՍՀ ԳԱ ակադ. Հ. Գ. Մաղաքյան, երկրա-մանթ. գիտ. թեկն. Ռ. Տ. Միբիջանյան, ՀՍՍՀ ԳԱ ակադ. Ա. Գ. Նազաբով, երկրա-մանթ. գիտ. թեկն. Գ. Գ. Շիբինյան, Է. Ա. Ռոս-տոսակա (պատասխանատու քարտուղար), երկրա-մանջ. գիտ. թեկն. Ա. Գ. Շիբինյան, Է. Ա. Ռոս-տոսայան (պատասխանատու քարտուղար), երկրա-մանջ. գիտ. թեկն. Ա. Ս. Ֆա-

### РЕДАКЦИОННАЯ КОЛЛЕГИЯ

Член корр. АН Арм. ССР А. Т. Асланян (ответственный редактор), член-корр. АН Арм. ССР А. Б. Багдасарян, канд. геол.-мин. наук Г. П. Багдасарян, канд. техн. наук С. В. Бадалян, член-корр. АН Арм. ССР А. А. Габриелян, канд. геол.-мин. наук Э. Х. Гулян, акад АН Арм. ССР И. Г. Магакьян, канд. геол.-мин. наук Р. Т. Мириджанян, акад. АН Арм. ССР А. Г. Назаров, Э. С. Ростомова (ответственный секретарь), канд. геол.-мин. наук Л. С. Фарамазян (заместитель ответственного редактора), докт. геол.-мин. наук Э. А. Хачатурян (заместитель ответственного редактора), канд. геол. мин. наук К. Г. Ширинян.

ы дры дры рушь за вой 375019, времы 19, Рырь цыблирушь 24 ш. Адрес редакции: 375019, Ереван 19, Барекамутян, 24а

Swoor XXXIV

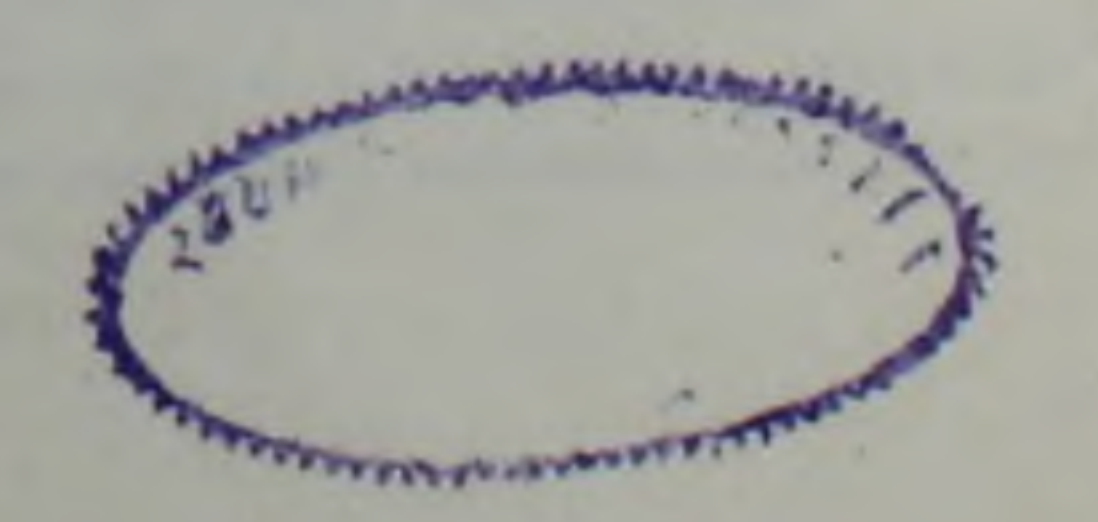
N 2

Am 409

1981

### PNUUVPUUNPBNIV

u. u.	ուվուվյան, բարգուշատի ներծին օրկրաքիական անոմայիաները և չմերկացած	
	Հանբայնացվան հոտնկարները.	3
U. 4.	Արզումանյան. Արաքայան միջլեռնային ձկվածքի ստրուկտուրայի առալության	+
	մասին	13
2. <b>9</b> .	Գույումօյան, Ռ. Տ. Ջրբաշյան, Չանգեզուրի կայնողոյան հրաբխային և պլուտոնիկ	
	կոմպլերսեերի քիմիզմի Համեմատական բնութագիրը	19
4. P.	Գրիգույան, Ս. Ա. Գավթյան. Շահյե-խարաժ-ժետազական արգասիցների նյութա-	
	կան կազմը	33
<b>3.</b> 2.	Շիխյան, Կ. Մ. Մաբտիկյան, Հ. Ս. Համազասպյան, Հայաստանի գունավոր ժետադ-	
	ենրի հանցանյունների արդյունավետ ոգտագործման մասին	49
Մ. Ա.	Սաթյան, Օֆիոյիտոկյաստները Մեգոնետիսի օֆիոյիտային ձկվածջների էվա-	
	புருழியுள்ள	56
u. u.	Գրիցույան, Ս. Վ. Կոզհունկո, Բ. Հ. Մանութաղյանց. Հայկական ՍՍՀ մի թանի	
	ոսկերեր հանրավայրերի ձևավորման շերմաստիճանային պայմանները	65
	411 IP31 0 00 411 0 000 0	
	ՀԱՄԱՌՈՏ ՀԱՂՈՐԴՈՒՄՆԵՐ	
ն. Գ.	ջավեիլան, Ա. Ա. Սանադյան. <i>Բարդ երկրարանական պայմաններ ունեցող</i> տեղա-	
	մասերում թունելային երեսարկման աշխատանքի հետազոտումը .	74
Bnt. A	է Դավիդով, Վ. Ֆ. Կուզին, Ֆտորի հեյտրոնաակտիվացիոն կարոտաժի ուղղակի	
	խնդիրը Հորատանցքի ազդնցության հաշվառմամբ	78
4. 4.	Ասլիբեկյան, Մ. Տ. Տոնոյան, Ա. Պ. Դանիելյան, Ա. Վ. Պետբոսյան. Ազատի ջրաժ-	
	րարում Ֆիլարասման էլեկտրանետախուցական աշխատանքների արդյունքները	32



Nº 2

### СОДЕРЖАНИЕ

денения Баргушата	3
С К Арзуманян К вопросу структурной зональности Араксинской межгорной вна-	
дины	13
О. П. Гуюмджян, Р. Т. Джрбашян. Сравин гельная характеристика химизма кай-	
нозойских вулканических и плутонических комплексов Заигезура	19
Г. Б. Григорян, А. 1. Давтян. Вещественный состав штенно-шлако-металлических	
продуктов	38
Г. Г. Шехян, К. М. Маргикян, Г. С. Анагасиян. К вопросу о рациональном исполь-	
зовании руд цветных металлов Армении	49
М 4 Саткан Офиолитокласты в эволюции офиолитовых прогибов Мезотетиса	56
С С Григорчи, С В Козеренко, Б. О. Манучарянц Температурные условия фор-	
мирования некоторых золоторудных месторождений Армянской ССР	65
Краткие сообщения	
F. F. Zaanuau A. A. Caucasau Maararanaan habana hab	
Е. Г. Завриян. А. А. Санагян. Исследование рапоты тоннельных обделок на участ-	~ .
ках со слежными геологическими условиями	74
10. Б. Давыдов. В. Ф. Кузин. Прямая задача нейтронноактивационного каротажа	
на фтор с учетом влияния скважины	78
Г. Г. Аслибекян, М. Т. Тоноян, А. П. Даниелян, А. В. Петросян. Результаты элек-	
троразведочных работ по изучению фильтрации на Азатском водохранилище	83

УДК 5504:5512(479.25)

### А А АВАКЯН

# ЭНДОГЕННЫЕ ГЕОХИМИЧЕСКИЕ АНОМАЛИИ И ПЕРСПЕКТИВЫ СКРЫТОГО ОРУДЕНЕНИЯ БАРГУШАТА

В северной части Зангезурского рудного района на основании около 3 тыс приближенно-количественных спектральных анализов геохимических проб выделено более 4-х десятков эндогенных геохимических аномалий Сц, Мо. Рь, Zп, Au, Ag. Апомалии отличаются качественным составом, количественным соотношением элементов, интенсивностью, конграстностью, размерами и др. Проведена систематизация аномалий, нозволяющая выявить их практическое значение и тип возможно связанного с ними оруденения.

Обнаружена также зависимость между составом и интенсивностью, контрастностью аномалий. Наиболее интенсивны и контрастны аномалии, в состав которых входит широкий круг элементов-индикаторов.

На изученной территории выделены площади, различные по преобладающему типу геохимических аномалии, что, по-видимому, отражает их металлогеническую специфику.

В северной части Зангезурского рудного района обнаружен ряд эндогенных геомимических аномалий, в состав которых входят Си, Мо, Рь, Zn, Ag, Au.

Данная статья посвящена оистематизации и оценке обнаруженных аномалий, выяснению перспектив выявления скрытого оруденения на изученной площади. Публикации по этому вопросу, касающиеся изученной площади, отсутствуют. Кроме того, проведенные здесь геохимические работы до сих пор сводились к выделению моноэлементных геохимических аномалий без попытки обобщения полученного материала.

Принципы решения поставленной нами задачи вытекают из основных овойств эндогенных ореолов и соответствуют критериям интерпретации и разбраковки геохимических аномалий. Сама задача с точки зрения прикладной геохимии включает определение формационной принадлежности аномалий, выявление среди них зон рассеянной минерализации, определение возможности обнаружения скрытого оруденения и качественную оценку его масштаба.

Свойства закартированных геохимических аномалий (рис. 1), служащие для их интерпретации и разбраковки, приведены в табл. 1. В казанной таблице общий состав аномалий определен элементами, концентрация которых превышает фон в существенной части проб.

Специфика состава аномалии определяется элементами, преобладающими по содержанию и частоте встречаемости аномальных содержаний.

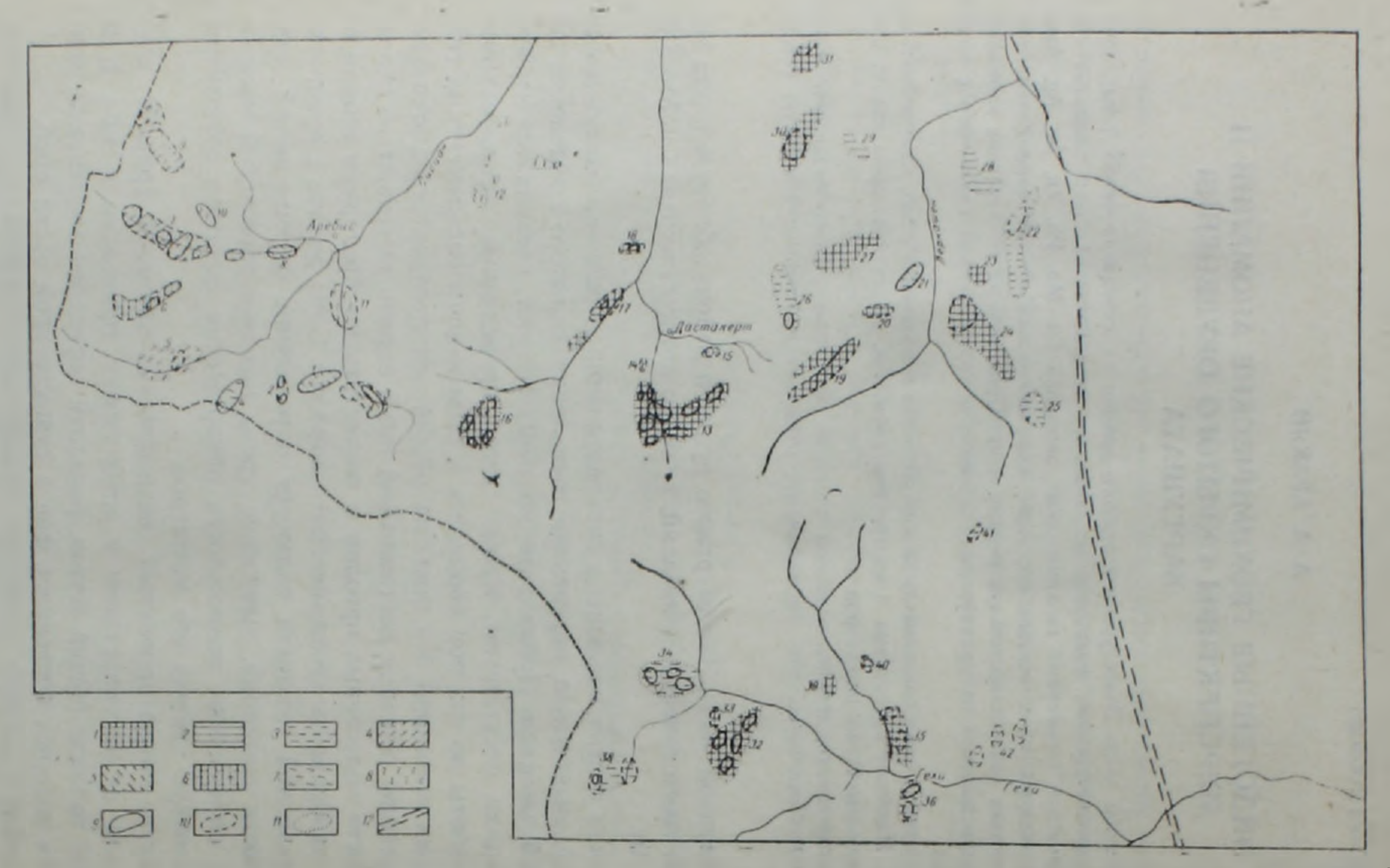


Рис. 1. Схематическая карта геожимических апомалий Баргушатского хребта. Типы апомалий: 1 – медно-молибденовые, 2 — медные, 3 — полиметаллические, 4 — серебро-полиметаллические, 5 — золото-полиметаллические, 6 — мо инбден-полиметаллические, 7 — молибден, серебро-полиметаллические, 8 — медно-молибденовые, серебро-полиметаллические. Контуры аномалий интенсивностью: 9 — свыше 10, 10 — от 3 до 10, 11 — менее 3 пические, 8 — медно-молибденовые, серебро-полиметаллические фона), 12 — тектопические структуры.

лин			цие элементы чалий	Элементы интенсив-	Аддитивный	Размеры	
SMOM8	Общий состав аномалий	по содержанию	по частоте встре-	по частоте встре- апомалий наиболее час-		максималь- ные значе- ния	аномалий
1	2	3	4	5	6	7	8
1 2 3 4 5 6 7 8 9 10 11 12 13 14 15 16 17 18 19 20 21 22 23	Cu, Mo, Pb, Zn, Ag, Au  Cu, Mo, Pb, Zn, Ag, Au  Mo, Pb, Ag, Au  Cu, Mo, Pb, Zn, Ag  Cu, Mo  Cu, Mo  Cu, Mo  Cu, Mo  Cu, Pb, Zn  Cu, Pb, Zn  Cu, Pb, Zn  Cu, Pb, Zn  Cu, Pb  Cu, Mo	Ag Ag Pb. Ag Mo, Ag Pb, Zn Pb Pb. Ag Pb. Ag Pb. Ag Pb. Ag Pb Cu, Mo, Pb Cu, Mo	Ag. Cu, Mo Pb. Ag Cu, Ag Cu, Pb Pb. Mo Pb. Cu, Ag Pb. Ag. Au Mo, Pb Cu, Mo Cu, Pb Cu, Pb Cu, Pb Cu, Pb Cu, Pb Cu, Mo	Cu. Mo, Pb Cu. Mo, Pb, Zn Bce') Pb, Zn, Ag Pb, Mo, Ag, Zn Pb, Ag Bce	0.8-6 6 0.3-3 1-5 1-3 1-4 1.5-9 0.3-0.8 2.5-3 2-4 2-3 1-10 1-2 1-2 3-5 3-5 3-5 3-5 1-2 1-3 1-1.5 1-2	60 60 60 60 60 60 5 9 25 4 > 100 5 4 60 > 60 > 60 > 60 > 60 > 60 > 60 > 60 >	2×1 1×0,5 1,5×0,5 1,2×0,3 2,0×1,0 2,5×0,5 3,0×0,8 0,8×0,3 1,5×0,75 0,8×0,3 1,8×1,0 0,2×0,3 3,0×2,0 0,1×0,2 0,2×0,3 1,5×1,2 0,8×0,2 0,2×0,3 1,5×1,2 0,8×0,2 0,2×0,3 1,5×1,2 0,2×0,3 1,5×1,2 0,2×0,3 1,5×1,2 0,2×0,3 1,5×1,2 0,2×0,3 1,5×1,2 0,2×0,3 1,5×1,2 0,2×0,3 1,5×1,2 0,2×0,3 1,5×1,2 0,2×0,3 1,5×1,2 0,3×0,2 0,3×0,2 0,3×0,2 0,3×0,3 0,2×0,3 1,5×1,2 0,3×0,3 1,5×1,2 0,3×0,3 1,5×1,2 0,3×0,3 1,5×1,2 0,3×0,3 1,5×1,2 0,3×0,3 1,5×1,2 0,3×0,3 1,5×1,2 0,3×0,3 0,3×0,3

1	2	3	4	5	6	7	8
24 25 26 27 28 29 30 31 32 33 34 35 36 37 38 39 40 41 41 42	Cu, Mo Cu, Pb, Zn Cu, Mo Cu Cu Cu Mo, Cu Mo, Cu Cu, Mo, Pb, Zn, Ag Cu, Mo Pb, Zn Mo, Cu Cu, Pb, Zn Pb, Zn Pb, Zn Cu, Pb, Mo, Zn, Ag Mo Mo Mo Ph, Cu Mo, Cu Ag Mo Mo Mo Mo Mo Ph, Cu Mo, Ag	Mo Cu Pb Cu Cu Cu Mo Mo Mo Cu, Mo, Ag Mo, Cu Pb, Zn Mo, Cu Pb Pb, Zn Cu, Pb Mo Mo Mo Mo Mo Mo Pb, Cu Mo, Ag	Cu, Mo Cu Cu, Pb Cu, Mo Cu Cu Mo, Cu Mo, Cu Cu, Mo Mo, Cu Pb, Zn Mo, Cu Pb, Zn, Cu Pb, Zn, Cu Cu, Pb, Mo Mo Mo Mo Mo Pb, Cu Mo Mo Mo Pb, Cu Mo	Pb Zn Bce Pb, Zn Bce Cu, Ag Bce Ag. Mo Bce Zn, Ag Bce Ag Zn, Ag Bce	1-5 0.15-1,5 1-2,5 0.5-1,5 0.5-1,5 0.3-2 0.8-6 0.8-6 0.8-6 0.5-7 1-3 1-3 1-5 1-3 1-5 1-3 1-2	60 6 4,5 2,5 2,5 2,5 4 10 10 70 16 >100 60 7 60 4 100 8 100 8	0,4×1,3 0,3×0,5 0,3×1,0 0,3×1,1 0,3×0,8 0,2×0,6 0,5×1,0 0,8×0,3 1,5×1,0 2,5×0,5 1,5×0,3 0,5×0,3 0,5×0,3 0,5×0,4 0,8×0,3

<sup>•</sup> Имеются в виду все элементы, определяющие общии состав аномалии.

Состав наиболее интенсивных участков апомалий может отличаться от общего ее состава. Как правило, здесь, кроме основных, наблюдаются также аномальные содержания элементов, не определяющих опецифический состав аномальн. Однако часто содержания последних достигают величин, сравнимых с содержаниями основных элементов аномалий

Интенсивность и контрастность аномалий определяются с помощью аддитивного показателя содержаний Cu, Mo, Pb, Zn, Ag. Указанный коэффициент, пропорциональный энергии рудообразования [3], рассинтывается по формуле ΣС IgC<sub>i</sub>, где C<sub>i</sub>—нормированные относительно фона содержания указанных элементов пндикаторов.

Приведенные пределы наиболее частых значений аддитивного показателя характеризуют интенсивность аномалии. Эта характеристика в сочетании с максимальным значением казанного показателя информирует о степени контрастности аномалия.

Существенной характеристикой аномалии является се площадь, величина которой хотя и не однозначно, но свидетельствует о масштабе возможно овязаннего с аномалией скрытого оруденения.

Изученные аномалии сгруппированы по общности приведенных признаков (табл. 2). Выделены три типа обобщенной характеристики, которые охватывают все изученные аномалии, отличающиеся большим разнообразнем частных признаков.

Принадлежность аномалии к той или иной из прупп несет информацию о ее формационном типе. Она основана на известном принципе о том, что формационный тип апомалии определяют ее ведущие элементы, их соотношение и особенности пространственного распределения в пределах аномалии [1]. Выделенные типы аномалий соответствуют рудным формациям, за исключением того, что самостоятельно рассмотрены золото полиметалический и ссребро-полиметаллический типы, іввиду их важности и значительного распространения на изученной площади.

В первых двух группах ведущие по содержанию элементы определяют и формационную принадлежность аномалии В третьей группе большое числю некоррелирующих элементов может указывать как на полиформационность аномалии, так и на принадлежность ее к зонам рассеянной минерализации. Следовательно, для установления формационного типа аномалий третьей группы необходимы дополнительные кригерии, такие как интенсивность, контрастность аномалии.

Большинство аномалий, относящихся к первой группе, интенсивны, неконтрастны (23, 39, 27, 22, 25, 37, 26, 28, 29) и, видимо, не могут считаться перспективными в отношении связанного с ними скрытого оруденения. Наоборот, преобладающее число аномалий, принадлежащих ко второй группе (3, 2, 1, 8, 5, 7, 19, 20, 13, 32, 21, 38, 34, 36), интенсивны и контрастны. В число аномалий второй группы входят заведомые эндогенные ореолы рудных тел и месторождений (13, 32), что является дополнительным веским доказательством перспективности аномалий этой группы. Аномалии, относящиеся к третьей группе, почти поровну

	Value and a management		Интенсивность и контрастность									
H/H TAP	Качественная харак- теристика сост ва	Формационный тип	слабые, однородные	средине, одно- ролные	средние, конт- растные	интенсивные, контрастные						
1	Резко ограниченное число элементов	Медно-молибденовый Полиметаллический Медный	23. 39, 40 22, 25 28, 29	27 26	24, 33	35						
II	Широкий круг корре- лирующих элементов	Золото-полиметаллический Серебро-полиметаллический Медно-молибденовый Полиметаллический	9 16, 17, 18, 30, 31 41		3, 2 19, 20 21	1, 8 5, 7 13, 32 38, 34, 36						
II	Широкий круг некорре- лирующих элементов	Молибден-серебро-полиметалли- ческий Молибден-металлический Медно-молибден, серебро-полиме-	15	42		<b>4</b> 6						

<sup>\*</sup> В таблице приведены помера апомалий, которыми опи обозначены на карте (рис. 1). Жирным прифтом выделены номера апомалий, являющихся эндогенными ореолами известных рудных тел и месторождений.

распределены между слабыми, однородными (12, 14, 15, 42) и интенсивными, контрастными (4, 6, 11).

Помимо перспектив оруденения, приведенные данные свидетельствуют о следующей геохимической закономерности. Аномалии с ограниченным элементным составом, за редким исключением (24, 33, 35), неинтенсивны, однородны и не являются эндогенными ореолами сколько-нибудь значительной минерализации. Аномалии же, характеризующиеся широким кругом коррелирующих элементов, часто могут быть эндогенными ореолами. Аномалии с большим числом некоррелирующих элементов могут быть как зонами рассеянной минерализации, так и полиформационными эндогенными ореолами. Очевидно, что отличительными признажами последних от зон рассеянной минерализации в данном случае может служить их интенсивность и контрастность.

Анализ овойств аномалий позволяет отметить некоторые особенности размещения оруденения на изученной территории, характеризующейся развитием медно-молибденового, полиметаллического и золотосульфидного оруденения [2]. Здесь выделяются локальные площади, характеризующиеся преобладанием аномалий определенного формационного типа. Это бассейны верхнего течения р. Сионан, р. Шенатаг, р. Гехи, район Дастакертского месторождения.

Площадь, охватывающая бассейн верхнего течения р. Сиоиан, характеризуется следующими особенностями обнаруженных здесь аномалий. Наиболее часты аномалии, состав которых характеризуется преобладанием меди, овинца, цинка (1, 2, 3, 5, 7, 8, 9). Остальные аномалии (4, 6, 10, 11, 12) определяются более сложным составом, в котором существенную роль играет Мо. Содержания этого элемента и меди в последних аномалиях не коррелируют с содержаниями овинца и цинка, что, возможно, свидетельствует о полиформационном их характере. Другой характерной чертой, аномалий данной площади является широкое распространение в их составе золота (1, 2, 3, 8) и серебра (4, 5, 7, 9, 11, 12).

Среди расоматриваемых аномалий наибольшей интенсивностью и контрастностью отличаются аномалии, имеющие сложный состав (1, 2, 4, 5, 7, 8). Они по комплексу указанных овойств являются перопективными в отношении скрытого оруденения, в их число входит также аномалия (7), включающая эндогенные ореолы сульфидно-мышьякового рудопроявления р. Мазмазак.

Следующая площадь, отличающаяся спецификой геохимических аномалий, —бассейн р. Айри, район Дастажертского месторождения

Большинство аномалий имеет медно молибденовый состав, а остальные элементы-индикаторы проявляются лишь в интенсивных частях аномалий (13, 16, 17, 18). Наиболее интенсивная и контрастная аномалия представляет собой суммарные ореолы Дастакертского месторождения (13). Аномалии на флангах этого месторождения (14, 15) отличаются от остальных отсутствием молибдена в числе преобладающих элементов. При этом высокие содержания молибдена с одной стороны и меди и шинка с другой пространственно не совпадают.

Аномалии бассейна р. Шенатаг отличаются в основном медно-свинцово-цинковым составом (21, 22, 25, 26). Для некоторых из них характерно также широкое распространение Ag. Реже наблюдаются слабые аномалии медно-молибденового состава (23, 24, 27, 30). Для этих аномалий, где преобладающим элементом является молюбден, характерно ограниченное участие свинца, цинка и серебра. В пределах указанных групп выделяются аномалии, сходные по интенсивности и высоким содержаниям серебра в контрастных пробах (19, 20, 21).

Аномалии описываемой площади, как правило, имеют слабую контрастность. Существенно контрастна аномалия преобладающего медномолибденового состава вблизи с. Лернашен, являющаяся ореолом известного здесь рудопроявления. Среди остальных по контрастности и другим свойствам, определяющим их вероятную связь со скрытым оруденением, выделяются аномалии 19, 20 и 30.

Бассейн р. Гехи характеризуется аномалиями медно-молибденового (33, 35, 39), полиметаллического (34, 36, 37, 41) и более сложного состава (38, 42), в котором участвуют Мо, Си, Рb, Zn, Ag. Первая группа аномалий отличается однородным качественным составом при преобладании нормированных содержаний молибдена над медью. В числе аномалий полиметаллического состава имеются как однородные по всей площади (37), так и изменчивые по составу аномалии. В интенсивных участках последних отмечаются высокие содержания и других элементов (34—Ag, 56—Ag, Mo). Присутствие серебра отмечается довольно систематически в аномалиях данной площади и в некоторых случаях достигает значительных величии.

В аномалиях третьей, относительно малочисленной группы, имеющих сложный состав, в каждом конкретном случае преобладает группа определенных элементов, определяющих ее формационную принадлежность. Одна из аномалий, входящих в данную группу (32), имеет преобладающий медно-молибденовый состав и представляет собой орволы Анкасарского оруденения аналогичного состава. Вторая аномалия (38) имеет преобладающий полиметаллический состав, столь же интеноивна и контрастна, как и предыдущая, занимает значительную площадь. Она представляет собой эндогенные ореолы Казанличского рудопроявления. Из других аномалий данной площади по геохимическим признакам столь же вероятно связаны со скрытым оруденением аномалии 36 и 40.

В качестве обобщения необходимо выделить следующее.

Наблюдается зависимость между составом и интенсивностью, контрастностью эндогенных геохимических аномалий данной территории. Наиболее интенсивны и контрастны аномалии, в состав которых входит широкий круг элементов-индикаторов. Этим свойством обладают эндогенные ореолы известных месторождений и рудопроявлений.

На изученной территории выделяются площади, различные по преобладающему типу геохимических аномалий, что, видимо, отражает металлогеническую специфику данных площадей.

На основании выявленных гоохимических закономерностей и по аналогии с заведомо известными ореолами определяется практическое значение описанных аномалии.

Институт геологических наук АН Армянской ССР

Поступила 11.111.1980

### U. U. ULUSSUL

### 

### Udynynid

րարդուշատում հայտնաբերված են պղնձի, մոլիբդենի, կապարի, ցինկի, արժածությունը, ոսկու քառասունից ավելի ներծին երկրաքիմիական անոմալիաներ։

Հատկությունների մասին։ Հատկությունների մասին։

Վերը նշված օրինաչափությունների հիման վրա գնահատված է տվյալ շրջանի երկրաքիմիական անոմալիաների դերը չմերկացած հանքայնացման հայտնաբերման գործում։

### A. A. AVAKIAN

# ENDOGENIC GEOCHEMICAL ANOMALIES AND PROSPECTS OF THE BARGOUSHAT REGION LATENT MINERALIZATION

### Abstract

There are mapped more than forty endogenic geochemical anomalies of Cu, Mo, Pb, Zn, Ag, Au in the northern part of Zanguezoor. The anomalies possess a large variety of features, i. e. qualitative composition, quantitative ratio of elements, intensity, contrastness, size etc.

A systematization of anomalies is made, which allows to reveal their practical significance and the type of possibly correlated mineralization.

The dependence between anomalies composition as well as intensity and contrastness is discovered. Anomalies with a broad circle of indicator elements are more intensive and contrast.

On the Investigated territory the areas with various predominant types of geochemical anomalies are choosen which apparently reflect their metallogenic specifity.

On the basis of revealed geochemical regularities the practical significance of anomalies is determinated.

### ЛИТЕРАТУРА

- 1. Григорян С. В. Геохимические методы при понсках эндогенных рудных месторождений М., 1974.
- 2. Карамян К. А. Текстуры и структуры руд эндогенных месторождений Зангезура. Изд. АН Арм. ССР. Ереван, 1972.
- 3. Сафронов Н. Н. Основы геохимических методов поисков рудных месторождений. Л., 1971.

ДК 551.244.2(479.25)

### С. К. АРЗУМАНЯН

# К ВОПРОСУ СТРУКТУРНОЙ ЗОНАЛЬНОСТИ АРАКСИНСКОЙ МЕЖГОРНОЙ ВПАДИНЫ

На основании данных буровых и геофизических работ выделены структурные зоны кавызского, антикавказского и субмеридионального простираний, придающие Араксин-, межгорной впадине структурную зональность.

Аражоннокая межгорная впадина расположена в юго-западной части Армянской ССР и Нахичеванской АССР. Заполнена она миоценовыми образованиями, которые маскированы молодыми вулканогенными, вулканогенными и озерно-речными образованиями плиоценостплиоценового возраста. В составе миоценовых образований выделяются пестроцветная (вижний миоцен), гипооносно-соленовная (средний миоцен) и разданская овиты (верхний миоцен), мощность которых достигает 3500 м. Образования миоценового возраста несогласно залегают на различных горизонтах верхнего протерозоя-палеозоя, мезозоя, налеоцена, эоцена и нижнего и среднего олигоцена.

В границах, совпадающих с контурами развития миоценовых образовании, Араксинская межгорная впадина имеет довольно извилистые очертания и орезает разновозрастные и разпохарактерные структурные элементы, подчеркивая свои наложенный характер.

Структуры Араксинской межгорной впадины прослеживаются в кавказоком, антикавказском и субмеридиональном направлениях (ом. карту). При этом структуры кавказского простирания расположены в центральной части, антикавказского - в юго-восточной, а субмеридионального—в западной частях иоследуемой области.

В центральной части Араксинской впадины с юга на север выделяются Масисский, Абовянский (Приереванский), Фонтанский прогибы и Ахавнатун-Енгиджинское, Атис-Джрабер-Южноараилерское поднятия, которые прослеживаются в кавказоком направлении. Эти структуры, по данным бурения, гравиразведки и сейсмостанции «Земля» [4], разграничены крупными разломами.

Масноский, Абовянский и Фонтанский прогибы заполнены галогенными отложениями, которые осложнены соляной тектоникой, и структуры их прослеживаются в кавказском направлении.

В Масисском прогибе, по данным бурения, сейсморазведки и морфоструктурного анализа форм поверхности рельефа, выделяются Советаканская, Самагарокая, Хатунархская, Нижнеразданская и Масисокая соляные антиклинали и Айгерличское поднятие.

Ниже приводится характеристика Советаканской соляной антиклинали. Советаканская соляная антиклиналь расположена в районе одноименной железнодорожной станции. Здесь, по данным бурения, МРНП, инпориосно-соленовные образования собраны в соляную антиклинальную

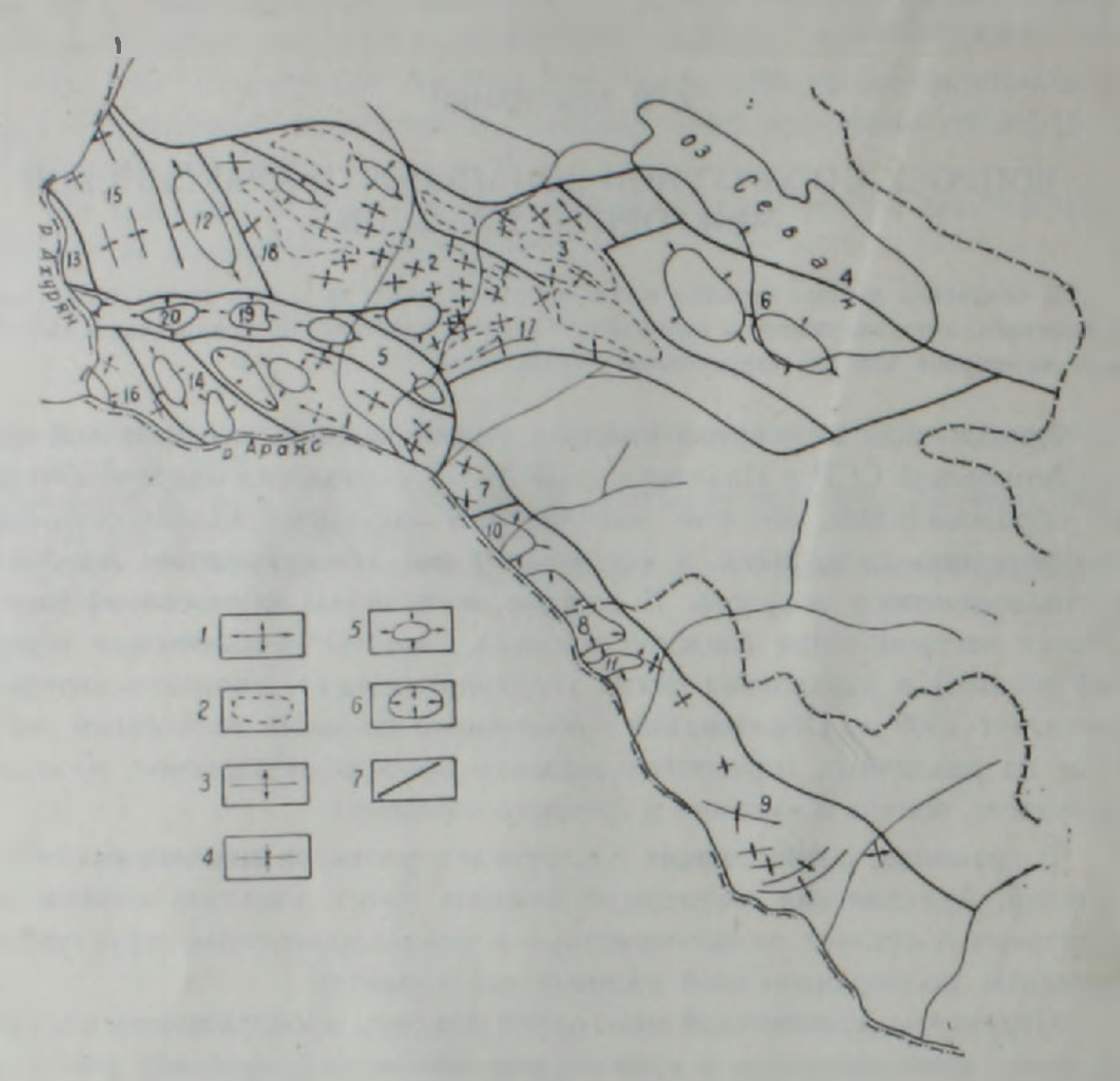


Рис 1. Карта структурной зональности Араксинской межгорной владины (составил С. К. Арзуманян). 1—соляные антиклинали; 2—зоны развития соляных куполовидных в штоковидных тел; 3—антиклинали; 4—синклинали; 5—поднятня; 6—прогибы; 7—разломы. Структуры кавказского простирания. Прогибы: 1—Масисский, 2—Абовянский, 3—Фонтанский, 4—Севанский Поднятия: 5—Агавнатун-Енгиджинское, 6—Мартуни-Гехаркуннкское. Структуры антикавказского простирания. Прогибы: 7—Арташатский, 8—Суренаван-Садаракский, 9—Нахичеванский. Поднятия: 10—Хорвираб-Сарипапское, 11—Дагнинское. Структуры субмеридионпльного простирания Поднятия: 12—Мастаринское, 13—Анийское, 14—Бамбакашат-Кармрашенское Прогибы 15—Артенинский, 16—Нижнеахурянский Просачивающиеся структуры. Антиклинали: 17—Арамусская, 18—Агасчинская Поднятия: 19—Шамирамское, 20—Восточнокаракертское.

складку, в сводовой части которой мощность плиоцен-постплноцейовых и сарматских отложений составляет 400 м, а на крыльях она достигает 600 м. Мощность пипсоносно-соленосных отложений, наоборот, увеличивается в сводовой части антиклинали и достигает 1100—1200 м, а на крыльях структуры она уменьшается и составляет 900—1000 м. Северо-

восточное крыло антиклинали падает под углом 17-20°, а наклюн пластов юго-западного крыла составляет 10-12°

Данные детальной топографической съемки показывают, что рельеф в сейсморазрезе, отражающий сводовую часть соляной антиклинали. по отношению к окружающей раввине приподнят на 2 2,5 м. Протяженность этой приподнятой части рельефа достигает 11 км. ширина—3 км.

Юго-западнее этой приподнятой полосы прослеживается русло нижчего течения засыхающей реки Мастара, а северо-восточнее располагается русло реки Севджур. Русла этих рек отражают осевые полосы компенсационных депрессий или синклипалей.

Строение Самагарской, Хатунархской, Нижнеразданской и Масисской соляных антиклиналей не отличается от строения описанной выше антиклинали.

В Абовянском и Фонтанском прогибах обнаружены осляные антиклинали, куполовидные и штоковидные, тела, которые описаны в 1962 г. [3]. Наряду с этими соляными структурами выделяются также нормальчые антиклинальные подичтия

Северо-восточный борт Ахавнатун-Енгиджинского порстового поднятия осложнен Приереванским разломом и он, по сравнению с юго-западным бортом, более пологий, и породы эоцен-среднеолигоценового возраста падают под углом 20—30°, оставляя впечатление пологой моноклинали. Здесь, по данным буровых и гравиразведочных работ, выделяются Южноегвардское поднятие, Кошская и Давташенская антиклинали.

Анализируя морфоструктурные особенности детально изученных соляных антиклиналей, куполовидных и штоковидных тел, компенсационных депреосий и синклиналей, можно отметить, что эти структуры отражены в рельефе в виде оваловидных, эллипсовидных, округленных, удлиненных поднятий и опусканий. При этом соляные штоковидные, куполовидные тела и антиклинали соответствуют оваловидным, округленным, эллипсовидным, удлиненным поднятиям, а компенсационные депрессии—опусканиям дневной поверхности. Более того, сланными бурения установлено, что на этих поднятиях мощности молюдых вулканогенных пород, по сравнению с сопредельными районами местности, сильно оокращены. Площади развития этих соляных структур характеризуются отрицательным гравитационным фоном.

В слабо изученных районах (массив вулкана Арагац, юго-западные склоны Гегамского вулканогенного хребта и северные окраины Аштаракского плато и Фонтанского прогиба) соляные структуры выделяются на основании данных гравиразведки, морфоструктурного анализа, электроразведки (ВЭЗ и ДЭЗ) и редкой сети пробуренных скважин.

Ниже приводится краткое описание Мугинчской соляной антиклинали, расположенной в районе одноименного села. В рельефе она имеет форму вытянутой пологой возвышенности, прослеживающейся в близширотном направлении. В геологическом строении ее, кроме галогенных образований, мощность которых достигает 1000 м. цринимают участие отложения нижней части разданской свиты и плиоцена-постплиоцена. Длина ее составляет 5.5 км, а ширина— 1,5 км. На крыльях ее, кроме этих образований, участвуют также породы средней и верхней частей разданской свиты. Здесь мощность галогенных образований сильно со-кращается.

Структуры антикавка эского простирания проявляются в юго-восточной части иоследуемой области. К ним относятся Нахичеваноский, Суренаван-Садаракский, Арташатокий прогибы и Дапшинское, Хорвирап-Сарипапское поднятия. По данным III. А. Азизбекова [2], в Нахичеванском прогибе выделяются Хокская, Кврагская, Беюкдузская антиклинали и разъединяющие их синклинали, которые прослеживаются в антикавка эском направлении. Как известно, Нахичеванский прогиб отделяется от Урц-Айоцдэорского антиклинория Норашенским разломом. В зоне этого разлома выделяются продольные и поперечные поднятия, завуалированные миоценовыми отложениями. К этим поднятиям относятся Яйджинская, Ахуринская, Западноазиабуртская антиклинальные структуры, контролируемые выступами палеозойских образований.

По данным бурения и сейсморазведочных работ, Арташатский прогиб осложнен Мхчянской и Даларской синклиналями, которые также прослеживаются в антикавказском направлении.

Структуры субмеридионального простирания, за исключением структур Нижнеахурянского прогиба, расположены в западной части исследуемой области. Здесь выделяются Мастаринское, Анийское, Бамбакашат-Кармрашенское поднятия и Артенинский прогиб, которые отделяются друг от друга кулисообразно расположенными разломами.

Структуры, осложняющие эти прогиб и поднятия, прослеживаются также в субмеридиональном направлении. Так, например, Бамбакашатское и Кармрашенское локальные поднятия, которые выделяются на основании данных бурсния и гравиразведки, прослеживаются в субмеридиональном направлении.

В Артенинском пропибе, как это следует из предлагаемой карты, раввиты только пликативные структуры, которые в основном выделяются по данным гравиразведки. В выделении этих структур определенную роль играли мощности молодых вулканогенных пород, которые эпределены по занным электроразведки (ВЭЗ и ДЭЗ).

По косвенным геологическим данным, в строении этого прогиба принимают участие меловые, палеогеновые и неоген-антропогеновые образования.

Путем пересчета данных гравиразведки Ю. И. Никольским, Т. Н. Сироткиной, Э. Арутюнян и др. определены мощности плотностных горизонтов и характер поверхности древних метаморфических пород.

Для выявления структурных особенностей мел-палеогеновых образований, мощность этого плотностного комплекса, с учетом данных гипсометрических отметок местности, наносится на карту поверхности рельефа фундамента. На этой схематически построенной структурной карте поверхности мел-палеогеновых образований условно выделяются Восточнобагреванская и Восточноартенинская антиклинальные структуры.

Аналогичные построения произведены с неоген-антропогеновым плотностным комплексом, в результате чего намечаются Багреванская и Артенинская антиклинали.

В сводовых частях указанных структур наблюдается уменьшение мощностей молодых вулканогенных пород. Кроме того, буровыми работами обнаружена Опорненская антиклиналь, которая также прослежныется в субмериллюнальном (?) направлении. Расположена она в районе заложения Октемберянской опорной скважины и имеет асимметричное стрюение. Углы падения пород на ее северо-восточном крыле достигают 30—35°, а на юго-западном они составляют 18—20°. Длина ее достигает 7 км, а ширина—1 км.

Нижнеахурянский прогиб расположен в самой юго-западной окраине исследуемой области. В его пределах А. Т. Асланяном [1] выделяются Шахварутская, Бахчалярская и Багаранская антиклинальные структуры, которые прослеживаются в строго широтном направлении.

Здесь гравитационные локальные аномалии также протягиваются в широтном направлении. Но наряду с этим в этом прогибе встречается локальная аномалия меридионального направления. Багаранская, Бах-чалярская и Шахварутская структуры, протягивающиеся в широтном направлении, прослеживаются в пределах Западной Армении.

Структуры кавказского, антикавказского и субмеридионального простираний отличаются друг от друга составом слагающих пород. Отложения гипосоносно-соленосной свиты в прогибах кавказского простирания представлены мощным эвапоритовым комплексом. В районах развития структур антикавказского простирания они в основном представлены песчано-глинистыми отложениями с пластами и линзами каменной соли. В районах развития структур субмеридионального простирания нижняя часть разреза представлена песчано-глинистыми породами, а верхняя—каменной солью.

Как было отмечено, структуры кавказского, антикавжазского и субмеридионального простираний отделяются друг от друга крупными разломами.

Структуры кавказского простирания отграничиваются от структур субмеридионального простирания Армавирским и Базмабердским кулисообразно расположенными разломами, а структуры антикавказского простирания отделяются от структур кавказского простирания Мхчянским и Джрвеж-Саранистским разломами.

Так, например, Арамусская соляная антиклиналь северо-восточного простирания расположена на юго-восточной окраине Абовянского прогиба (Приереванского соленосного бассейна), прослеживающегося в близширотном направлении. Эта антиклиналь здесь расположена рядом со структурами антикавказского простирания, но отделяется от по ледних крупным Джрвеж-Саранистским разломом.

Аналогичное явление наблюдается у Агагчинской антиклинали, которая прослеживается в субмеридиональном направлении Расположена она на западной окраине Абовянского прогиба и отделяется от Мастаринского поднятия субмеридионального простирания Базмабердским разломом. Подобное явление повторяется в структурах кавказокого простирания.

Эти переходящие из одной зоны в другую структуры фактически связывают между собой различные структурные зоны, отделяющиеся

друг от друга крупными разломами.

Обобщая изложенный фактический материал, можно отметить, что структурные зоны кавказского, антикавказского и субмеридионального простираний определяют структурную зональность Аракоинской межгорной впадины, обусловленную как составом пород, слагающих эти зоны, так и продольными и поперечными разломами.

Ереванский госунив рентет

Поступила 28 П.1980.

### Ս. Կ. ԱՐԶՈՒՄԱՆՅԱՆ ԱՐԱՔՍՅԱՆ ՄԻՋԼԵՌՆԱՅԻՆ ՃԿՎԱԾՔԻ ՍՏՐՈՒԿՏՈՒՐԱՅԻՆ ԶՈՆԱԼՈՒԹՅԱՆ ՄԱՍԻՆ

### Цифпфпиd

Հորատման և երկրաֆիզիկական աշխատանքների տվյալների հիման վրա հեղինակը Արաքսյան միջլեռնային ճկվածքի սահմաններում առանձնացնում է կովկասյան, հակակովկասյան և մերձմիջօրեական ուղղություններով ձգվող սարուկտուրային զոնաներ, որոնք ունեն ինչպես տեսական, այնպես էլ կիրառական նշանակություն։

### S. K. ARZUMANIAN

## ON THE STRUCTURAL ZONING PROBLEM OF THE ARAX INTERMONTANE DEPRESSION

### Abstract

On the basis of borehole and geophysical data structural zones of caucasian, anticaucasian and submeridional strikes are marked out, which attaches the structural zoning to the Arax intermontane depression.

### ЛИТЕРАТУРА

- I. Асланян А. Т. Региочальная геология Арменни. Анпетрат, Ереван, 1958.
- 2. Азизбеков Ш. А. Геология Нахичеванской АССР. Госгеолтехиздат, М., 1961.
- э. Арзуминян С. К. Новые данные о соляной тектониче Ереванского соленосного бассейна. Известия АН Арм ССР, геолог, и географ. науки, т. XV, № 2, Ереван, 1962.
- 4. Егоркина Г. В., Соколова А. И., Егорова Л. И. и др. Строение земной коры северозападной части Армении. Советская геология, № 6, 1973.

УДК 552 23: 552.312.313(479 25)

### О. П. ГУЮМДЖЯН, Р. Т. ДЖРБАШЯН

### СРАВНИТЕЛЬНАЯ ХАРАКТЕРИСТИКА ХИМИЗМА КАЙНОЗОЙСКИХ ВУЛКАНИЧЕСКИХ И ПЛУТОНИЧЕСКИХ КОМПЛЕКСОВ ЗАНГЕЗУРА

Анализ петрохимических особенностей третичных магматических комплексов регнона указывает на их принадлежность к петрохимическим классам с одинаковыми уклонами и общими чертами эволюции, на однотипность составов пород базальтондной и салической групп, а также позволяет высказать предположение о единых глубинных-мантийных источниках магмообразования и ограниченной роли процессов ассимиляции.

В результате систематических исследований плутонических и вулканических серий Западного Баргушата и Зангезурокого хребта авторами получен новый геолого-петрографический материал, позволивший провести сравнительную характеристику химизма выделенных магматических комплексов, а также наметить общие черты эволющии альпийского «предорогенного» и «орогенного» магматизма и высказать предположения об источниках первичных расплавов.

По геолого-структурным особенностям и пепрографичеокому-петрохимичеокому составу в пределах Баргушата выделяются следующие плутопические комплексы [4, 5]: габбро-оливинитовый (Сваранцский), габбро-монцонит-сиенитовый (Арамаздский), габбро-диорит-гранодиоритовый (Гехинокий), гранит-гранодиоритовый порфировидный (Казанличский). Первые три комплекса— палеогенового (верхний эоцен—нижний олигоцен), последний—миюценового возрастов.

Среди собственно вулканических образований Западного Баргушата и Зангезурокого хребта выделяются следующие комплексы [6, 7]: 1. капутджухский-І андезито-базальтовый, 2. капутджухский-ІІ трахнандезито-базальтовый, средний эоцен; 3. гехакарокий базальт-трахнандезитовый, верхний эоцен-олигоцен (?); 4. салвардский андезито-дацитовый, средний миюцен (?)—средний плиоцен. Первый, третий и четвертый комплексы относятся к известково-щелочным сериям тихоокеанского типа, второй—к субщелочным сериям атлантического, переходного к тихо-сксаническому типу.

В палеогеновых комплексах преобладают породы андезито-базальтового и базальтового состава ( $SiO_2 < 55\%$ ) с умеренным развитием пород андезитового и очень слабым (менее 2%) развитием пород дацитлипаритового состава. В то время как в миоценовом вулканическом комплексе преобладают породы андезит—липаритового состава ( $SiO_2 >$ 

>55%—болое 80%), при широком развитии андезито-дацитов (~65%), породы базальтондной группы мало характерны (~15%).

Выделенные вулканические комплексы занимают различное положение в разрезе и структуре области. По мнению авторов наиболее ранними вулканическими образованиями кайнозоя в Западном Баргушате и по Зангезурскому хребту являются торригенно-пирокластические, флишондные отложения ореднего эоцена [8] (объединяющие иовестные пирамсарскую и даличайскую свиты). Породы базальт-андезитовой серии капутджухокого средне оценового комплекса (прежине зангезурская и арамаздская толщи) формируют специфический «псевдовулканогенно-осадочный» комплекс, в котором отсутствует стратифицированность между осадочными и вулканическими членами комплекса [3, 4] и где вулканогенные образования молюже всех осадочных отложений палеозоя, мезозоя, а также терригенно-осадочных флицондных отложений среднего эоцена. Все они в виде блоков различной величины цементируются интрузивными телами базальтов и андезитов.

Субщелочная серия капутджухского комплекса развита преимущественно в зоне между гиратахоким и кирсским разломами [6]. Она представлена отдельными секущими телами или местами постепенню переходит в эффузивные известково-щелочные разности пород. Гехакарский комплекс залегает над среднеэоценовыми вулканическими образованиями, имея в основании маломощиую пачку терригенных песчано-тличистых пород и конгломератов [6]. Наконец, наиболее молодые мноплиоценовые образования салвардокого комплекса слагают общирные поля на водоразделе Зангезурского хребта, в районе г.г. Салвард и Гомшакар. Мошные дайки и штоковидные тела анделит-дацитового и липарит-дацитового состава, принадлежащие данному комплексу, пронизывают не полько мноплиоценовую, по и чижележащие толщи палеогена (бассейны р.р Шенатаг, Айри, Сиенан).

Большинство вулканических пород палеогена порфировые, свежие или слабо затронуты пролидитизацией. В них фенокристаллы представлены плагиоклазами, клинопироксенами и роговыми обманками; в основной массе микролитами и лейстами плагиоклаза и в меньшей мере мелкими зернами амфиболов и пироксенов. Структура основной массы преимущественно полнокристаллическая, микролитовая, микропризматическизернистая. Гналопилитовые, читерсертальные, толеитовые, фельзатовые структуры характерны для миоплиоценовых пород.

Петрохимические оценки и сравнения составов вулканических и плутонических комплексов производились на основе параметров Заварицкого и нормативных составов по GIPW (таблицы 1, 2). При обсуждении использованы некоторые термины и понятия, принятые для пород вулканических ассоциаций [1]. Петрохимическая шкала А. Ф. Белоусова [1] в координатах меланократовость b(b'), щелочность—а применяется намиздесь в равной мере и для плутонических пород, с целью соблюдения однозначности характеристик магматических пород различных асооциаций.

Днаграмма (рис. 1) иллюстрирует расположение фигуративных точек оредних ооставов пород плутонических и вулкамической ассоциаций Западного Баргушата и Зангезурского хребта. Легко заметить, что рас-

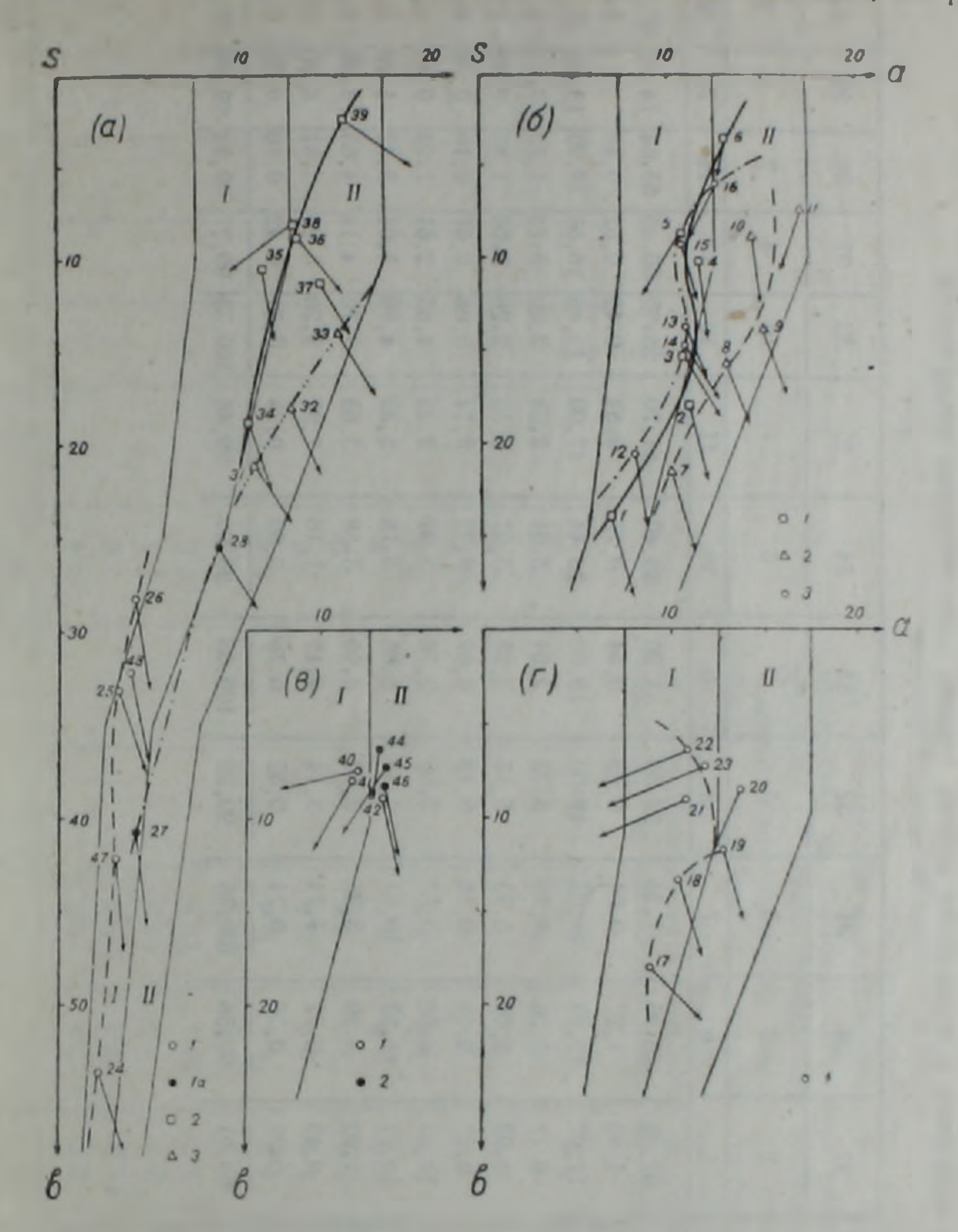


Рис. 1. Петрохимическая днаграмма вулканических и плутонических ассоцнаций (по А. Ф. Белоусову) а Комплексы плутонических ассоцнации палеогена 1 и 1а Сваранцский, 2. Гехинский, 3. Арамаздский. 6—Комплексы вулканических ассоцнаций палеогена. 1. Капутджухский—11, 3. Гехакарский в—Комплексы плутонических ассоциаций неогена. 1. Вохчинский, 2. Шенатагский. г—Комплексы вулканических ассоциаций неогена. 1. Салвардский, 1—поле умеренно—низкошелочных пород 11—поле умеренно— целочных пород.

положение линии составов известково-щелочных и субщелочных плутонитов не отличается от расположения точек вулканитов соответствующих типов, причем составы пород габбро-диорит-гранодноритовой фор-

Средние химические и нормативные составы гланных типов третичных плутонических пород Западного Баргушата

№ abt.	24	25	26	27	28	31	32	33	34	35	36	37	38	39	44	45
Число внализ-	4	2	5	2	2	3	5	3	3	7	10	4	2	1	1	1
1	2	3	4	5	6	7	8	9	10	11	12	13	14	15	16	17
SiO <sub>2</sub>	41,50	37.27	40,55	37,65	46,56	17,23	52,60	54.90	49,40	61,70	65,39	60,46	63,64	74,52	67,54	64,50
TIO <sub>2</sub>	0.67	1,79	0,58	1,40	1,27	0.64	0,59	0,64	0,75	0.54	0,42	0,52	0,48	_	0,40	0,44
Al <sub>2</sub> O <sub>3</sub>	19.99	7,98	23,28	17,97	19,23	21,63	18,60	19,50	20,44	17,00	15,85	16,56	18,90	13,00	15,29	16,24
Fe <sub>2</sub> O <sub>3</sub>	7.97	14,71	5,82	9,77	6,26	4,95	3,72	2,64	5,01	2,53	2,20	3,73	1,85	0,29	3,40	2,37
FeO	6,25	12,45	6,27	8,93	5,60	5,95	5,45	3,88	3,97	3,55	2,26	3,00	1,87	0,38	1,05	2,84
MnO	0,12	0,40	0,14	0,27	0,19	0,16	0,13	0,07	0,23	0,14	0,08	0,07	0,10	0,04	0,07	0,07
MgO	7,52	14,12	7,19	11,65	4,65	3,57	3,68	2,76	3,97	2,25	1,55	2,61	1,24	0,40	1,30	1,90
CaO	14,58	10,94	12,71	10,91	11,52	10,97	7,53	6,86	9,18	5,39	4,99	5,01	3,72	1,40	3,01	3,68
Na <sub>2</sub> O	1,13	0,71	1,37	1,02	3.30	3,26	3,34	3,90	3,58	3,63	3,70	4,14	4,03	3,20	3,40	3,20
K <sub>2</sub> O	0,43	0,55	0,42	0,49	0,72	1,74	3,14	4.12	1,16	1,97	3,20	3,25	3,81	6,00	3,75	4,10
H <sub>2</sub> O <sup>+</sup>	0,36		1,66	0.25	0,26	0,24	0,52	0,76	0,60	0,76	0,71	0,42	0,10	0,65	0,15	0,48
Сумма	100,52	100,02	99,99	99,91	99,56	100,35	99,20	100,03	98,99	99,46	100,35	99,77	99,84	99,88	99,36	99,82

1	2	3	4	5	6	7	8	9	10	11	12	13	14	15	16	17
il	1,4	3,5	1,2	2,7	2,4	1,2			1,4					_		
mt	11,6	21,3	8,4	14.2	9,1	6,9	2		7,0					0,5		
or	2.2	2,8	2.2	2,8	3.9	10,5			7.2					35,6		
ab	4,7	5,8	6,8	3,7	24,1	17,8			23,6					27,2		
an	48,4	17.2	56,4	43,3	35,6	38,9			39,5					3,1		
wo	9,7	13,6	2,8	4,3	8,9	6,4			3,4					1,6		
en di	7,4	9;7	1,9	3,3	6,2	3,6			2,2					1,0		
fs	1,6	2,6	0.7	0,7	2,0	2,5			0,9					0,5		
fol	9,2	15,3	11.2	17,9	3,8	3,6			1,8					-		
ía) ol	1,8	4,5	4,1	4,5	1,2	2,9			0,8					-		
enl	_	3,5	_		-0-	_			7,5					-		
fs ny			-			_			3,6					-		
q	_	_		_		4344			-					29,6		
ne	2,6	_	2,5	2,6	2,0	5,4			0.7*)					-		

Примечание: Верхиий эоцен-олигоцен, Габбро-оливичитовая формация, 24. Оливиновое габбро (щелочной оливиновый базальт), 25. Магнетитовое оливиновое габбро. 26. Магнетитовый троктолит, 27. Магнетитовый микротроктолит, 28. Магнетитовое оливиновое микрогаббро. Габбро-монцонит-сиенитовая формация, 31. Габбро калишпатовое (базанит), 32. Монцонит 33. Спенит, Габбро-диорит-гранодиоритовая формация 34. Габбро рогопообманковое (оливиновый толент), 35. Кварцевый диорит, 36. Гранодиорит, 37. Кварцевый микромонцонит-порфир. 38. Граносиенит 39. Жильный гранит Нижний миоцен, Гранит гранодиоритовая формация, 44. Адамеллит порфировидный, 45. Гранодиорит порфировидный, \*ар.

мации сдвинуты слегка вправо по сравнению с базальт-андезит-липаритовым капутджухским I и гехакарским комплексами. Большинство точек группируются у пограничной линии, разделяющей поля низкощелочпых и умеренно-щелочных составов. Породы наиболее древнего сваранц-

Таблица 2

Средние химические и нормативные составы главных типов третичных основных вулканических пород Баргушата и Зангезурского хребта

		ннви	ческих	перод	Dapry	шата	H Jani	езурск	oro xpe	LOTA		
Nê aBT-	1	2	3	7	8	9	12	13	14	17	18	19
Число ана- лиз.	24	14	6	4	7	3	10	2	2	3	2	2
SiO <sub>2</sub> TiO <sub>2</sub> Al <sub>2</sub> O <sub>3</sub> FeO MnO MgO CaO Na <sub>2</sub> O K <sub>2</sub> O H <sub>2</sub> O+ CO <sub>2</sub>	47,14 0,90 19,31 4,99 6,13 0,24 5,66 10,01 2,42 0,70 1,44 1,01	0,73 18,21 4,20 4,99 0,20 4,09 7,22 3,91 1,38 1,47	0.48 17.12 3.74 3.74 0.13 3.29 5.18 3.80 1.80 1.31 1.22	1.04 19.08 5.73 4.49 0.35 5,14 8,55 2.61 2.51 1.12 0.75	1.01 18,62 4,29 4,59 0,15 2,93 6,81 3,56 3,09 1,68	0,80 17,56 4,06 3,60 0,13 2,85 4,97 3,80 4,16 1,96	0,61 19.36 4.62 5,66 0,18 4.36 8,99 2,78 0,76 1.61 3.14	0,22 19,09 5,03 3,33 0,15 2,10 7,63 3,00 2,37 1,71 1,26	0,63 16,52 5,46 3,12 0,11 2,33 6,93 3,56 1,81 0,61	0,81 19,21 5,69 2,42 0,28 3,52 8,86 3,46 1,80 1,62 1,56	0,85 19,48 3,30 2,51 0,23 2,84 8,13 3,05 2,02 1,75	0,80 17,68 4,62 1,69 0,18 2,52 5,77 3,59 2,84 0,80 0,64
Cym- ma  II mt or ab an wo en di fs folol falol en h fs	1.7 7.2 3.9 20,4 39.8 4.1 2.6 1.2	1.4 6.0 8.3 33.0 27.8 3,3 2,0 1.1 8.2 4.0 3.3	0,9 5,6 10.5 32.0 24.5 0,6 0,4 0,1	2,0 8,4 15,0 22,0 32,8 3,9 2,9 0,6 6,5 1,1	1,9 6,3 18,3 29,8 25,6 3,4 2,2 0,9 5,0 2,5 1,7	1,5 6,1 25,0 32,0 18,3 2,7 1,9 0,5	1,2 6,7 4,5 28,3 35,3 3,9 2,3 1,5 1,7 1,4 6,1 2,6	0.5 7.2 13.3 25,2 32,0 2,4 1.7 0,5  3,5 1,3 9,5	1,2 7,9 10,5 29,9 23,4 4,4 3,7 0,1 2,0 0,1 14,0	1,5 6,3 10,5 28,8 28,9 6,4 5,5 1,5*	1.5 4.9 11.7 25.6 36.4 1.6 1.1 0.4 - 5.9 0.5 8.4	1,5 3,9 16,7 30,4 23,6 2,1 1,8 1,9*

Примечание: Средний эоцен. Капутджухский комплекс. 1. базальт (толент). 2. андезито-базальт. 3. андезит. 7. трахибазальт (олизиновый толент). 8. трахиандезито базальт. 9. трахиандезит. Верхний эоцен-олигоцен (?). Гехакарский комплекс. 12. базальт (оливиновый толент). 13. андезито-базальт. 14. андезит. Мяоплиоцен. Салвардский комплекс. 17. базальт (кварцевый толент). 18. андезито-базальт. 19. андезит. \*hem.

ского комплекса расположены ниже границы b'=30, в удалении от полей остальных габброидов и базальтоидов и тяготеют к полям пикритовых базальтов и мелапикритов. Составы пород поздних фаз внедрения (казанличский порфировидный комплекс) располагаются в поле андезито-дацитов и дацитов палеогеновых и исогеновых толщ. В то же время в плу-

тоническом порфировидном комплексе отсутствуют породы, эквивалент-

Все базальтоиды находятся в поле лейкобазальтоидных пород, занимая самую всрхнюю ее часть, выше липи b'=25. Среди базальтоидов неизвестны типы, эквивалентные по составу габброидам из габбро-оливинипового комплокса. Даже пикритоподобные базальты ( $SiO_2 < 44\%$ ) палеогена являются породами слабо недосыщенными кремнеземом, с мезобазальтовыми и лейкобазальтойдными уклонами и расположены ближе к остальным базальтойдам этих комплексов. Это также олишиновые толейты с нормативным оливином  $12.6 \div 9.4$  и гиперстеном  $5.7 \div 4.3$ , высокоглиноземистые, низкотитацистые, высоконатриевые.

Вулючические формации Западного Баргушата и Зангезурского хребта относятся к высокоглиноземистым толентам, причем палеогеновые являются оливино-гиперстен нормативными толентами, а мношлиоценовые—кварцевыми нормативными толентами. Верхнеплиоцен-четвертичные базальтонды Сюникского нагорья—нормативные щелочные оливиновые базальты [10].

Петрохимическая характеристика вулканических комплексов. Анализ петрохимических параметров Заварицкого показывает следующее (табл. 3). Базальтонды капутджухокого-I комплекса лейкобазальтондные (b'=23.8), низкощелочные (a=6.8), высокоглиноземистые ( $Al_2O_3=19.31$ ), низкотитанистые ( $TiO_2=0.90$ ), железистые или магниевожелезистые (f'>m', f'=45.6, m'=43.5), натриевые или точнее высоконатриевые (n=84.8). Базальтонды гехакарского комплекса характеризуются аналогичными петрохимическими уклонами—лейкобазальтондные (b'=20.5), кизкощелочные (a=8.0), высокоглиноземистые ( $Al_2O_3=19.36$ ), низкотитанистые ( $TiO_2=0.61$ ), железистые (f'=52.1, m'=40.1), высоконатриевые (n=84.9).

Внутри известково-щелочных комплексов устанавливаются и отдельные ассоциации с умеренно-щелочным, трахитовым уклоном. Это субщелочная серия пород капутджухского комплекса, которая онимронна с нормальными известково-шелочными образованиями того же комплекса. Заметим, что по всем другим петрохимическим параметрам (кроме a) вулканогенные ассоциации трахитового уклона не отличаются от остальных серий. Они несколько более калиевые,  $\tau$ . е. менее натриевые (n=60,9), больше недосыщены кремнеземом (Q=-8,7), а общая щелочность выше (a=13,1 в трахиандеэнто-базальтох), чем в главных сериях. Аналогичные субщелочные серии выявляются и среди плутовических комплексов области [5]. Базальтойды мноплисцена (Салвард) лейкобазальтойдные или андезит-андезито-базальтовые (b'=18,3), инзкотитамощелочные (a=10,9), высокоглиноземистые ( $Al_2O_3$ =18,21), инзкотитамистые ( $TiO_2$ =0,81), железистые (f'=43,3, m'=34,5), высоконатриевые ( $\sigma$ =73,9).

Сравнение истрохимических параметров базальтоидов третичных комплексов показывает, что они сходны почти по всем главным нетрохимическим признакам: имсют лейкобазальтоидный уклон, низкощелочПетрохимические параметры базальтов, липаритов, габбро и гранитондов Западного Баргушата и Зангезурского хребта, и базальтов срединноокеанических хребтов [9].

	Порода, возраст, комплекс, область	b(b')	a	f'	111	11	Q	Al <sub>2</sub> O <sub>3</sub>	TIO <sub>2</sub>	Ca()	2Fe	Fe Mg	Fe <sup>3+</sup> /Fe <sup>2+</sup>	Na+K	Na/K
1	2	3	4	5	6	7	R	9	10	11	12	13	14	15	16
1	Толент (средний эоцен, капутджух)	23.8	6,8	45,6	43,5	84.8	- 6,6	19,31	0,90	10,01	11,12	1,10	0,81	3,12	3.46
2	Оливиновый толент (средний эоцен капутджух)	21,6	10,0	45,3	43,0	60.9	- 8,7	19,08	1,04	8,55	10,22	0,87	1,15	5.12	1,04
3	Оливиновый толеит (нерхнии эоцен, гехакар)	20,5	8,0	52,1	40,1	84,9	1,5	19,36	0,61	8,99	10,28	1,30	0,82	3,54	3,66
4	Кварцевый толент (мноплиоцен, сал- вард)	18,3	10,9	<b>4</b> 3,3	34,5	73,9	_ 2,7	18,21	0,81	8,86	8,11	0,69	2,36	5,26	1,92
5	Щелочной оливиновый базальт (постплиоцен, сюник)	24,3	12.7	37,1	38,2	74,7	-15.3	17,20	1,35	9,12	9,81	0,53	2,44	6,41	1,94
6	Липарит (капутджух-1)	3,4	13.0	75,9	20.4	81,9	+-35,3	13,19	0,24	1,63	3,19	3,60	0.92	6,70	2,94
	Трахидацит (капутджух-II)	6.6	17,0	53,6	34,6	59,0	+ 9,2	17,41	0,45	2.22	4,39	1.68	0.70	9,46	0.95
	Липарит (гехакар)	5,1	12,5	58,6	28,8	85,8	+32,7	13.29	0,30	1,73	3.85	2.03	0,85	6,25	4,00
9	Липарит (салвард)	3,6	11,7	29.1	20,0	46,6	+33,0	14,62	0,18	1,47	2, 19	0,70	2,83	6,99	0,5
0	Гаобро оливиновое (Сваранц)	33,4	3,2	40,9	40.4	81,9	-17,4	19,99	0,67	14,58	14,22	0,83	1.28	1,56	2,62
	Габбро калишпатовое (Арамазд)	21,0	10,1	50,1	30,9	75,0	-14.8	21.63	0,64	10,97	10,91	1,67	0,84	5,00	1.87
	Габбро роговообманковое (Гехн)	18,6	10,3	47,8	39,0	82.2	- 7.2	20,44	0,75	9,18	8,98	1,00	1,26	4.74	3,10

1	2	3	4	5	6	7	8	9	10	11	12	13	14	15	16
13	Кварцевый диорит (Гехи)	10,4	11,0	56,8	37,8	74,0	+16,9	17,00	0,54	5.39	6,08	1,58	0,71	5,60	1,84
14	Граноднорит (Гехи)	8,6	12,8	48,0	29,9	63,9	+19,3	15,85	0,42	4,99	4,46	1,46	0,98	6,90	1,16
15	Гранит (Гехи)	2.2	15,4	29,4	29,4	44.9	+31.9	13,00		1,40	0,67	0,95	0.76	9.20	0,53
16	Адамеллит порфировидный (Шенатаг)	6,1	12,9	62,3	34,5	58,2	+24,7	15.29	0.40	3,01	4,45	0.81	3,24	7,15	0,91
17	Гранодиорит порфировидный	8,2	13,2	58,0	39,5	54,2	+17,9	16,24	0,44	3,68	5,21	1,49	0,83	7,30	0,78
18	Океанический толент (Атлантиче- ский, южные широты)	26,6	6,9	38.0	41.9	98,0	_ 3,6	16,09	2,03	10,46	10,49	1,21	0,36	3,15	21,5
19	Океанический толент (Атлантиче-	29,9	5,9	32,0	47,8	95,5	- 6,2	15,91	1,26	11,26	10,36	0,89	0.36	2.77	13,6
20	Высокоглиноземистын базальт (Ат-лантический, северные широты)	30,9	5,3	29,2	<b>5</b> 5,6	97,5	- 9,7	17,45	0,75	11,26	9,68	0,83	0,14	2.46	26,4
21	Базальт (Атлантический океан, северные широты)	30,5	6.7	25,5	52,9	88.0	- 9.4	15,99	1,44	11.52	8,37	0.61	0,35	3,28	4,7
22	Балальт (Индийский океан)	27.7	6,2	29.5	48.5	95,6	<b>— 3,</b> 9	16,60	1,24	11,58	8,70	0,91	n,18	2,91	17.2
23	Базальт (средний из 94 анализов)	29,7	6,2	35,7	43,9	95,8	- 6,7	16,01	1,43	11,32	11,49	-	_	2,98	12,5

ные, высокоглиноземистые, низкотитанистые, железистые, высоконатриевые. Трахибазальтондная серия, которая представлена умеренно-щелочными натриевыми породами, также по главным петрохимическим признакам не отличается от известково-щелочных серий.

Постилноценовые базальтонды Сюнчкского нагорья наиболее сильно отличаются от третичных по степени недосыщенности кремнеземом, слабо магнезиальным, умореннощелочным уклонами, несколько повышеннон титанистостью и понижениюй глиноземистостью (табл. 3) Хотя содержания окион титана в латах постплиоцена вдвое больше, а глиноема на два процента меньше, чем в третичных базальтах, все же они являются низкотитанистыми и высокоглинозомистыми породами; этн колебания находятся в пределях единого петрохимического класса. Базальтонды рассматриваемой области по многим петрохимическим признакам близки к океаническим толентам [9]. Но океанические толенты н базальты в отличие от базальтов Западного Баргушата и Зангезурского хребта инэкоглиноземистые ( $Al_2O_3 = 16,01$ ), мезо- или меланобазальтовые (b'=26.6-30.5), магнезнальные (f'=25.5-38.0, m'=41.9-52.9), (табл. 3). Содержание титана, примерио, в два раза выше в океанических базальтах ( $TiO_2 = 1,24-2,03$ ) Натрий-калиевое отношение в баргушатских базальтах варьирует между 1,04 и 3,66, а в океанических — 1,7-26,4. Континентальные толенты Баргушата отличаются высоким  $Fe^{+}/Fe^{2+}$  отношением (0,81—1,15 в палеогене, 2,36 в миоплиоцене и 2,44 в постилиоцене) по сравнению с океаническими базальтами (0,14-0,36). Заметим, что палсогеновые базальточды, по сравнению с миюплиоценовыми и четвертичными базальтоидами Сюникского нагорья кристаллизовались в менее окислительных условиях. Это не противоречит существующим геологическим данным, согласно которым многие вулканические образования палеогена кристаллизовались в приловерхностных условиях.

Петрохимическия характеристика плутонических комплексов. Габбронды сваранцского габбро-оливинитового комплекса характеризуются меланобазальтовым (b'=33,4), низкощелочным (a=3,2), железистым или магниево-железистым ( $f=40,9,\ m'=40,4$ ), высокоглиноземистым ( $Al_2O_3=19.99$ ), низкотитанистым ( $TiO_2=0.67$ ), высоконатриевым (n=81,9) уклонами и отличаются от габброндов других комплексов (табл. 1). Габбронды арамаздского габбро-монцонит-спенитового комплекса—лейкобазальтондные (b'=21,0), умеренно щелочные (a=10,4), железистые ( $f'=50,1,\ m'=30,9$ ), высоконатриевыс (n=75,0), низкотитанистые ( $TiO_2=0.64$ ), высокоглиноземистые ( $Al_2O_3=21.63$ ). Габбронды габбро-днорит-гранодноритовой формации (гехипский комплекс), лейкобазальтондные (андезито—андезито-базальтовые) (b'=18,6), низкощелочные (a=10,3), высокоглиноземистые ( $Al_2O_3=20.44$ ), низкотитанистые ( $TiO_2=0.75$ ), высокоглиноземистые ( $Al_2O_3=20.44$ ), низкотитанистые ( $TiO_2=0.75$ ), высокоглиноземистые ( $Al_2O_3=20.44$ ), низкотитанистые ( $TiO_2=0.75$ ), высоконатриевые (n=82,2).

Из проветени го петрохимического анализа следует, что в различных формационных типах или комплексах интрузивов природные про-

цессы приводят к формированию габброндов со сходными петрохимическими признаками или сходных классов.

Сопоставление петрохимических параметров базальтоидов и габброндов палеогена показывает, что несмотря на принадлежность их к различным магматическим ассоциациям, они сходны по химизму, т. е. и базальты и габбронды лейкобазальтоидные, высокоглинозомистые, низкощелочные, низкотитанистые, железистые, высоконатриевые. Однако габбронды оваранцского комплекса в отличие от других меланобазальтовые (b' = 33,4) и весьма инзкощелочные (a = 3,2) магниево-железистого клона. Более резко выражены эти различия в магнетитовых одивиновых габбро, троктолитах и микротроктолитах, которые встречаются в качестве шлиров и поздних фаз становления (b' = 35 и 50). Последние отличаются также повышенным содержанием окиси титана (больше 1,50%) и фактически являются высокотитанистыми породами.

Сравнительная петрохимическия характеристика кислых вулканических и плутонических пород. Породы кислой группы (даинт-липаритового оостава) вулканических образований палеогена аналогично ассоцирующим с имм базальтоидам-- высокоглиноземистые (АІ2О3> 14%), меланократовые или дацитовые (b'>5), нормально-щелочные  $(a \le 12,5)$ , железистые, натриевые. Петрохимически значимые различия пород кислой группы от базальтондной в палеогеновых сериях выражены слабо. Исключение составляют лишь секущие липариты капутджухского комплекса, в которых отмечается пониженный уровень глинозема, умерению-щелочной, лейкократовыц и высокожелезиктый Породы липаритового ряда миоплиюценового возраста отлиуклоны. чаются от палеогеновых лейкократовостью b' < 5, калиевым уклоном (n=46,6). Железо в них, в основном, трехвалентное  $Fe^{\pm}/Fe^2=2,83$  Это наиболее существенный отличительный признак салических пород неогена от липаритов ичтрузивной формании палеогена, где  $Fe^3$   $|Fe^2|$  = 0,70 0,92. Разделение по трехвалентному железу липаритов палеогена и неогена важно тем, что указывает на правильность выделения кислых пород в составе палеогеновых базальтондных серий, а также выделение контрастных базальт-липаритовых серий неогена.

Таким образом близость петрохимических параметров может являться важным показателем генетической общности базальтондов и салических пород в выделенных разновозрастных вулканических комплексах.

Гранитоиды плутонических ассоциаций—меланократовые, низкояли умерению-щелочные, высокогликоземистые, железистые, натриевые с инслым уклоном. Отмечается сходство петрохимических уклонов габброидов и гранитоидов габбро-диорит-гранодиоритовой формации. Однако конечные продукты диффоренциации—жильные граниты (гехинский комплекс) характеризуются лейкократовым (b'=2,2), умеренкощелочным (a=15,4), низкоглиноземистым ( $Al_2O_3=13,0$ ), железистым, калневым (n=44.9) и кислыми уклонами (Q=+31.9). Вероятно, не следует ожидать тождественности петрохимических уклонов эвтектических гранитов с болое основными коматматичными плутоническими породами.

Направленные изменения составов внутри булканических комплексов. Сравнительный анализ петрохимических признаков по параметрам Заварицкого показал значительное сходство мапматических пород третичного возраста. Различия составов затрапивают неминопие петрохимические показатели, сохраняя удивительную стабильность в отношении значительного числа показателей внутри вулюанических серий, начиная от палеогеновых до постплноценовых включительно. Они улавливаются в показателях меланократовости и насыщенности кремнеземом. Заметим, что эти выводы справедливы не только для вулканических пород пониженной щелочности. Стабильность петрохимических признажов отмечается и в плутонических ассоциациях пород: оливиновых толентовых базальтах (гехинских габброидах), в щелочных оливиновых базальтах (сваранцоких габброидах) и базанитах (арамаздских габброидах). Значительное число петрохимических параметров имеет устойчивый характер для широкой гаммы базальтондов и табброндов.

В петрогенетическом смысле интересна возрактивая эволюция составов базальтоидных пород, которая улавливается довольно четко в отношении меланократовости и степени недосыщенности кремнеземом и повышении щелочности. Выше было показано, что базальтоиды палеотена и неогена не различаются существенно по уровням оодержаний глинозема, кремнезема, натрия, калия, титана, по общему содержанию железа и магния. Но в базальтондах миоплиющена кремнезема оказывается в общем несколько больше, магния и суммарного железа-меньше. Это видно по параметрам в' и Q, причем меланократовость от древчих базальтов к молодым выражается тэк-23,8; 20,5; 18,3; степень недосыщенности кремнеземом в том же направлении: -6,6; -4,5 и -2,7. Паже увидим, что в четвертичных базальтондах Сюника эти признаки резко отличны-b=24,3, а Q=-15,3. Возрастная эволюция устанавливается также в повышении общей щелочности (a=6.8; 8,0 и 10,9 в палеогене и неогене, 12.7 в постплиоцене), усиления железистости (1'= 43,3, m'=34.5 в миоплиоцене, против 52,1 и 40,1 в верхнем и 45,6 и 43,5 в среднем эоцене соответственно), повышении уровня калия—n=73.9 в миоплиоценовых базальтоидах, против 84,9 и 84,8 в базальтоидах эоцена (табл. 3). Подобная же направленность наблюдается на примере анде ито-базальтов и андезитов (табл. 2). Так, от среднего эоцена к миоплиоцену устанавливается следующая смона параметрюв в андезитобазальтах и андезитах: b' = 17,9 и 15,0 в среднем эоцене; 13,6 и 14,7 в верхнем эоцене; 13,4 и 11,8 в миоплиощене; Q = -1.5 и -2.7—оредний эоцен; +4,4 и - 9,1 - верхний эоцен; +5,6 и +8,0-миоллиоцен. Сохраняется и тенденция усиления роли железа (увеличения железистости), особенно на примере андезитов.

Таким обраом, от среднеэоценовых базальтов к мноплиоценовым, прослеживается эволюция в лейкократовом направлении (гомодромная эволюция) — увеличение насыщенности кремнеземом и общей щелочности, роли калия, усиление железистости. Оливиновые толенговые низкощелочные лавы эоцена сменяются пересыщенными кварцевыми толентами в мноплиоцене.

В кислой группе вулканических пород направленная смена коставов несколько противоречива. Гомодромная тенденция изменения меланократовости в ряде андезипо-дашитов и липарито-дащитов противопоставляется антидромной тенденции в липаритах (от среднезоценовых к миюплиоценовым). Увеличение щелочности и насыщенности кремнеземом ореди андезито-дацитов и липарито-дацитов противопоставляется уменьшению этих параметров в липаритах. Однако все же прослеживается устойчивая тенденция увеличения калневости пород в кислой группе от эоцена к миоплиоцену.

Направленные изменения составое внутри плутонических комплексов. Возрастная эволюция составов внутри габброидов улавливается достаточно четко—повышение щелочности  $(a=3,2,\ 10,4\ \text{м}\ 10,3)$ , увеличение насыщенности кремнеземом  $(Q=-17,4,-14,8\ \text{н}\ -7,2)$ , понижение меланократовости  $(b'=33,4;\ 21,0\ \text{н}\ 18,6)$  от ранних к поздним габброидам. Наиболее поздние габбро геминокого комплекса отличаются от ранних оливиновых габброидов значительно повышенной насыщенностью кремнеземом, повышенной щелочностью, лейкобазальтоидным уклоном. Уменьшение меланократовости от ранних к поздним габброидам указывает на гомодромную эволюцию составов габбро. Все габброиды Западного Баргушата высокоглиноземистые, железистые высоконатриевые и низкотитанистые.

На примере плутонитов области видно, что усиление роли вислых дифференциатов идет параллельно с понижением меланократовости габброндов. В габбро-диорит-гранодиоритовом комплексе габбронды составляют всего 9,8%, а гранитонды — 90,2%. Это один из аргументов в пользу того, что в альпийском цикле гранитонды являются конечным результатом гомодромной эволюции плутонического магматизма.

Отмечается почти полная сопряженность между одноименными петрохимическими характеристиками базальтондов и липарито-дацитов (Салвард), габброидов и гранитоидов (Гехи), входящих в контрастные магматические формации. Петрохимически ощутимые различия существуют лишь в параметре «кислотность-основность». Основные породы лейкобазальтоидные, а салические—мелажократовые. Именно меланократовый характер пород жислой группы больше всего указывает на генетическую общность пород базальт андезит-липаритовой серии.

Габбронды и гранитонды гехинокого комплекса высокоглиноземистые, натриевые, железистые. По гранитонды, в отличие от низкощелочных габброндов, уморенно-щелочные и меланократовые. Сопряженность между одноименными характеристиками плутонических пород вы-

ражена слабее чем в вулканических аосоциациях. Еще слабее выражена сопряженность между гранитами и габбро-гранитоидами. Габбродиорит-гранодиоритовую серию Западного Баргушата заворшают жильные праниты с эвтектическим составом or=38,6, ab=29,4 и q=32,0, где an = 3,1. Жильные граниты в отличие от гранитоидов и габброидов лейкократовые, калневые и низкоглиноземистые. Как видно, они по петрохимическим характеристикам резко отличаются от более основных типов плутонических серий. Составы жильных пранитов расположены блит точки тройного или легкоплавкого минимума. Около этой точки растотагаются фактически все нормальные мапматические праниты земной коры, так что трудно ожидать, что эвтектические граниты носили какие-то характорные провинциальные или индивидуальные петрохимические черты. В эвтектических гранитах должны теряться все или большинство родственных черт, существующих между гранитами и габбро-гранодноритами одного комплекса. Поэтому жильные граниты этого комплекса с калневым, низкоглиноземистым и лейкократовым уклонами протавопоставляются комагматичным гранитондам и габброидам. По-видимому, лишь тонкие петро- и геохимические исследования редких элементов породообразующих минералов могут выявить определенные и четкие черты сходства и различий.

Сравнительный петрохимический анализ пород вулканических и плутонических ассоциаций альпийского цикла, Зангезурского хребта и Западного Баргушата выявил многие специфические черты химизма всех породных групп. Ниже приводятся некоторые наиболее общие замечания и выводы, вытекающие непосредственно из петрохимического знализа мапматических пород исследуемой области. При обсуждении результатов в основу положена модель гипотезы и экспериментальные данные Д. Грина и А. Рингвуда [2].

- 1. Продукты различных стадии извержений и интрузий в широком аременном интервале (эоцен-средний плиоцен-постплиоцен) обладают сходными петрохимическими параметрами, которые указывают на их иринадлежность к петрохимическим классам с одинаковыми уклонами. Это позволяет предполагать, что гипотеза о гетерогенности магмообразующих субстратов является малоприемлемой, по крайней мере по вертикали, на интервале (~80—120 км), где генерируются кайнозойские расплавы. Одиовременно мало вероятным является предположение о сналической контаминации при дифференциации расплава в условиях пинких давлений, в магматических каналах или промежуточных камерах, выше места зарождения «первичной базальтовой» магмы, в земной коре (<40—60 км).
- 2. Гомодромная эволюция составов, постоянное увеличение насыщенности кремневемом и общей щелочности и уменьшение меланожратовости магм в течение третичного периода (от среднего эоцена до среднего плиоцена), а также устойчивый широкий комплекс петрохимических параметров показывает, что эти магматические расплавы генерировались и одного и того же первичного вещества мантии на одина-

ковых глубинах в течение довольно продолжительного времени (более 40 млн. лет).

3. Единообразие химических составов и сходные петрохимические особенности основных пород вулканических и ассоциирующих с ними плутонических комплексов, а именно—лейкобазальтоидный, высоконатриевый и низко- умерсино-щелочной уклоны, свидетельствуют не только об общности или единстве их источников (или состава «первичного расплава»), но и о сходных условиях масмообразования и уровнях глубинной дифференциации (в частности, для вулканических пород эоцена и плутонических пород габбро-диорит-гранодиоритовой формации). Эти свойства харажтеризуют провинциальный облик магматизма Западного Баргушата и Зангезурского хребта и позволяют допустить глубинный (мантийный) источник расплавов как для вулканических, так и для плутонических серий пород.

Стабильность петрохимического облика третичных габброидов и гранитоидов различных формационных типов указывает на однородность или единство магматических источников для всех серий плутонических пород. Некоторые различия в составах определяются различными глубинами дальнейшей дифференциации расплава после его отделения от нерасплавленного остаточного вещества мантии.

- 4. Однородность составов пород базальтоидной и салической групп, а также общность петрохимических характеристик и закономерная гомодромная эволюция свидетельствуют о генетической связи магм различной основности и их глубинных источников, а также об ограниченной роли процессов ассимиляции корового материала. В пользу этой гипотезы говорят данные о сходстве изотопных отношений  $Sr^{87}/Sr^{86}$  для базальтов и андезитов, а также базальтов и гранитов одного магматического цикла [9].
- 5. Петрохимические данные, конечно, не в силе объяснить природу магматических источников и составы первичных расплавов различных магматических серий. Однако они показывают, что плутонические серии по многим главным петрохимическим признакам сходны с ассоцинрующими с ними вулжаническими сериями. Иначе говоря, состаны базальтоидов (толентовых базальтов) сходны с составами габброидов (толентовых габброндов). Петрохимические уклоны однотипны и принадлежат к единым классам. Наличие базальтов и габброидов различного оостава или типа, а также эволюция в химизме третичных базальтовых магм, легче всего понимается, если признать справедливой гипотезу Грина-Рингвуда о «единой первичной» базальтовой магме состава оливинового полеита, дифференциация которон при различных Р-Т условиях приводит к образованию трех производных магм, а именно-магм состава щелочного оливинового базальта (наиболее глубинная, дифференциация при высоком давлении, 12-20 кбар. ~ 35-60 км). высокоглиноземистого одивинового толента (дифференциация при умеренных давлениях, 7-12 кбар, ~ 15-35 км) и кварцевого толента (дифференциация при низких давлениях, ниже 5 кбар. - 15 км). Базальто-

лентов и могут дифференцироваться на относительно больших глубинах  $(\sim 30-40~\kappa\text{м})$ , тогда как кварц-толентовые базальтовые расплавы миоплиоцена с относительно низкими содержаниями глинозема дифференцируются на меньших глубинах при «низких давлениях»— <5 кбар, (рис. 2).

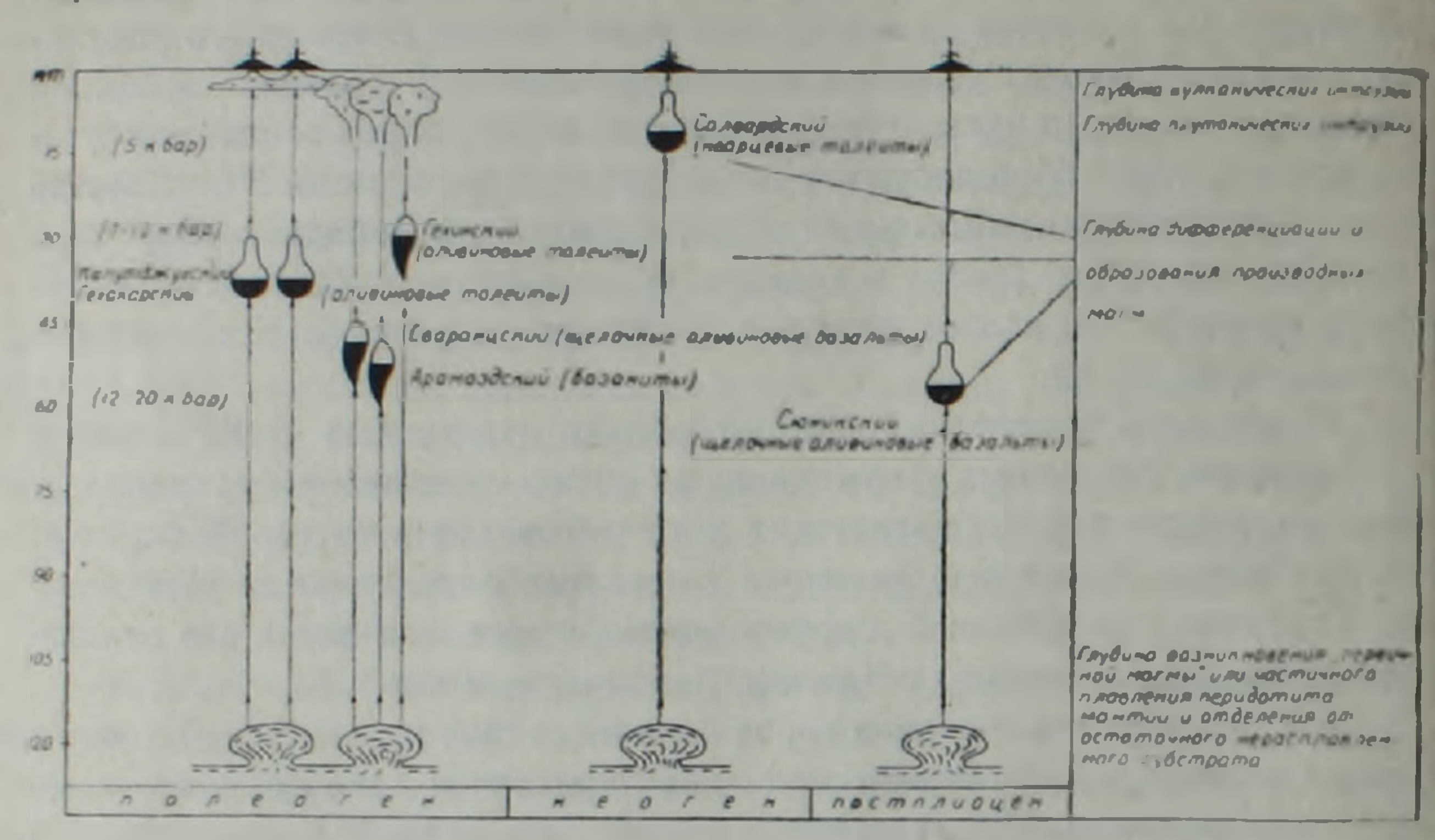


Рис. 2. Схема глубин возникновения «первичных» и дифференциации производных магм для вулканических и плутонических ассоциаций.

Резких различий в петрохимическом облике эпих магм не существует, так как они, вероятно, образовались из единого «первичного расплава» и между ними отмечаются постепснные переходы. Сходные петрохимические особенности кайнозойских базальтондов, которые принадлежат к трем различным типам—оливиновым толеитам (эоцен), кварцевым толеитам (миоплиоцен), щелочным оливиновым базальтам (постплиоцен), говорят в пользу гипотезы Грина-Рингвуда.

- 6. Все кайнозойские базальтоиды Западного Баргушата и Зангезурского хребта можно в целом отнести к высокоглиноземистым базальтоидным аосоциациям, в которых со временем отмечается поинжение глинозема и повышение содержаний титана, уровня общей щелочности, особенно калия, от ранних базальтоидов эоцена (3,12—3,54) к послебатолитовым—миоплиоцена (5,26) и постилноценовым «финальным» базальтоидам Сюникского нагорья (6,41). Для четвортичных базальтоидов устанавливается высокий уровень содержания жалия, низкое натрий-калиевое отношение. Одновременно дифференциация четвертичных расплавов до их извержения происходила на больших глубинах (~35—60 км), чем палеогенювых расплавов вулканических серий (~15—35 км)
- 7. Формирование плутонических расплавов верхний-эоцен-олигощенового возраста, в частности габбро оливинитового и габбро-монцоните

спенитового комплексов, до внедрения их и кристаллизации в данных интрузивных камерах, происходило на относительно больших глубинах (35—60 км), чем вулканических базальтоидных расплавов средне-верхнего зоцена. Расплавы, из которых кристаллизовались породы плутонивенное производными и образовались из богатых оливином толентовых базальтов, фракционная дифференциация которых на этих глубинах приводила к формированию богатых оливином щелочных толентов обазанитов с нормативным нефелином (2,6÷5,4 в оливиновых паббро сваранцокого и калишпатовых габбро арамаздского комплексов соответственно). Формирование магмы более молодых плутонических формаций провеходит на меньших глубинах (15—35 км), где охлаждение и фракционная кристаллизация «первичного расплава» приводили к образованю производных расплавов состава оливинового толента. Именно из этих производных магм образовались, в дальнейшем, интрузивные массивы паббро-диорит гранодиоритового комплекса Западного Баргушата.

- 8. Базальтонды Западного Баргушата и Зангезурского хребта характеризуются натриевым обликом с низким отношением Na/K, резко повышенным содержанием глинозема и нальция, низким содержанием титана, высоким  $Fe^{3+}/Fe^{2+}$  отношением. Этими характеристиками базальтонды палеогена (и неогена) существенно и очень резко отличаются от продуктов раннегеосинклинального вулканизма и, в частности, пород спилит—кератофировой формации. В последних все эти характеристики имеют обратные значения.
- 9. Хотя базальты вместе с андезито-базальтами составляют подавяяющую часть палеогеновых формации, лейкобазальтоидный их облик и наличие пород собственно кислой группы липарит-дацитового ряда (особенно в миоплиоценовом комплексе) позволяют отнести палеогеновые и миоплиоценовые вулканичестке серии, в целом, к андезито-базальтовой (андезитовой) формации. Менее базитовый и более кремнеземистый облик базальтоидов палеогена и неогена указывают на тектонически незрелый характер фундамента, со слабыми признаками «оплатформенности» [1].

Институт геологических паук АН Армянской ССР

Поступила 10.111.1980.

Հ. Պ. ԳՈՒՅՈՒՄՋՅԱՆ, Ռ. Տ. ՋՐԲԱՇՅԱՆ

ՉԱՆԳԵԶՈՒՐԻ ԿԱՅՆՈԶՈՅԱՆ ՀՐԱՐԽԱՅԻՆ ԵՎ ՊԼՈՒՏՈՆԻԿ ԿՈՄՊԼԵՔՍՆԵՐԻ ՔԻՄԻԶՄԻ ՀԱՄԵՄԱՏԱԿԱՆ ԲՆՈՒԹԱԳԻՐԸ

Udhnhnid

որ որ արաստան հրարիսային և պլուտոնիկ կոմպլեքսների ապարների պետոր արանք պատկանությունը ցույց է տալիս, որ նրանք պատկանում են միամասն պետրոջիմիական հակում ունեցող դասերի, ունեն մազմատիղմի էվոլյուցիայի ընդհանուր զծեր, օրինայափ հոմոդրոմ զարգացում, բազալտույիս նաև ենթադրելու մագմագոյացման միասնական խորքային-մանտալիս նաև ենթադրելու մագմագոյացման միասնական խորքային-մանտիային աղբյուրների և ասիմիլացիայի սահմանափակ դերի մասին, «միաստիային աղբյուրների և ասիմիլացիայի սահմանափակ դերի մագմայի մասին, որի դիֆերենցումը տարբեր խորություններում բերում է ածանցյալ երեջ սին, որի դիֆերենցումը տարբեր խորություններում բերում է ածանցյալ երեջ և տալիս նաև ենթադրելու մագմային կազմի բազալտային մագմայի մասին, որի դիֆերենցումը տարբեր խորություններում բերում է ածանցյալ երեջ և տալիս նաև ենթադրելու մագմաների և ալկալային օլիվին բազալտային, բարձր

վերագրել անդեղիտա-բապալտային (անդեզիտային) ֆորմացիոն տիպին։ և տալիս պալեոգննի և նեոգինի հրաբխային սերիաներն ընդհանուր առմամբ ների առկայությունը (մասնավորապես միոպլիոցենյան համալիրում) թույլ կերագրել անդեղիտա-բազալտության տեսքը և լիպարիտ-դացիտային խմբի ապարներագրել անդեղիտա-բազալտության (անդեզիտային) ֆորմացիոն տիպին։

#### H. P. GUYUMDJIAN, R. T. DJERBASHIAN

THE COMPARATIVE CHARACTERISTIC OF THE ZANGUEZOOR CENOZOIC VOLCANIC AND PLUTONIC COMPLEXES CHEMISM

#### Abstract

The analysis of the region Tertiary magmatic complexes petrochemical features shows their belonging to the petrochemical classes with similar inclinations and common features of evolution as well as the uniformity of basaltoid and salic groups rocks composition, it also allows to consider the united abyssal-mantle sources of magma formation as well as the limited role of assimilation processes.

#### ЛИТЕРАТУРА

- 1. Белоусов А. Ф. Проблемы янализа эффузивных формации. Изд. «Наука», Нолосибирск. 1976.
- 2. Грин Д. Х., Рингнуд А. Э. н др. Петрология верхнен мантии Изд. «Мир», М., 1968.
- 3. Гуюмджян О. П. О соотношении вулканогенных и осадочных образований в «псевдовулканогенно-осадочных» формациях Баргушатского хребта (Армянская ССР). Известия АН Арм. ССР, Науки о Земле, т. XXI, № 5, 1968.
- 4. Гуюмджян О. П. Геологическое строение, магматизм и метасоматические образования Западного Баргушата. Автореферат диссертации, Ереван, 1970.
- 5. Гуюмджян О. П. Магматические плутонические формации Западного Баргушата, Известия АН Арм. ССР, Науки о Земле, т. XXVI, № 1, 1973.
- 6. Джрбашян Р. Т., Гуюмджян О. П., Таян Р. Н. Некоторые особенности строения и формирования третичных вулканических комплексов Зангезура. В кн. «Вудканизм и металлогения Армянской ССР», Зап. Арм. отд. ВМО, вып. 8, 1976.

- 7. Джрбашян Р. Т., Гуюмджян С. П., Таян Р. Н. Палеовулканические формации позднеальпийского этапа развития юго-восточного склона Малого Кавказа. В кн. «Палеовулкачизм и его продукты». Петрозаводск, 1977.
- 8. Джрбашян Р. Т., Садоян А. А. Существуют ли инжиезоценовые вулканические и вулканогенно-осадочные породы в бассейне левобережья р. Аракс (Арм ССР и Нахич. АССР). Известия АН Арм. ССР, Науки о Земле, № 1, 1980.
- 9. Шинкарев Н. Ф. Происхождение магматических формаций. Изд. «Недра», Л., 1978.
- 10. Ширинян К. Г., Нагапетян Л. Б. Новый тип базальтов в Армении. ДАН Арм. ССР, т. 59, № 1, 1974.

УДК 553.1

### г. б. григорян, а. л. давтян

# ВЕЩЕСТВЕННЫЙ СОСТАВ ШТЕЙНО-ШЛАКОМЕТАЛЛИЧЕСКИХ ПРОДУКТОВ

Приведены результаты минералогического анализа шлако-штейно-металлических продуктов пирометаллургической переработки золотосодержащего сырья Золото и серебро свободные и обнаруживаются в штейно-металлическом продукте.

Шлак представлен комплексным соединением окислов кремния, железа, кальция. Штейн включает сульфиды железа, меди с попутными примесями. Сплав представлен металлической медью с примесями железа, николя в виде аваруита Приведен ряд данных по процессам минералообразования, разложения, замещения компонентов. Полученные данные найдут непосредственное применение в теории и практике процессов минералообразования в условиях высоких температур при последующем охлаждении огненно-жидких фаз.

При высокотемпературной переработке сульфидной шихты золото и серебро концентрируются в жидких штейно-металлических (основная часть) и шлаковых (незначительная часть) расплавах. Знание вещественного состава указанных продуктов является необходимостью и обусловлено требованием теории и практики пирометаллургических процессов.

В процессе проведенных исследований изучался вещественный состав продуктов (табл. 1) высокотемпературной переработки золотосодержащей сульфидной шихты. Особое внимание было обращено на формы нахождения золота, серебра и пространственное их распределение в продуктах. Исследовали застывшие образцы в виде полированных и прозрачных шлифов. Пользовались также методом селективного химического растворения компонентов непосредственно на поверхности полированного шлифа.

Химический состав изученных продуктов приведен в табл. 1.

1. Шлак плавления — раскристаллизованный продукт с крупными сломорфными выделениями в основном сложного силиката железа (фаялита). В составе фаялита присутствует незначительное количество окислов магния, кальция, алюминия и других металлов- примесей. В незначительном количестве присутствуют сульфиды и мапнетит. Промежутки идиоморфных выделений силиката железа заполнены силикатным стоклом, представляющим в основном комплексное соединение окислов кремния, мапния, алюминия, кальция, железа. Силикат железа образует крупные удлиненные, иногда шестоватые, на отдельных участках взаимоориентированные идиоморфные выделения. Редко встречаются короткопризматические, беспорядочно расположенные выделения, размерами в поперечнике до 0,08 мм (рис. 1).

Химический состав изученных продуктов, % и г/т

Процессы	Продукты	Ne npo- aykta	Au z;m	Ag z/m	NI	Со	Си	S	Fe	S10 <sub>2</sub>	100	CaO	MgO
Плавление шихты	шлак штейн	1 2	1,0 36,8	11,4 33,0	0,47	0,007	1.99	1,06 29,6	35,0 59,5	30,2	7,1	4,34	6,8
Жидкофазное окисление штейна и осаждение драгметаллов	шлак  обогащенный штеин до осаждения зо- лота, серебра  обогащенный штейн после осаждения	4	9,6	15,0 757,0	0,005	0,64	0,75 24.45	22,33	40,0	30,44	5,5	3,19	6,52
	золота, серебра мсталлическая медь	5	18,0	21,0 1185,0	15,3 <b>5</b> 7,68	0,657 0,28	53,0 88,6	18,35	11.0				

Магнетит встречается редко и в виде мелких неправильных выделений размерами до 0,005 мм, а иногда окаймляет сульфидные выделения. Сульфиды представлены в основном пирротином, редко халькопиритом и борнитом. Распределение этих минералов особое. Как правило, пирротии наблюдается в виде равномерно распределенной тонкой взвеси в силикатном стекле с размерами частиц до 0,005—0,008 мм (рис. 1). После кристаллизации фаялита и магнетита происходит лик-

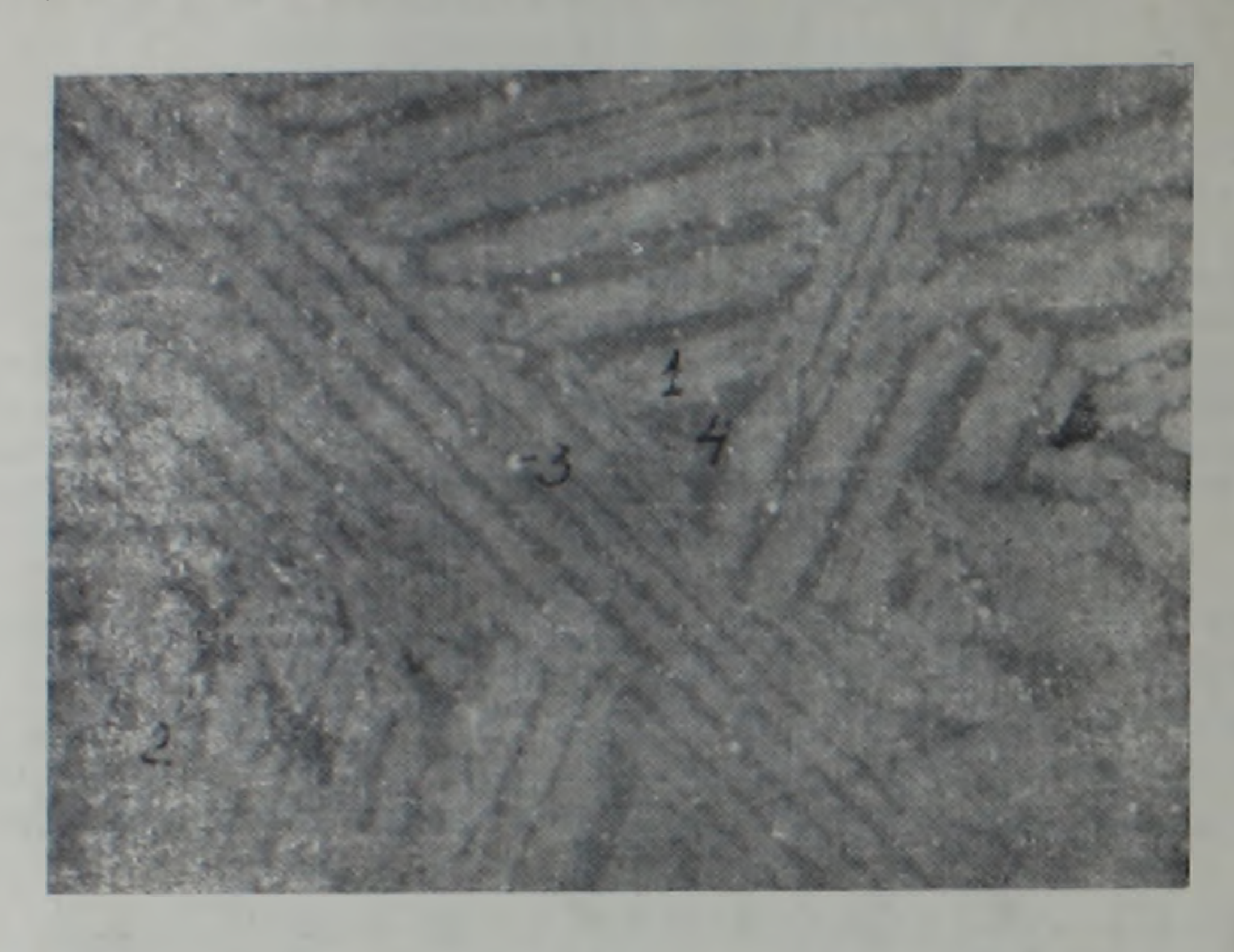


Рис. 1. Микроструктура шлака плавления. 1 —фаялит, 2-магнетит, 3—пирротии, 4—стекло. Пол. шл. Ув. 250 х.

вационное выделение пирротина из остаточного шлакового раоплава при его охлаждении. Халькопирит и борнит в шлаке наблюдаются в единичных зернах размерами до 0,02 мм, в неправильной или округлой форме. В отличие от пирротина, который обнаруживается в силикатном стекле, халькопирит и борнит наблюдаются также и в фаялите. Пространственное расположение основной массы сульфидов относительно шлакообразующих компонентов обособленное (разобщенное). Следовательно, в шлаковой массе они находятся в виде механических включений (запутанных частиц). Предполагается также присутствие сульфидных тонкодисперсных частиц, механически внедренных в шлаковую массу в виде включений и сростков с различными шлаковыми минералами. Включения и сростки трудно обнаруживаются. Окислы алюминия, кальция, магния и частично железа с кремнеземом образуют силикатное стекло, которое можно представить в виде комплексного соединения типа (Са, Мg, Fe) m·(Al,Fe) п·(SiO<sub>2</sub>) k.

Из-за незначительного содержания золота, серебра в шлаковой массе (табл. 1) они под микроскопом не обнаруживаются. Возможно,

что указанные металлы овязаны с шлако-сульфидными минералами в виде тонкодисперсных механических включений и сростков, рассеянных по всей шлаковой массе, где могут образовать интерметаллические соединения типа: Au<sub>m</sub> · Ag<sub>n</sub>; Me<sub>m</sub> · Au<sub>n</sub>; Me<sub>m</sub> · Ag<sub>n</sub>.

В минеральном составе шлака установлены; фаялит—80—85%, пирротин—3—4%, халькопирит + борнит до 1%, силикатное стекло и магнетит—10—15%. Расчетный рациональный состав шлака (%): 63,15 (FeO)<sub>2</sub>·SiO<sub>2</sub>; 17,1 MgO·SiO<sub>2</sub>; 3,61 Al<sub>2</sub>O<sub>3</sub>·SiO<sub>2</sub>; 9,18 (CaO)<sub>5</sub>·(Al<sub>2</sub>O<sub>3</sub>)<sub>3</sub>; 0,313.

Железо находится в виде магнетита и сульфидов.

2. Штейн плавления: основная масса представлена пирротином, в котором в незначительном количестве присутствуют мапнетит, халыко-пирротин (CuFeS<sub>2</sub>·nFeS), борнит, металлическое железо и серебро в виде мелких включений и точек. Магнетит встречается в виде идиоморфных и неправильных выделений с размерами частиц до 0,05—0,08 мм.

Наблюдаются также тонкие волосовидные прожилки магнетита, мощность которых не превышает 0,003-- 0,005 мм (рис. 2).

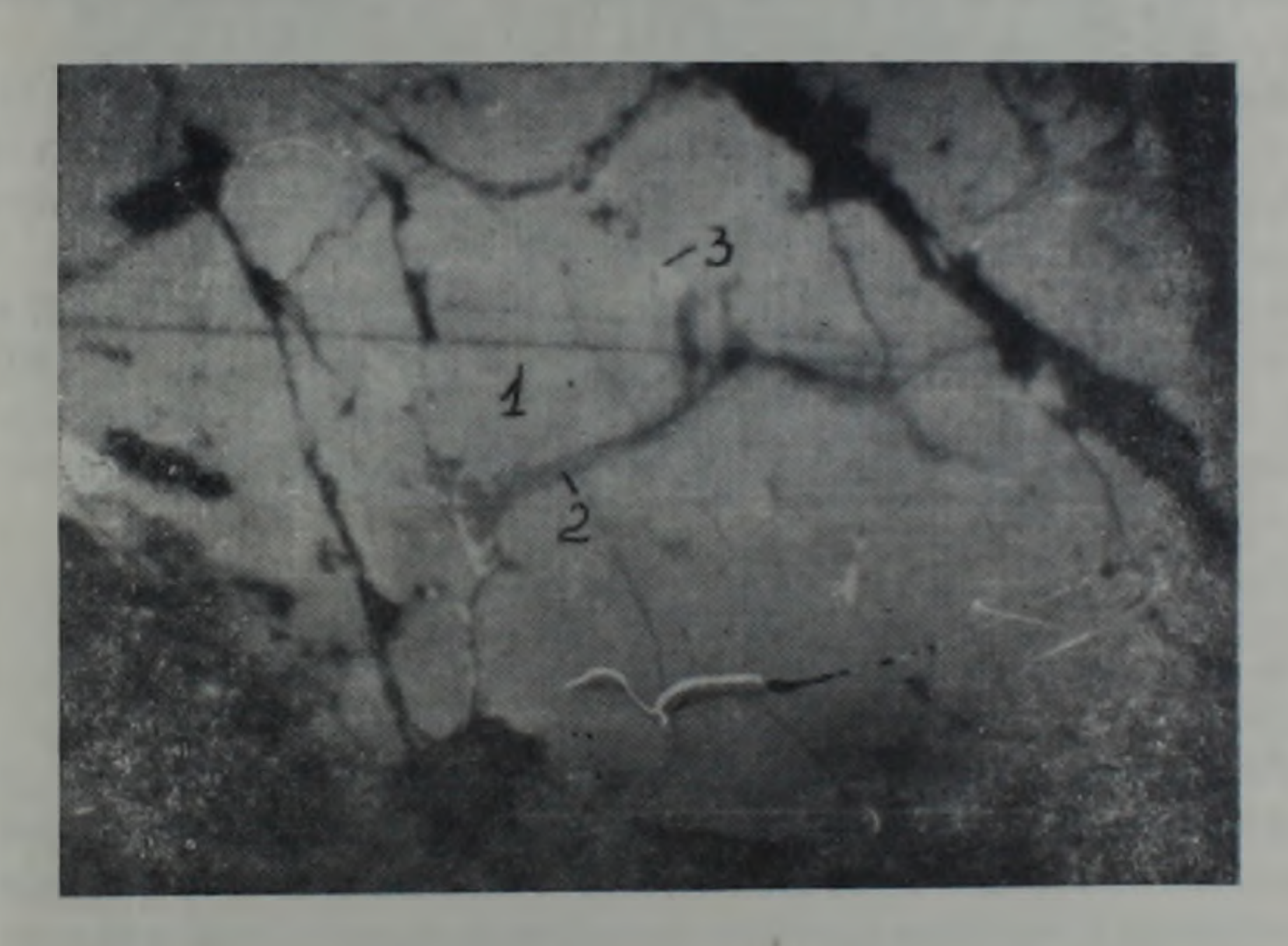


Рис. 2. Микроструктура литейна плавки. 1—пирротии, 2—магнетит, 3—металлическое железо. Пол шл. Ув. 250 х.

Металлическое железо образуется при охлаждении штейна в результате рыспада закиси и сульфида железа по реакциям:

$$4FeO$$
  $\rightleftarrows Fe3O4 + Fe···(1);
 $2FeS$   $\rightleftarrows FeS2 + Fe···(2).$$ 

Уравнения изобарных потенциалов этих реакций, выведенные нами, имеют вид:

для реажими (1) и твердого состояния компонентов

$$\Delta Z_1^0 = -9700 + 10.8T \cdot \cdot \cdot (1);$$

для реакции (1) и жидкого состояния компонентов

$$\Delta Z_1^0 = -16700 + 13,4T \cdot \cdot \cdot (2);$$

для реакции (2) и жидкого состояния сульфида железа

$$\Delta Z_2^0 = -12220 + 15,57T \cdot \cdot \cdot (3).$$

Соглаоно приведенным уравнениям распад закиои и сульфида железа начинается с 597°С (по уравнению 1); 977°С (по уравнению 2); 517°С (по уравнению 3) и более низких температурах. Тонкие прожилки магнетита в трещинах пирротина (рис. 2) образуются за счет окисления закиси и сульфида железа кислородом воздуха и распадом закиси железа по реакции (1) при охлаждении штейна. Данный вывод обоснуется также наличием металлического железа в приконтактовых участках верен магнетита с пирротином. Это особенно наглядно видно в участках трещин пирротина, где магнетит и металлическое железо в прожилках встречаются совместно (рис. 2). Металлическое железо, продукт реакции (2), наблюдается также в самом пирротине в виде выделений округлой и неправильной формы с размерами частиц до 0,005 мм.

Борянт и халькопирротин образуют единичные включения в пирротине с размерами частиц до 0,003—0,008 мм. В полях пирротина обнаружено металлическое серебро, золото в виде мелких точек с размерами частиц от 0,001 до 0,005 мм. Обнаружено также червовидное выделение золота размером до 0,002 мм. В полях пирротина обнаружены мелкие выделения сульфидов никеля с размерами частиц от 0,005 до 0,008 мм. Предполагается, что никель при высоких температурах в штейне представлен в виде хизлевудита. По мере охлаждения он может разлагаться по реакции:

$$Ni_3S_2 = 2NiS + Ni.$$

Таким образом, в охлажденной пробе никель представлен в виде миллерита.

Установленный минеральный состав штенна: пирротин—90—93%, магнетит—3—4%, халькопирротин + борнит—2%, металлическое железо со следами металлического серебра 2%. По данным минералогического ч химического анализов установлен следующий расчетный минералогический состав штейна: пирротин—74,955%; халькопирит—4,03%; борнит— 0,975%; магнетит—11,7%; металлическое железо—2%.

3. Шлак окисления штейна. Представлен фаялитом, магнетитом, вюститом. Обнаружены сульфиды, металлическое железо и оеребро. Фаялит образует ориентированные и беспорядочно расположенные шестоватые кристаллы с размерами в поперечнике до 0,015 мм Местами он образует своеобразную решетчатую структуру (рис. 3). Промежутки кристаллов фаялита заполнены шлаковым стеклом. Из разнообразных форм выделения магнетита наиболее характерной является идиоморфное выделение с размерами частиц от 0,03 до 0,2 мм.

Магнетит в шлаковой массе распределяется неравномерно. Наблюдаются как единичные выделения, так и скопления. Он обнаруживается также в выделениях вюстита. Образование магнетита в вюстите происходит по реакции (1). Кристаллизация магнетита завершается дендригообразными выделениями в шлаковом стекле в промежутках зерен фаялита. Обнаруживаются раздробленные зерна хромита, окаймленные магнетитом.

Сульфиды представлены округлыми выделениями с размерами частиц 0.015—0.03 мм в виде твердых растворов пирротина, халькозина, ковеллина, местами с борнитовыми включениями. Пирротин наблю-

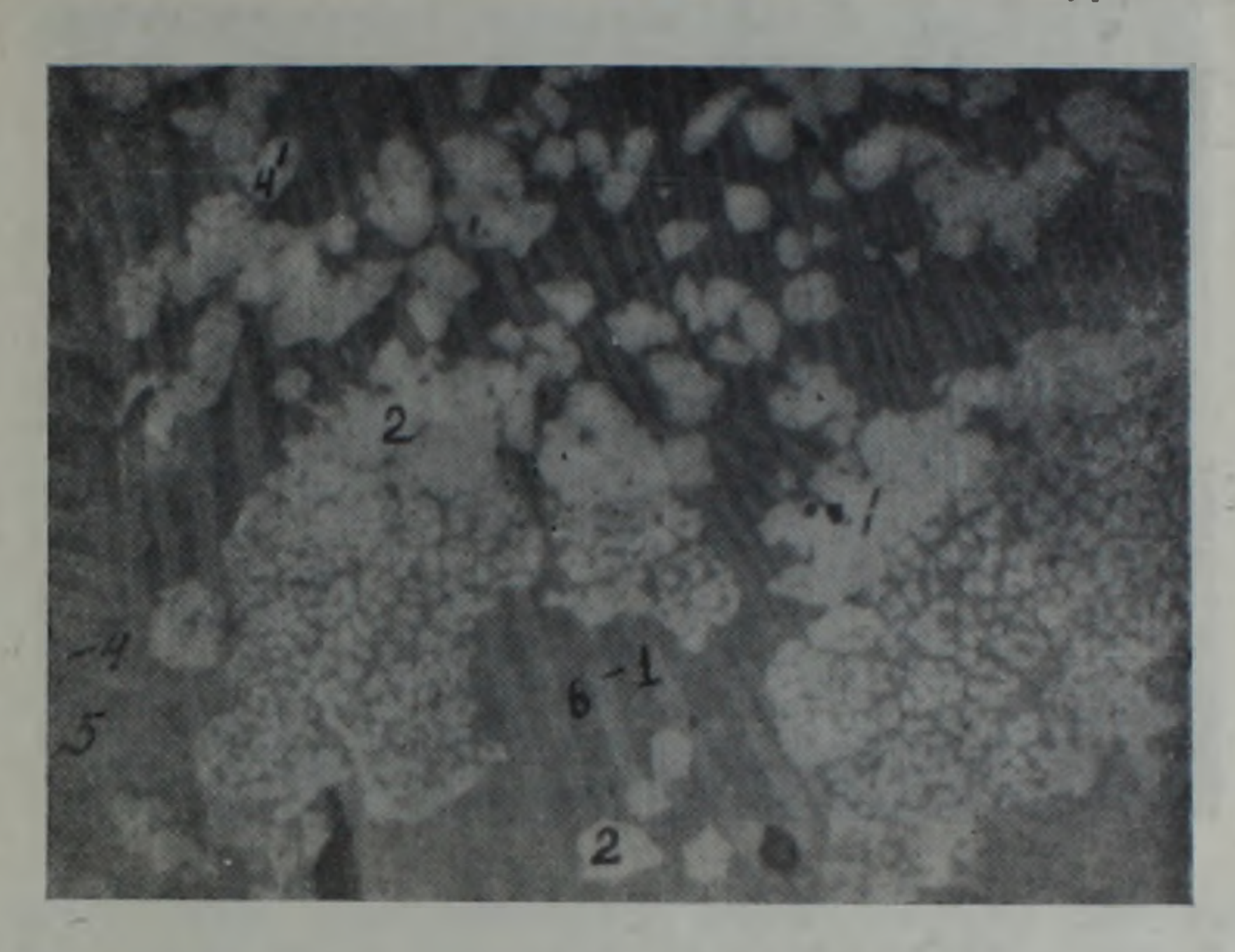


Рис. 3. Микроструктура шлака окисления. 1—фаялит, 2—магнетит, 3—сульфиды, 4—металлическое железо, 5—металлическое серебро, 6—стекло. Пол. шл. Ув. 250 х.

дается только в шлако-силикатном стекле. Халькозин, ковеллин, борнит обнаруживаются во всех шлаковых минералах. В выделениях магнетита и фаялита обнаружены металлическое железо, золото и серебро в виде мелких точечных выделений размерами до 0,001 мм.

Установлен следующий минеральный состав шлака: фаялит—40— 45%; шлакостекло—35--40% (комплексное соединение алюминия, кальция, магния); магнетит—10—12%; сульфиды—2—3%; железо, серебро—следы. Расчетный состав шлаковых минералов( ${}^{\circ}_{0}$ ): 46, 18—(FeO) $_{2}$ · SiO $_{2}$ ; 16,29—MgO+SiO $_{2}$ ; 7—CaO+SiO $_{2}$ ; 8,74—Al $_{2}$ O $_{3}$ ·SiO $_{3}$ ; 20,5—Fe $_{3}$ O $_{4}$ .

4. Обогащенный штейн до осождения золота и серебра.

Представлен валлериитом и твердым раствором борнита-халькозина. По сравнению с борнит халькозиновым твердым раствором, валлериит характеризуется однородностью (рис. 4).

При охлаждении штейна происходит распад валлернита по реакции:

# 10Cu<sub>3</sub>Fe<sub>4</sub>S<sub>7</sub>--4Cu<sub>5</sub>FeS<sub>4</sub>+36FeS+9S<sub>2</sub>---(3).

В маюсе сульфидов наблюдаются незначительное количество магнетита в виде неправильных включений с размерами частиц до 0,004 мм; мелкие включения металлической меди с размерами частиц до 0,03 мм и довольно разнообразные формы металлического железа (дендриты, неправильные выделения, волосовидные прожилки с размерами частиц 0,01—0,10 мм). Золото и серебро представлены металлическими фазами. Серебро распределено неравномерно и наблюдается в виде мелких

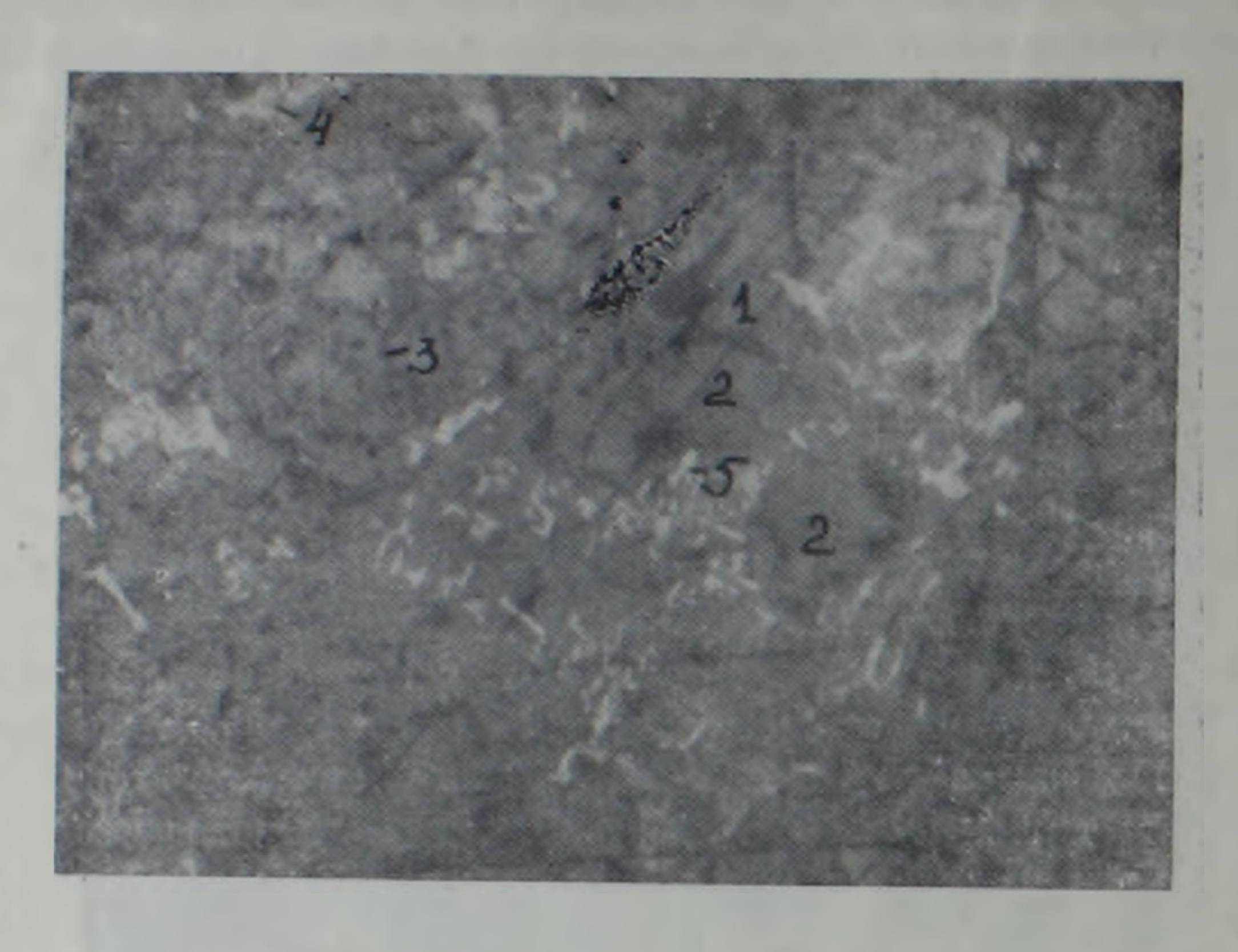


Рис. 4. Микроструктура богатого штейна до осаждения золота, серебра. 1—валлериит. 2—борнит-хальюозиновый твердый раствор. 3—магнетит, 4—металлическая медь, 5—металлическая медь, 5—металлическое железо. Пол. шл. Ув. 250 х.

точечных выделений размерами до 0,01 мм. Лишь после травления шлифа, золото наблюдается в виде тонкой эмульсии, чаще всего на участках металлической меди, железа и реже в полях сульфидов. Из сказанного следует, что золото в штейновой массе свободное и входит в состав металлической фазы. Поэтому до травления оно не наблюдается После травления, поскольку прочие компоненты поверхностного слоя шлифа растворяются и удаляются, а золото не растворяется, то оно вскрывается и обнаруживается. Из выявленных данных также следует, что золото концентрируется в основном в плотной фазе, в данном случае в сплаве металлической меди.

Выявленный минеральный состав штейна следующий: валлериит— 25—30%; борнит—15—20%; борнит-халькозиновый твердый раствор— 25—30%; металлическое железо—5—7%; металлическая медь—2—3%; магнетит до 1%; следы металлического золота и серебра.

5. Обогащенный штейн после осаждения золота и серебра. Расомотрены три шлифа из разных мест одной пробы. Минеральный состав (табл. 2) трех шлифов практически одинажовый. Они отличаются количественными и структурно-текстурными особенностями. Выявлены два разных по структуре сплошных поля: первое—поле металлического железа с включениями сульфидов и второе—сульфидов с включениями металлического железа (рис. 5). Сульфидное поле представлено в основном выделениями валлериита, борнита, борнит-халькозинового твердого раствора часто с выделениями халькозина.

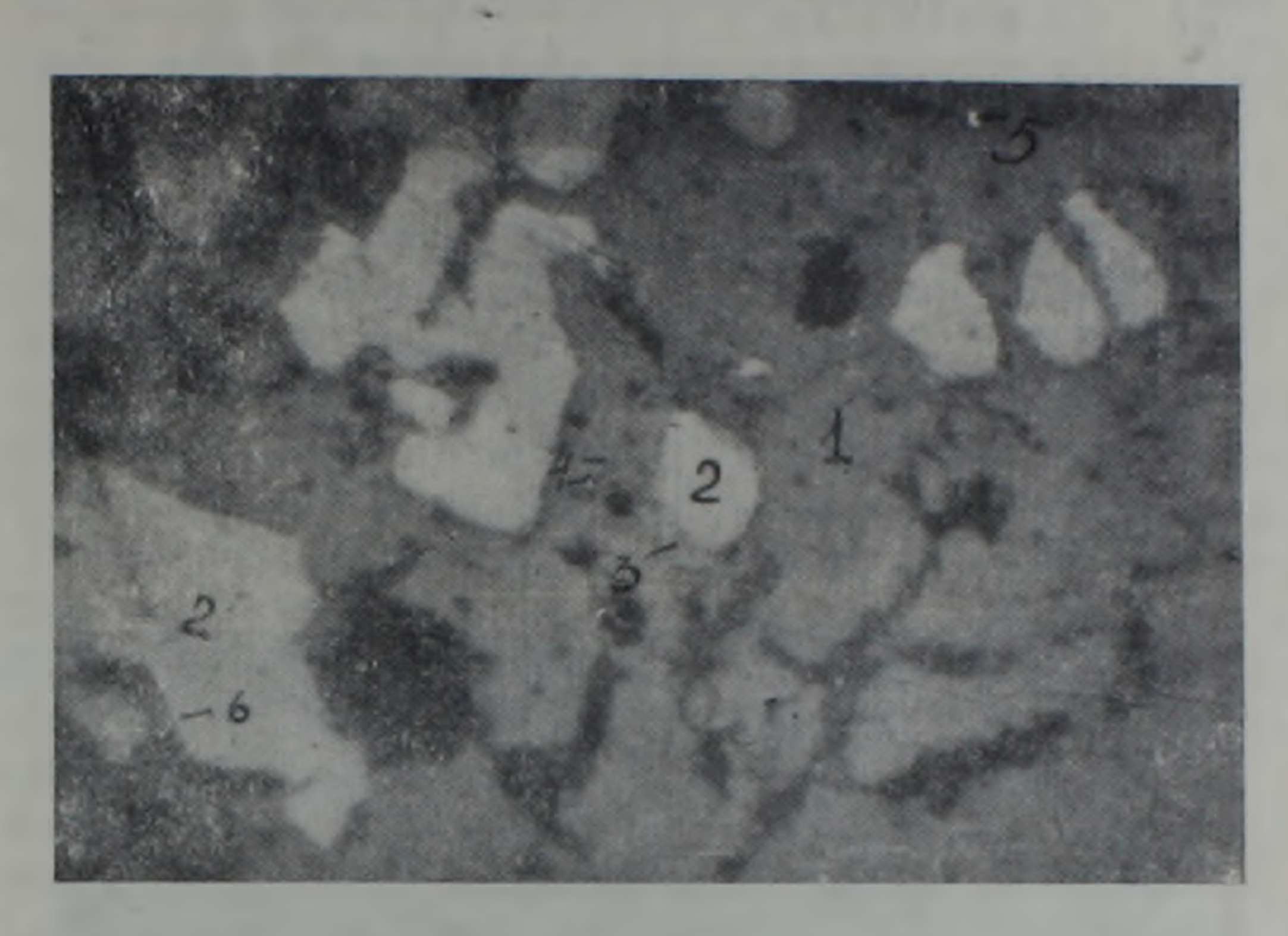


Рис. 5. Микроструктура богатого штенна после осаждения золота, серебра 1—сульфиды, 2—металлическое железо, 3—металлическая медь, 4—магнетит, 5—серебро, 6—золото. Пол. шл. Ув. 250 х.

Металлическая медь обнаружена в полях сульфидов, металлического железа и на их контакте. В железе медь представлена в виде прожилков и неправильных выделений размерами 0,005—0,03 мм В сульфидах медь образует мелкие неправильные выделения. В приконтактовых участках медь образует сплошную или прерывистую каемку на металлическом железе. Иногда наблюдаются сплошные участки металлической меди, где редко имеются мелкие включения халькопирротина. Редко в массе сульфидов наблюдаются мелкие включения магнетита и точечные выделения металлического серебра.

Поскольку осаждение золота и серебра из обогащенного штейна производится металлической медью, то железо может выделяться также по реакции:

Сопоставление выявленных структурных данных обогащенных штейнов показывает, что штейн после осаждения золота и серебра от-

личается от штейна до осаждения резким снижением в нем содержания валлериита, борнита и резким повышением оодержания металлической фазы железа с примесями.

Из табл. 2 видно, что минералы в шлифах распределены неравномерно. Все это говорит о неоднородности микроструктуры штейна.

Минеральный состав штейна, %

Таблица 2

Nº Nº	M	Шлифы					
n/n	Минералы	1	2	3			
1	Железо с примесями	55-60	45 – 50	7-10			
2	Борнит-халькозиновый твердын раствор	30-35	30-35	45 - 50			
3	Борнит	2-3	1-2	1-2			
4	Валлеринт	до 1	3-5	20-25			
5	Халькопирротин	до 1	следы	следы			
6	Медь с примесями	1-2	5-7	3-5			
7	Магнетит	следы	следы	5-7			
8	Серебро	71		следы			

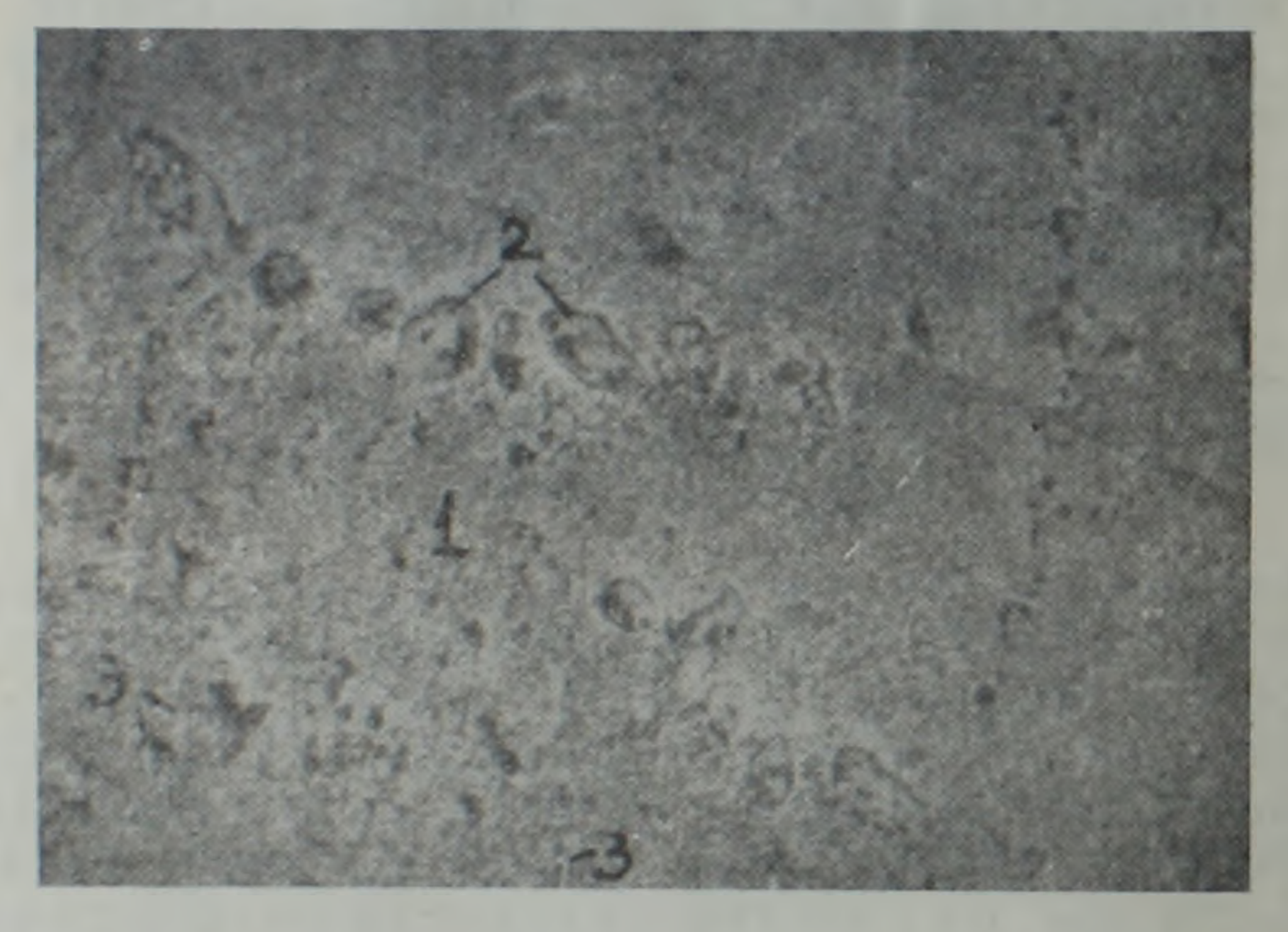


Рис. 6. Микроструктура металлической меди. 1—металлическая медь, 2—металлическое железо, 3-- серебро. Пол. шл. Ув. 90 х.

6. Золотосодержащий сплав меди. Представлен в основном металлической медью с железо-никелевыми включениями типа—Fem·Nin. Этот минерал (аваруит) средней твердости, анизотролен, серо-белого цвета, неправильной или округлой формы. Размеры частиц 0,08—0,8 мм. Аваруит распределен неравномерно, его оодержание уменьшается начиная с периферии шлифа к его центру от 12—15 до 7—10%. В авачиная с периферии шлифа к его центру от 12—15 до 7—10%.

рунте и в полях металлической меди наблюдаются точечнообразные выделения металлического серебра. Металлическое золото обнаруживается в виде тонкой эмульскии после травления шлифа концентрированной азопной кислотой (рис. 6).

Ереванский политехнический институт им. К. Маркса

Поступила 13.VI 1980.

Գ. Ի. ԳՐԻԳՈՐՅԱՆ, Ա. Ա. ԳԱՎԹՅԱՆ

# ՇՏԵՅՆ—ԽԱՐԱՄ—ՄԵՏԱՂԱԿԱՆ ԱՐԳԱՍԻՔՆԵՐԻ ՆՅՈՒԹԱԿԱՆ ԿԱԶՄԸ

## Udhahaid

Հոդվածում ներկայացված են ոսկի պարունակող հումքի հրամետալուրդիական մշակմամբ ստացվող խարամային, շտեյնային և մետաղական նյութերի հանքաբանական վերլուծության արդյունքները։

Ըստ Նյութական կազմի խարամները բնորոշվում են սիլիցիումի, կալցիումի, երկաթի և մագնեզիումի օքսիդների կոմպլեքսային միացություններով, չնչին քանակությամբ ուղեկցող տարրերի խառնուրդով։ Շտևյններում կենտրոնանում են երկաթի, պղնձի և մասամբ նիկելի կոմպլեքսային միացությունները։ Հրամետալուրգիական մշակման վերջնական արդյունք հանդիսացող պղնձի համաձուլվածքը ներկայացված է մետաղական պղնձի հոծ զանգվածով, հաճախակի հանդիպող երկաթ-նիկելային միացության (ավարուիտի) ներփակումներով։

տարած<mark>ական տեղաբ</mark>աշխման հարցերը։

Հանքաբանական և ջերմադինամիկական վերլուծության մի շարք տվյալներով հաստատվում է, որ բարձր ջերմաստիճանային հալոցքային սիստեմներում, սառեցման ընթացքում ոսկու և արծաթի հիմնական զանգվածը կենտրոնանում է համեմատաբար բարձր տեսակարար կշիռ ունեցող խիտ ֆազաներում, տվյալ դեպքում մետաղական պղնձի համաձուլվածքում։ Ոսկին և արծաթը ավելի փոքր քանակություններով հայտնաբերված են նաև երկանպղնձային հարստացված և մասամբ էլ աղջատ շտեյններում։ Ընդ որում. նրանք հիմնականում կենտրոնացված են շտեյններում գտնվող մետաղական պղնձի և ավելի քիչ՝ մետաղական երկաթի ներփակումներում։

#### G. B. GRIGORIAN, A. A. DAVTIAN

## MATERIAL COMPOSITION OF MATTE-SLAG-METALLIC PRODUCTS

### Abstract

The results of auriferous raw materials pyrometallurgic processing matte-slag-metallic products mineralogical analysis are brought. Gold and silver are in a free form and are revealed in the matte-metallic product.

The slag is presented by the complex compound of silicon, iron and calcium oxides. The matte includes iron and copper sulphides with incidentally admixtures. The alloy is presented by metallic copper with admixtures of iron, nickel as avaruite. Some data are brought on the mineral formation processes as well as on the components decomposition and substitution. The obtained data are able to be directly applied in the mineral formation processes theory and practice under the high temperature conditions during subsequent cooling of the liquid-molten phases.

УДК 553.4 (479.25)

## Г. Г. ШЕХЯН, К. М. МАРТИКЯН, Г. С. АМАЗАСПЯН

# К ВОПРОСУ О РАЦИОНАЛЬНОМ ИСПОЛЬЗОВАНИИ РУД ЦВЕТНЫХ МЕТАЛЛОВ АРМЕНИИ

Производство цветных металлов, прежде всего меди, является одной из старейших отраслей индустрии республики. До середины текущего столетия разрабатывались главным образом богатые руды колчеданных и колчеданно-полиметаллических месторождений (Алаверди, Памлуг, Кафан и др.). Содержание меди и других компонентов (свинца и цинка) в таких рудах достигало 2—3% и более. Часть добытого сырья вообще не подвергалась флотационному обогащению, а после некоторой сортировки направлялась на плавку.

Разведка и освоение медно-молибденовых месторождений, а также вовлечение в эксплуатацию прожилково-вкрапленных медных руд на ранее известных объектах коренным образом изменили структуру сырьевых ресурсов рассматриваемой отрасли. Их основу в настоящее время составляют крупные по масштабам запасы с относительно низкими содержаниями полезных компонентов. Так, за последние 25—30 лет ореднее одержание меди в рудах, добываемых на месторождениях Армении, снизилось более чем в два раза. Развитие сырьевой базы цветной металлургии Армении полностью отвечает общеизвестной мировой тенденции вовлечения в отработку руд все более и более низкого качества [2, 5].

Закономерность такого явления неоднократно отмечалась рядом исследователей [6, 7 и др.], которые указывали, что в дальнейшем на эксплуатируемых месторождениях Армении могут и должны использоваться руды с сравнительно низким содержанием компонентов, относимые ранее к забалансовым. В настоящее время эта позиция общепризнана, поэтому вполне понятно, что проблеме рационального использования всех потенциальных ресурсов рудного сырья в последние годы уделяется много внимания.

Этому вопросу поовящен ряд статей, опубликованных в журнале «Промышленность Армении» [1, 3, 9]. Стремление их авторов указать пути иопользования так называемых «бедных» руд, разумеется, похвально. Нужно подчеркнуть, однако, что рассматриваемый вопрос не может решаться произвольно, на основе субъективных взглядов. Так, по мнешию некоторых исследователей, настало время промышленного освоения мелких месторождений меди с «бедными» рудами (содержание меди—0,3—0,6%) [3, 9]. Другие усматривают основное препятствие рационального использования сырья в «завышенных кондициях», считая, что стоит

снизить волевым порядком требования к лимитам на качество руд (мичимальному промышленному и бортовому содержаниям), как все проблемы будут чуть ли не «автоматически» решены [1].

Такое мнение ооновано на недостаточном учете причин и следствий. Необходимо напомнить, что сами понятия «промышленное месторождение» и «балансовые руды» есть не только геологические, но и, прежде всего, экономические категории. К балансовым относятся те запасы, отработка которых при достигнутом уровие производства рентабельна. Промышленная значимость месторождений и руд, а также возможность их использования в предстоящие 5—10 лет, определяются по технико-экономическим соображениям. Параметры же кондиций являются лишь следствием такой оценки для каждого конкретного объекта. Здесь следует указать, что часто применяемый термин «бедные руды» иногда затушевывает сущность вопроса—теряется экономический омысл. Нужно всегда помнить, что при одном и том же содержании компонентов на разных объектах и в разное время руды могут иметь промышленное значение или относиться к забалансовым

Общие закономерности изменения технико-экономических показателей эксплуатации месторождений в зависимости от их масштабов и систем отработки, морфогенетического типа, состава руд и др. изучены достаточно хорошо. Это позволяет определить граничные параметры для оценки промышленной значимости объектов по общим усредненным показателям—так называемые «оценочные» или «браковочные» кондиции [10].

Применяются они обычно на ранних стадиях геологоразведочных работ, когда полученная информация недостаточна для конкретных технико-экономических расчетов. Вместе с тем такие параметры полезны для укрупненных геолого-экономических оценок: например, при решении вопроса о целесообразности ревизии месторождений, отнесенных ранее в группу «не намечаемых к освоению».

Для медных (включая медно-молибденовые) и свинцово-цинковых месторождений Кавказа такие параметры разработаны [8]. Обращаясь к отмеченной работе, можно, например, заметить, что медные месторождения жильного типа, содержащие 1,3% условного компонента (медь и сопутствующие), представляют промышлений интерес лишь при запазах руды не менес 17—18 млн. т. На месторождениях прожилково-вкрапленных руд, отработка которых предполагается подземным опособом, среднее содержание должно составлять не менее 1,1% при запасах руды 17—18 млн. т. а при запасах 6—7 млн. т. —более 1,6%. Если возможна открытая добыча штокворковых руд, то требование к среднему содержанию условной меди снижается до 1% при запасах 4 млн. т и до 0,85% при запасах руды около 10 млн. т. Промышленное значение при содержа-

Оценочные кондиции рассчитываются на предстоящие 5—10 лет, после чего они должны быть пересмотрены.

нии условной меди 0,5% могут иметь месторождения с запасами более 100 млн. т. руды.

Следует подчеркнуть, что указанные цифры отражают лишь «браковочный» уровень праничных параметров, не предусматривающий никакой прибыли, т. е. рассчитанный при условии нулевой рентабельности. Естественно, что необходимость достижения определенных нормативов эффективности капитальных вложений обуславливает значительно более «жесткие» требования, т. е. более высокие средние содержания в рудах промышленных месторождений.

В свете изложенного очевидно, что в ближайшей перспективе как мелкие месторождения Северной Армении (Спасакар, Агви, Анкадзор и др.), так и гипотетические запасы «убогих» руд Кафана при достигнутом уровне рассматриваемой отрасли не могут быть вовлечены в эксплуатацию без значительного экономического ущерба. Запасы первых представляют интерес только для весьма отдаленного будущего. Ставить, а тем более серьезно рассматривать вопрос об их промышленном оовоении в настоящее время бессмысленно.

Необоснованным является заявление о необходимости составления новых кондиций на руды Кафанского месторождения. Простейшие расчеты показывают, что утвержденные в 1969 г. кондиции не только не «завышены», но и очень льготны. Они были рассчиталы исходя из проектных технико-экономических показателей предприятия, которые не достигнуты и вряд ли будут достигнуты. Отрабатывая балансовые запасы по утвержденным кондициям, предприятие тем не менее работает убыточно.

Ясно, что предлагаемое онижение промминимума в настоящее время инчем не обосновано. Непонятны также утверждения, что «следует совместить или довести до минимума разницу между промминимумом и бортовым содержанием», а также «рассмотреть варианты перехода к сплошьой выемке руд по борту 0,5—0,7% меди [1, стр. 45].

Согласно действующим инструктивным положениям геолого-экономическая оценка (переоценка) может производиться только на базе разведанных запасов, при этом на месторождениях меди учитываются запасы категорий B+C<sub>1</sub> [4, § 17].

Разведанные запасы забалансовых руд всех категорий на Кафанском месторождении не достигают и 0,5 млн. г. Действительное качество и количество потерь в недрах Кафана, оцениваемых в десятки миллионов тонн (!), никому, к сожалению, не известно. Это чисто субъективное миение, которое не становится аргументированнее от упверждений, что «они автоматически переходят в категорию балансовых руд» и, поскольку «они имеют различную степень разведанности, псосредоточены в блоках, отдаленных друг от друга и разбросанных по отдельным жилам и горизонтам..., дислокация запасов требует детального их изучения» [1, спр. 46].

Ясно, что разговоры о необходимости пересоставления кондиции на Кафанском месторождении в настоящее время беспредметны.

Мы сознательно заостряем поломику, так как подобные выоказыбания не только вводят в заблуждение общественчое мнение, но и отвлекают внимание от решения действительно назревших вопросов.

«Бедные» руды, которые в настоящее время и в ближайшей перспективе могут быть вовлечены в эксплуатацию с соблюдением всех требований экономики, на месторождениях Армении действительно существуют. Это—руды Каджарана, на базе которого создано и имеет все условия дальнейшего развития производство вполне современного уровня. Запасы месторождения подсчитаны согласно кондициям, установленным еще в 1959 г. Ими же руководствуются при отбраковке руд в процессе эксплуатации. За прошедшие два десятилетия все тохнико-экономические показатели производства, естественно, изменились: непрерывно снижались эксплуатационные затраты на добычу и переработку 1 т руды, повышалось извлечение меди и молибдена. Это позволило снижать требования к качеству перерабатываемых руд [7]. Однако кондиции за весь указанный период оставались неизменными.

К настоящему вромени сложилось весьма странное положение: на Каджаранском месторождении относятся к забаланоовым и выбрасываются в общие отвалы (где они разубоживаются и безвозвратно теряются) руды почти такого качества, жакие рентабельно перерабатываются на соседнем Агаракском месторождении (содсржание условной меди в них составляет 0,7—1%). В результате за годы эксплуатации в отвалах Каджарана потеряно больше руды, молибдена и меди, чем добыто на Агаракском месторождении за это же время.

Нельзя сказать, что этому вопросу внимания не уделялось. Более того, проблеме рационального использования руд Каджарана посвящены многие исследования Армнипроцветмета. Существуют проектные решения. Наконец, в 1977 г. ГКЗ СССР утвердила новые кондиции на руды месторождения, разработанные оовместно Армнипроцветметом и Кавказской лабораторией ВИЭМСа.

Согласно новым кондициям, минимальное промышленное и бортовое содержания снижены почти на 30%. Это позволяет отнести к батаноовым и вовлечь в переработку очень большое количество запаюов, что, по определению ГКЗ СССР, разносильно освоению нового, достаточно крупного месторождения без затрат времени и оредств на его разведку. Масштабы этих запасов не соизмеримы с суммарным количеством «бедных» руд, судьбой которых столь озабочены некоторые исследователи. Важно подчеркнуть, что руды Каджарана, о которых идет речь, неизбежно добываются -- в качестве вскрыши. Для их раздельного складирования и хранения, хотя бы на неопределенное время, нет технических условий. Существует альтернатива: либо использовать их сегодия, либо потерять безвозвратно. Казалось бы, решение изпрашивается само собой немедленно прекратить расточительное отношение к невозобновляемым сырыевым ресурсам. К оожалению, однако, реализация этого решения недопустимо затягивается Вопрос связывается с генеральным пересчетом запасов, после чего должен быть окончательно запроектирован

«Большой Каджаран». Однако технико экономическими расчетами показано, что лимиты на качество руд должны быть снижены вне зависимости от планов дальнейшего реэкого расширения производства, так как повые кондиции отвечают фактически достигнутым техникоэкономическим показателям предприятия.

Для сохранения существующего уровня выпуска продукции и валовой прибыли необходимо лишь некоторое увеличение производственных мощностей по переработке руд (10—15%), что потребует сравнительно небольших капитальных вложений. Срок окупаемости последних не превысит 3—4 года.

В заключение необходимо указать, что даже самые обоснованные кондиции не обеспечат рационального использования сырьевых ресурсов, если не соблюдаются два важных условия: а) правильное планирование сроднего оостава добываюмой шихты; б) применение параметров кондиций, прежде всего лимитов качества руд, в соответствии с их омысловым значением. Первое условие требует, чтобы планируемые содержания металлов в погашаемых рудах соответствовали (с некоторыми неизбежными колебаниями в отдельные периоды) среднему качеству утвержденных запасов. Нарушение этого принципа, как показывает опыт эксплуатации Каджаранокого и других месторождений Армянской ССР, является одной из причин выборочной отработки недр.

К таким же последствиям приводит неправильное использование минимального промышленного и бортового лимитов в процессе эксплуатационной разведки и добычи руд. Нами рансе указывалось, что единственным критерием для отбраковки руд (в контуре утвержденных балансовых запасов) на этой стадии должно служить установленное бортовое оодержание [11].

Такой подход для Каджаранского месторождения признан ГКЗ СССР совершенно справедливым и рекомендован к практическому применению. На наш взгляд, этот принции может и должен быть распространен на все эксплуатируемые месторождения. На самом Каджаранском месторождении это позволит исключить совершению необоснованиую отбраковку руд с содержанием условного компонента выше бортового, что, к сожалению, вплоть до настоящего времены практикуется как при проектировании, так и при эксплуатации.

### Выводы

- 1. Тенденция к вовлечению в эксплуатацию руд с относительно низкими содержаниями компонентов очевидна и вполне оправдана. Однако в каждом жонкретном случае вопрос должен решаться на основе технико-экономических расчетов, а не по отвлеченным субъективным соображениям.
- 2. Промышленное освоение мелких месторождений меди с убогими рудами, а также поресмотр кондиций на Кафанском месторождении в настоящее время не обоснованы экономически. Вместе с тем эти меро-

приятия, вопреми утверждению некоторых исследователей, не внесут ощутимых изменений в сырьевой баланс меднорудной промышленности

республики.

3. Первоочередной задачей является промышленное использование всех запасов Каджаранского месторождения, которые, согласно утвержденным ГКЗ СССР новым кондициям, являются балансовыми. Решение этого вопроса не следует связывать с разработкой проекта расширения комбината на полную мощность.

4. Масштабы допускаемых в настоящее время неоправданных потерь руды и металлов на Каджаранском месторождении необизмеримы с предполагаемыми запасами «бедных» руд на других месторождениях Армении.

Именно этот факт должен стоять в центре внимания научной общест-

венности и планирующих органов республики.

Кавказская лаборатория ВИЭМСа

Поступила 14.V.1980.

Գ. Հ. ՇԵԽՅԱՆ, Կ. Մ. ՄԱՐՏԻԿՅԱՆ, Հ. Ս. ՀԱՄԱԶԱՍՊՅԱՆ

# ՀԱՅԱՍՏԱՆԻ ԳՈՒՆԱՎՈՐ ՄԵՏԱՂՆԵՐԻ ՀԱՆՔԱՆՅՈՒԹԵՐԻ ԱՐԴՅՈՒՆԱՎԵՏ ՕԳՏԱԳՈՐԾՄԱՆ ՄԱՍԻՆ

## Udhnhaid

Հայաստանի գունավոր մետալուրդիայի հումքային բազայի զարգացումը համաշխարհային հանրահայտ տենդենցի համաձայն մեզ սյարտավորեցնում է մշակման մեջ ներգրավել ավելի ու ավելի ցածր որակի հանքանյութերը։ Մակայն առանձին հանքավայրերի արդյունաբերական իրացման նպատակա-հարմարության կամ շահագործվող հանքավայրերի կոնդիցիաների վերա-նայման առաջարկն անհրաժեշտ է հիմնավորել կոնկրետ տեխնիկատնտեսա-կան հաշվարկներով։

ներկայումս առավել հրատապ խնդիր է Քաջարանի հանքավայրի հումքի արդյունավետ օգտագործման հարցը։ Դեռևս 19?7 թ. հաստատված նոր կոն-դիցիաները թույլ են տալիս բալանսային համարել հանքանյութի զգալի պաշարների պետական հանձնաժողովի գնահատման համաձայն դա համազոր է նոր, բավական խոշոր հանքավայրի հայտնաբեր-մանը։ Սակայն արդյունաբերական գնահատական ստացած այդ պաշարները չեն օգտագործվում և անվերադարձ կորչում են։ Հարկ է նշել, որ այդ որակի հանքականում են հարևան, Ագարակի հանքա-վայրում։

Հաշվարկները ցույց են տալիս, որ նշված հանքանյուների արդյունարերական շահադործման համար կան բոլոր պայմանները։

գողովրդական տնտեսության համար կարևորագույն այս հարցի լուծման ձգձգումն անթույլատրելի է։ Այն չպետք է կապել հանրավայրի ընդհանուր հետո

# ON THE PROBLEM OF NON-FERROUS METALS RATIONAL UTILIZATION IN ARMENIA

#### Abstract

The development of non-ferrous metallurgy in Armenia has similar to conventional world tendency to draw in utilization more and more poor ores. At the same time the problem of individual ore deposits industrial exploitation expediency and that of exploited ones standards revision must be solved on the basis of concrete technical-economical calculations.

At present the most actual problem is the Kadjaran ore deposit source of raw materials rational utilization. According to established standards as early as 1977 a great amount of ore is attributed to balance reserves which is equivalent to the discovery of a large enough ore deposit without exploration expences.

However, these ores are removed to spoil banks and get unreturnly jost. The solution of this problem must be brought to a point quicker and is not to be connected with the reserves general recalculation as well as with the concentrating mill expension.

#### ЛИТЕРАТУРА

- 1. Адибекян А Х., Алоян П Г. и др. Структурные особенности Кафанского рудного поля и перспективы расширения сырьевой базы. «Промышленность Армении». № 1, 1980
- 2. Быховер Н. А. Геолого-экономические основы прогноза минеральных ресурсов «Недра», М., 1978
- 3. Вартапетян Б. С. Промышленное освоение бедных медных руд Армении. «Промышленность Армении». № 11, 1976.
- 4. Инструкция о содержании и порядке представления на утверждение в Государственную комиссию по запасам полезных ископаемых СМ СССР технико-экономических обоснований кондиций для полечета запасов полезных ископаемых «Недра», М., 1976.
- 5. Козловский Е. А Минерально-сырьевая база и фактор времени «Советская геоло-гия», № 3, 1979.
- 6. Магакьян И. Г. Богатство недр Советской Армении (на арм. яз.). «Ленинян угнов», № 1. 1971
- 7. Мовсесян С. А. К вопросу о промышленных кондициях на рудоминеральное сырье (на арм. яз.). «Нар. хоз. Арм.», № 11, 1969.
- 8. Методические рекомендации по оценке медных и свинцово-цинковых месторождений Кавказа на стадии поисконых работ. Сост. Мовсесян С. А., Срапнонян М. Г. Шехян Г. Г., Амазаспян Г. С., ВИЭМС, М., 1979.
- 9. Теряев А. С. Перспективы разработки бедных руд Шамлугского месторождения «Промышленность Армении», № 2, 1977.
- 10. Хрущов Н. А. Основные принципы разработки оценочных (браковочных) кондиции для рудных месторождении на стадиях поисковых и поисково-разведочных работ. «Сов. геол.», № 6, 1969
- 11. Шехян Г. Г., Амазаспяч Г. С. Применение некоторых показателей кондиций при эксплуатационной разведке «Научи. сообщ. Арминпроцветмета», вып. 1, 1972

УДК 552.32:551.76

#### м. А. САТИАН

## ОФИОЛИТОКЛАСТЫ В ЭВОЛЮЦИИ ОФИОЛИТОВЫХ ПРОГИБОВ МЕЗОТЕТИСА

Рассмотрены вопросы состава, строення и размещения продуктов разрушения пород офиолитовой ассоциации области Средиземноморья и Передней Азии в связи со стадийностью развития офиолитовых прогибов этих регионов в мезозойское время.

Условия возникновения офиолитокластов—продуктов разрушения пород, составляющих офиолитовую ассоциацию,—представляют значительный интерес для познания эволюции офиолитовых пропибов, а также для литологических задач классификации обломочных отложений. При этом несомненно, что вопросы эти остаются в целом слабо изученными, хотя в отдельных регионах развития фиолитовой ассоциации достигнут очевидный прогресс. Передняя Азия, центральное и восточное Средиземноморье представляют наиболее благоприятные объекты для подобных специализированных исследований в силу структурного разнообразия и разновозрастности офиолитовой ассоциации и оравнительно высокого уровня региональной изученности офиолитовых зон и их обрамления.

Исследования, особенно последнего десятилетия, показали, что состав и строение офиолитовой ассоциации могут варьировать в определенных пределах. Одни зоны представлены типичными для офиолитовой ассоциации породами: гипорбазитами, габбро, юпилитами, радиоляритами. В других зонах в составе продуктов вулканизма и осадконакопления имеются признаки отклонения от «образцового» набора пород: появление щелочных и известково-щелочных вулканитов, мелководных осадков и т. д.—вопросу этому в последнее время уделяется все большее внимание [8, 10, 30, 31].

Очевидно вместе с тем многообразие палеотектонической и палео-гоографической обстановки накопления этой широкой ассоциации пород—и магматических, и осадочных, и промежуточных. При обсуждении мы будем исходить из схемы (10), краткий смысл которой состоит в принципиальном различии строения офиолитовой ассоциации областч Средиземноморья сравнительно с Передней Азией. Выясняется, что в пентральном и отчасти восточном Средиземноморье, в средней-поздней юре были заложены глубоководные офиолитовые прогибы с пологими склонами, вместившие крупные поля новообразованной океанической коры; на гипербазитах залегают базальты, а еще выше—силициты. Эту разновидность офиолитовой ассоциации предлагается именовать «обособленной» [10], поскольку имеет место обособление по разрезу главных типов пород «триады Штейнманна».

На Малом Кавказе и в других частях Передней Азии офислитовые прогибы имели ультражотловинную морфологию. Образовались они главным образом в альб-раннесенонское время и вместили «смешанную» офиолитовую ассоциацию: чередование вулканитов (и толеитов, и щелочных базальтондов, а также кератофиров в верхней секции) с радиоляритами и микритовыми известняками, реже алевролитами, песчаниками и т. д. [10], а также протрузии серпентинизированных гипербазитов.

Офиолитокласты—это петрокластические породы, состав которых варьирует от жвазимономиктового до полимиктового [8]. Квазимономиктовые офиолитокласты (серпентинитокласты, габброкласты и др.) ныне выявлены почти во всех известных офиолитовых поясах мира

Итак, ракомотрим историю накопления офиолитокластов в отдельные ктадии развития офиолитовых прогибов.

1. Офиолитокласты офиолитовой стадии. Офнолнтокласты достаточно хорошо ныне изучены в Лигурии—северные Апеннины [15, 22, 24, 27] Здесь выделяются их несколько горизонтов: это офикальциты (которые по происхождению итальянскими геологами связываются с разрушением поверхности выходов пипербазитов и захоронением вблизи места размыва), включающие немало седиментационных даек с обломками серпентинитов; это габбровая брекчия, залегающая непосредственно над габбро (район Боннасола) с пачками офиолитокластических песчаников и фтанитов. Известны примеры сложного переслаивания серпентинитовой брекчин, паббро, габбровой брекчин и вновь серпенлинитовой брекчин, с пачками офиолитокластических песчаников и алевролитов (долина Гравилья и район Баргонаско). Пачки габбро-диабазовой брекчий известны и ореди массивных базальтов, выше которых следуют пиллоу-базальты (район Монте-Россола). Габбровая брекчия и песчаники того же состава известны в разрезе группы Вольтри. Маломощные пачки габброкластических песчаников иногда определяются в нижней части разреза свиты силицитов Лигурии. Габбро-серпентинитокластические песчаники известны в овите оплицитов в Пьемонте. Среди силицитов отмечаются довольно крупные олистолиты випербазитов и габбро [21, 23]. Серпентинитокласты выявлены в осадочной части разреза офиолитовой серни Динаро-Эллинид, в районе массива Златибор [20] и др. Вулкано-обломочные офиолитокласты встречаются реже. В Лигурии это т. н. брекчии Монте Россола, состоящие главным образом из обломков гналокластов н фрагментов пиллоу. Слагают они линзы в массивных толентах, а также пачку в основании пиллоу-лав, оодержащих редкие линзы радиоляритов [27]. В лигурийском и сходных с ним типах разрезов, т. е. в разрезах «обособленного» типа офиолитокласты, как видно, парагенетически сонаходятся с габбро, вулканитами, нередко и с кремнистокарбонатными отложениями осадочной части офнолитового сообщества (таковы офиолитокласты Пьемонта, зоны Мирдита, центрального офиолитового пояса Югославии). Наибольшие мощности (нобъемы), как видно, имеют габбро-серпентинитокластические накопления, сравнительно меньшие — вулкано-обломочные и полимиктовые разности офиолитокластов.

В Передней Азии квазимономиктовые офиолитокластические отложения были выявлены уже давно [1], притом вокруг и очень крупных, и мельих выходов серпентинизированных ультрабазитов Северо-Анатолийского офиолитового пояса [1, 16, 29, 36]. Вулкано-обломочные разности офиолитокластов имеют достаточно заметное развитие в Вединской офиолитовой зоне [9].

Офиолитокласты офиолитовых зон Малого Кавказа и смежных зон Передней Азии, как видно, образуют устойчивый парагенез с вулканитами офиолитовой серии, причем среди офиолитокластов обычны вулканообломочные и полимиктовые разнести (включающие обломки силицитов и в подчиченном количестве— габбро и серпентинитов). Гораздо реже офиолитокласты встречаются среди пачек силицитов.

2. Офиолитокласты постофиолитовой стадии.

На общем фоне компрессии офиолитовых прогибов офиолитокласты образовались либо при размыве и развалах новообразованных внутренних поднятий (в прогибах малекавказского типа), либо при размыве и развалах офиолитовых покровов, шарынрованных на континентальное обрамление (в офиолитовых прогибах апеннинского типа).

В зонах аллохтонного залегания офиолитов, в Средиземноморье преобладают полимиктовые офиолитокласты, но нередки и квазимономиктовые образования (Эмилианские Апеннины, Тоскана). Олистостромово-олистролитовые накопления этого региона латерально сменяются флишем, включающим примесь офиолитокластов. Возраст этих отложений варьирует от конца раннего мела до палеогена включительно [15, 18].

В переднеазнатском регионе преобладают офиолитокласты полимиктового состава, включающие обломки и вулканитов, и силицитов, аббро и серпентинитов. Так, включающая офиолитокласты раннесенонская граувакковая формация Малого Кавказа содержит горизонты офиолитокластических конгломератов, в которых, помимо обломков пород «триады Штейнманна», определяются также обломки щелочных базальтоидов, трахиаидезитов, андезитов, кератофиров пород, не особенно характерных для т. н. типичной офиолитовой ассоциации [8]. Офиолитокластические накопления: конгломераты, песчаники, алевролиты имеют преимущественно карбонатный цемент, содержат многочисленные остатки гастропод, пелеципод, кораллов-обитателей мелководного бассейна.

Пожалуй, наиболее подробно серпентинитокласты изучены в Акеринском сегменте Севанского офиолитового пояса [5]; ранее они были обнаружены на Севанском [3, 7, 8], а недавно и на Ширакском хребтах. В Сарыбабинском синклинории серпентинитокласты нередко имеют градационную слоистость и включают олистолиты серпентинитов. В этих же отложениях местами встречаются пачки красных бирбиритокластов (с. с. Ипяк, Ардашеви и др.), а также габброкластов.

### 3. Обсуждение.

Подъем к поверхности дна мантийного вещества и его размыв наиболее убедительно объясняются мантийным диапиризмом и возникновением срединного поднятия. Хотя эта актуэлистическая схема не полностью приложима к палеогеографии всех офиолитовых палеопрогибов—различаются эти структуры по рангу и времени формирования, тем не менее схема ограниченного раздвига континентальной коры допускает возможность возникновения зачаточного срединного поднятия. Вероятно, что в области Средиземноморья срединное поднятие, или песколько таких поднятий, примыкавших к осевой зоне раздвига, были крупнее и протяженнее, чем в регионе Передней Азии. Соответственно, именно в области Средиземноморья в офиолитовую стадию накопились наиболее значительные объемы серпентинито-габброкластов.

Поскольку в северных Апсининах и Альпах признаки протрузивното проникновения серпентинитов в вышележащие метабазальты и силициты не наблюдаются—контакты между ними стратиграфические, то возникает вопрос о времени мантийного диапиризма и способе вовлечения мантийного вещества в размыв.

Наиболее приемлема схема раннего мантийного диапиризма, до излияния базальтов. Поля обнажившихся гипербазитов, в разной мере серпентинизированных, были перекрыты горизонтом офикальцитов<sup>1</sup>, последовавшие подводные излияния толентовых базальтов перекрыди гипербазиты, а накопившиеся после завершения вулканизма силициты (радиоляриты) еще более сгладили неровности подводного рельефа, причем признаки градационной слоистости говорят о сносе кремнистых нлов в виде турбидитовых потоков; очевидио, главные массы их оказались сосредоточены в прилегающих к поднятиям впадинах [25, 32] Заложение поперечных разломов, взламывание всего комплекса и его основания привело к вскрытию наиболее шижних компонентов офиолитовой секции [22, 24]. В созданной клавнатурс блоков габбро-гипербазиты слагали лищь их основание и возможность подъема в офиолитовую стадию гипербазитов над уровнем моря [28] нам представляется мало вероятной. Такая ситуация могла сложиться лишь в постофиолитовую стадию на ранней фазе возникновения эфиолитовых покровов. Конечно, детали палеогеографии офиолитовых прогибов, особенно зоны Средиземноморья, остаются во многом проблематичными-офиолитовая ассоциация залегает с явно выраженными признаками покровных масс.

Не менее споров вызывает и структурное положение офиолитов Малого Кавказа [7, 12], однако в последнее время для этого региона получено немало данных, которые могут быть расценены скорее, как признаки автохтонного или параавтохтонного размещения офиолитов [4, 8]. В предлагаемой схеме палеогеографии узких троговидных офиолитовых прогибов осевая их часть является наиболее глубоководной.

<sup>1</sup> А. Л. Кништер полагает, что брекчии имеют тектопическое происхождение и волникли во время горизонтального рассланвания литосферы по кровле меланократового фундамента и др уровиям («Геотектоника», № 2, 1978).

Однако не исключено возникновение в ее пределах поднятия, недостаточно развитого и прерывистого (современным гомологом с известной степенью условности, может быть названо осевое поднятие рифта Красного моря). Что касается возможности воссоздания в палеогеографической схеме крупных срединных хребтов, то такие попытки сталкиваются с проблемой ограниченного пространства. Имеющиеся данные указывают на преимущественное размещение серпентинитокластических накоплений в средней-верхней секции разреза офиолитовой серии Малого Кавказа, Подъем серпентинизированных гипербазитов на уровень дна бассейна в первом приближении коррелируется с концом главной, а затем одной из последних фаз ограниченного растяжения офиолитовых прогибов, в основном уже выполненных офиолитовой ассоциацией и существенно обмелевших. Причем вывод к поверхности и вовлечение в размыв серпентинитов обязаны процессу протрузивному: серпентиниты сскут стратифицированные породы кремнисто-вулканогенной формации, слежно сочетаются с карбонатными и кремнистыми осадками (офикальциты и др.).

Происхождение офиолитокластов теснейшим образом связано с механическими свойствами серпентинизированных масс, отличающихся сильной разлинзованностью, обилием внутренних плоскостей скольжений, генерализованной ориентированностью чешуй серпентина и др.

По расчетам А. Т. Асланяна (устное сообщение), поскольку по экспериментальным данным прочность серпентинитов на сдвиг колеблется в широких пределах—от 1 кг/см² для сильно тектонизированных разностей до 10 кг/см²—для массивных монолитных блоков; плотность их колеблется в пределах 2—2,5 г/см³, а коэффициент Пуассона—в пределах 0,35—0,45, то по законам механики цилиндрический горный массив будет устойчив, если высота его меньше величины

$$H = \frac{1-n}{1-2n} \cdot \frac{S}{d},$$

где n—коэффициент Пуассона, S—прочность, d—плотность массива. Полагая n=0.4, S=25  $\kappa e/c M^2$ ,  $d=2.5\cdot 10^{-3}$   $\kappa e/c M^3$ , получаем H=300 м, т. е. серпентинитовая гора высотой более 300 м при указанных показателях под собственной тяжестью разрушится и перейдет в оли-толитовый хаос.

Батиметрия накопления офиолитокластов варьирует заметно. В прогибах апеннинского типа они тяготели либо к поднятиям—диапирам мантии, т. е. это не столь уж большие глубины (порядка 1—2 км).

Петрохимическое сходство некоторых вулканитов поздней юры-раннего мела с булканитами среднино-океанических хребтов современных океанов [6] характеризует лишь часть офиолитового разреза, притом наимскее отчетливо обособленную в регионе (на юго-востоке Севанской офиолитовой зоны), кроме того не исключена возможность конвергенции петрохимических признаков при воссоздании моделей на основе актуалистических схем окраин континентов. Это обстоятельство не должно упускаться из виду.

либо к примыкавшим впадинам, где они слоились с глубоководными радиоляритами. Они накапливались и в мелководных бассейнах совместно с глинисто-песчаными отложениями (Златибор и др.). Глубоководные радиоляриты с олистолитами офиолитов латерально сменяются менее глубоководными известняковыми отложениями. К таковым могут быть отнесены блестящие сланцы Пьемонта; менее глубоководные отложения определяются и в Луканских Апеннинах, и Калабрии [30], таковы же, вероятно, горизонты известняковой брекчии и известняков Субпелагонийской зоны Динаро Эллинид. При этом по латерали в составе офиолитокластов происходит нарастание терригенной (контичентально-коровой) примеси, что достаточно очевидно в Средиземноморье в восточных Альпах, в яшмово-диабазовой формации Динарид, в Луканских Апеннинах [23, 35, 14, 30].

В Передней Азии офиолитовые ассоциации довольно резко оменяются флишоидными калькаренитовыми и сланцевокластическими накоплениями На Малом Кавказе, в Анатолии, по периферни Лутского массива (Лутское кольцо) эти зоны перехода к мелководью рассмотрены с разной подробностью [8, 29, 37].

При компрессии офиолитовых прогибов Средиземноморья и «выплескивании» офиолитовых покровов на континентальное обрамление офиолитокласты образуются перед фронтом покровов и маркируют направление их перемещения. Начиная с копца раннего мела, перемещение покровов происходило неоднократно, включая также позднекайнозойский этап формирования Средиземноморской впадины. Можно думать, что перемещения офиолитовых покровов в области Средиземноморья происходили в разных направлениях и с разной амплитудой [11, 17, 23, 26, 27, 34], при этом внутреннее строение некоторых из них (Загрос, Оман, северные Апенничы) тектонизировано слабо и, вероятисе всего, это были гравитационные покролы, возникшие после формирования крупных внутренних офиолитовых поднятий [13]. Сложные чакеты покровных пластин, включающие офиолиты, испытывают на этапе накопления надофиолитового «чехла» неоднократные перемещеаня и усложнения внутренней структуры Все это создает чрезвычайно запутанную последовательность возникновения и отмирания питающих провинций.

Размыв сложных пакетов офиолитовых покровов не всегда приводил к накоплению полимиктовых отложений. Имеются примеры возникновения в постофиолитовую стадию и квазимономиктовых офиолитокластов. Благоприятная для их накопления обстановка могла сложиться по ряду причии. Здесь приходится допустить, что в размыв вначале вовлекались краевые части офиолитовой серии, лишенные глубоководных силицитов и представленные преимущественно базальтами, при подчиненном количестве гипербазитов примером в северных Апенинах являются офиолитовые пластины басс. р. Таро [38]. Но можно думать, что при покровообразовании срабатывал и более общий

механизм срыва фрагментов опрокинутых складок офнолитовой серии В этом случае верхней бронирующей от размыва оказывалась гипербазитовая пластина. Такие структурные соотношения известны в Лигурии, Загросе и Омане [27, 26, 13].

Нтак, в постофиолитовую стадию, как видно, формируются наибольшие объемы офиолитокластических образований. Условия их накопления мелководные, в составе явно возрастает полимиктовость и примесь континентально-корового терригенного материала, расширяются парагенезы офиолитокластов с другими осадочными породами, теряется очевидная связь---пространственная и парагенетическая, с разломной тектоникой – зонами корней офиолитов и т. д.

Рассмотренный материал приводит к выводу о том, что объемы офиолитокластов, особенности их компонентного состава, пространственное соотношение с питающими провинциями находятся в зависимости от типа офиолитовых прогибов, стадин их развития.

Добавим, что офиотитокласты представляют исключительный интерес в качестве прямых поисковых признаков «слепых» офиолитовых зон—особению это касается переднеазиатского сектора, где офиолитокласты пространственно совмещены или не особенно разобщены от корней офиолитов. Офиолитокласты в ряде случаев могут быть полезными ископаемыми (поделочный материал, источники никеля, кремнезема, магния, материал дорожных покрытий и т. д.), они нередко вмещают марганцевые и медные руды, а также, вероятно, представляют интерес для поисков обломочного алмаза, его находки на Малом Кавказе в гипербазитах ныне пацеливают на поиски россыпей. Наконец, немаловажна роль офиолитокластов в метаморфизме химичеокого состава погребенных и фильтрующихся сквозь них годземных вод (увеличение Mg), в метасоматозе вмещающих пород и т. д. Все это указывает на необходимость дальнейшей систематизации этих своеобразных обломочных накоплений.

Институт геологических наук АН Армянской ССР

Поступила 3.1Х.1980.

#### U. U. UUPBUL

# ՕԼԻՈԼԻՏՈԿԼԱՍՏՆԵՐԸ ՄԵԶՈԹԵՏԻՍԻ ՕՖԻՈԼԻՏԱՅԻՆ ՃԿՎԱԾՔՆԵՐԻ ԷՎՈԼՅՈՒՑԻԱՅՈՒՄ

## Udhaynıd

Օֆիոլիտոկլաստներն իրենց կազմով, ընդհանուր ծավալով և կտրվածքում դրաված տեղով, կապված են օֆիոլիտային ճկվածքների տիպերի և նրանց զարգացման էտապների հետ։

#### M. A. SATIAN

# THE OPHIOLITOCLASTS IN THE MESOTHETIS OPHIOLITIC TROUGHS EVOLUTION

#### Abstract

The problems of Mediterranean region and West Asia ophiolitic association rocks destruction products composition, structure and distribution are considered in connection with these regions ophiolitic troughs development stages in Mesozoic.

#### ЛИТЕРАТУРА

- 1. Абих Г. Геологня Армянского нагорья. Зап. часть. Орографическое и геологическое описание. «Зап. Кавк. отд. русск. географ. общ », кн. XXI, 1899.
- 2. Адамия Ш. А., Шавишвили И. Д. Модель тектонической эволюции земной коры Кавказа и сопредельных территорий (доальпийский этап) «Геотектоника», № 1, 1979.
- 3, *Арутюнян Г. С.* О гипербазитовых конгломератах северо-восточного побережья оз. Севан. «Мат. II конф. молод. научн. раб.», Изд. АН Арм. ССР, Ереван, 1969.
- 4. Асланян А. Т. Сатиан М. А. К геологической характеристике офнолитовых поясов Закавказья. Известия АН Арм. ССР, Науки о Земле, № 4—5, 1977.
- 5. Градусов Б. П., Григорьев В. Н., Соколов С. Д. Обломочные серпентинитовые отложения в юго-восточной части Севано-Акеринской зоны Малого Кавказа «Лятол. и полези. ископ.», № 5, 1975.
- 6. Закариадзе Г С., Книппер А. Л., Лордкипанидзе М. Б. Опыт корреляции мезозойского вулканизма офиолитового пояса Малого Кавказа и зон его обрамления (геодинамические аспекты) В тез. докл. П семинара по геодинамике Кавказа Тбилиси, 1980
- 7. Книппер А. Л. Океаническая кора в структуре Альпийской складчатой области юга Европы, зап. части Азии и Кубы. «Наука». М., 1975.
- 8. Сатиан М. Л. Позднемеловой литогенез офиолитовых зон Армянской ССР (Малый Кавказ). Изд. АН Арм. ССР, Ереван, 1979
- 9. Сатпан М. А., Степанян Ж. О. Кремнисто-пулканогенная формация (верхний турон (?)—нижний коньяк). В кн. «Геология Армянской ССР», т. V. Изд. АН Арм. ССР, Ереван, 1974.
- 10. Сатиан М. Л О соотношении осадочных и вулканогенных пород в разрезе офнолитовой ассоциации (ча примере Передней Азин и прилегающих районов Средиземноморья). Известия АН Арм. ССР, Науки о Земле, № 4, 1979.
- 11. Смит Л. Д., Мурс Э. М. Эллиниды. В кн.: «Мезозойско-кайнозойские складчатые пояса», т. 1, «Мир», М., 1977.
- 12. Соколов С. Д. Олистостромовые толщи и эфиолитовые покровы Малого Кавказа, «Наука», М., 1977.
- 13. Штеклин И. Континентальная окраниа в Иране. В кн.: «Геология континентальных окраин», т. 3, «Мир», 1979.
- 14. Чирич Б. М. Развитие Динарид в альпийском цикле. «Геотектоника», № 6, 1967.
- 15. Abbute E., Bortolotti V., Passerini P. Olistostromes and olistoliths. "Sedim. Geo-logy", v. 4, 1970, 34, Spec. Issue.

16. Attinti J. E. Explanatory text of the geological map of Turkey. Erzurum, Ankara. 1963.

17. Aubouin J., Bonneau M., Davidson J., Leboulenger P., Matesco S., Zumbetakis A., Esguisse structurale de l'Arc egeen externe: des Dinarides aux Taurides. Bull Soc. geol. France 1976, v. 18, 2.

18. Beccaluva L., Emiliani F., Venturelli G., Zerbi M. Ca, Fe, Mg, Mr, Cr, Ni, Co, distribution ultramatic rocks outcropping in the northern Apennines with some geological remarks "L'Ateneo Parmense" Acta Naturalia, v. IX, Fasc. 1, 1973.

- 19. Bernoulli D., Jenkuns H. Alpine, Mediterranean and central Atlantic mesozoic lacies in relation to the early evolution of the Tethys. In: "Modern and ancient sedimentation", Society Econom. Paleont. Min. Spec. Publ., 1974, 19.
- 20. Rortolotti V., Ficcarelli G., Manetti P., Passerini P., Pirini C., Torre D. Studies of mafic and ultramafic rocks. I. A Jurassic sequence on top of the Zlatibor ultramatic Massif (Yugoslavia). .Boll. Soc. Geol. Ital.\*, 1971, 90.
- 21. Bourbon M., Craciansky de P., Lemoine M., Mecard-Galli J., Mercier D. Platform carbonates and pelagic condenced sequences Mesozoic of the Brianconnais zone (France Alps). Excursion 5, IX Congres Intern. Sediment., Nice, 1975.
- 22. Cortesogno L., Galbiati B., Principt G., Venturelli G. Le brecce offiolitiche della Liguria orientale: nuovi dati e discussione sui modelli paleogeografici. "Ofioliti", v. 3, 2/3, 1978.
- 23. Dal Plaz G., Van Raumer J., Sassi., Zanettin B., Zanferrari. Geological outline of the Italian Alps. In . Geology of Italy. Tripoli, 1975.
- 24 Galbiati B. Glanelli G., Principi G. Nuovi dati sulle ofioliti del Bargonasco e tentative di une loro ricostruzione paleogeographica. Ofioliti\*, 1976, 3.
- 25. Garrison R. Ridiolarian cherts pelagic limestones and igneous rocks in eugeosynclinal assemblages. In: Pelagic sediments on Land and Sea\*. Sediment., 1974, 1.
- 26. Glennie K., Boeuf M., Clarke H., Moody-Stuar M., Pilaar W., Reinhardt B. Late Cretaceous nappes in Oman Mountains and their geological evolution. Am. Assoc. Petr. Geol Bull. 1973, v. 57, 1.
- 27. Etter P. L'ensemble liqure. Bull. Soc. geol. France", 1975, 6.
- 28. Folk R., McBride E., Possible pedogenic origin of Ligurian ophicalcites: a Mesozoic Calichified serpentinite. "Geology", 4, 1976.
- 29. Ilhan E. The Green rocks of Turkey; their importance for the tectonic pattern of the Mediterranean Alpine orogenic belt. In: .Intern. Geol. Congr. Report. Twenty-Second session. India, part IV, 1961.
- 30. Lanzajame G., Spadea P., Tortorici L. Provenc enza ed evoluzione dei flysh Cretacico-eocenici della Regione Calabro-Lucana. Il: Relazione fra ofioliti e flysch Calabro-lucane. Ofioliti, 1976, v. 3, 23.
- 31. Marcoux J., Ricou L. Classification des ophiolites et radiolarites alpino-mediterraneennes d'apres leur contexte paleogeographique et structural implications sur leur signification geodynamique. Bull. Soc. geol. France\*, t. XXI, 5, 1979.
- 32. Nisbet E., Price I. Silliceous turbidites: bedded cherts as redeposited ocean ridge-derived sediments. In: "Pelagic Sediments: on land and under the sea". Spec. publ. 1. International Assoc. Sedimental.", 1974.
- 13. Piccardo G. Le oiloliti dell'Areale Ligure: petrologia e ambi ente geodinamico di formazione. "Soc. Ital. Mineral. e Petrol.", 1977, 1.
- 34. Rigo de Right M., Cortesini A. Gravity tectonics in footbills structure belt of southeast Turkey. Bull. Assoc. Petr. Geol., 1964, 12.
- 35. Schlager W., Schlager M. Clastic sediments associated with radiolarites (Tougl-boden-Schichten, Upper Jurassic, Eastern Alps). "Sedimentology", v. 20, 1, 1973.
- 36. Sestini G. The relations between flysch and serpentinities in north-central Turkey. In: . Geology and History of Turkey., Libya. Tripoli, 1971.
- 37. Steklin I. Eftekhan-nezhad J., Hushmand-zudeh. Central Lut Reconnaissance East Iran. Geol. Survey Iran. Report., 22, 1972.
- 38. Zanzuchi La geologia dell'alta Val Parma. .Min. Soc. Geol. It., 4, 1963.

УДК 553.41 (479.25)

### С. С. ГРИГОРЯН, С. В. КОЗЕРЕНКО, Б. О МАНУЧАРЯНЦ

## ТЕМПЕРАТУРНЫЕ УСЛОВИЯ ФОРМИРОВАНИЯ НЕКОТОРЫХ ЗОЛОТОРУДНЫХ МЕСТОРОЖДЕНИИ АРМЯНСКОЙ ССР

Методами гомогенизации и декрепитации газово-жидких включений выделены четыре основных типа включений, по которым оценены температурные интервалы-формирования минеральных ассоциаций месторождений.

Установлена постоянная приуроченность трехфазовых газово-жидких включений с жидкой углекислотой к кварцам из продуктичных ассоциации. Отмечаются нарушения плавности снижения температур гомогенизации и декрепитации газово-жидких включений на Зодском месторождении.

В задачу настоящего исследования входило определение температурных условий формирования ряда золоторудных месторождений Армении по данным изучения газово-жидких включений в кварцах и кальцитах основных минеральных ассоциаций. Температуры оценивались методами гомогенизации и декрепитации.

Исследовались три золоторудных объекта, расположенных в Севано -Амасийской и Памбак-Зангезурской структурно-металлогенических зонах (согласно делению, предложенному И. Г. Магакьяном) [8]. В пределах рудных полей вмещающими породами являются меловые и палеоген-неогеновые осадочные, вулканогенно-осадочные и вулканогенные породы, а также интрузивные породы как ультраосновного, основного, так и кислого состава. Залегая в породах различного состава. все три месторождения, тем не менее, обладают рядом общих черт, позволяющих говорить об их генетическом родстве. Прежде всего это выражается в том, что характер и последовательность смены минеральных парагенезисов на всех исследуемых объектах в общем близки. Установлено [1, 2, 3], что гидротермальная минерализация начинается с образования безрудных квариевых жил. Собственно рудный процесс начинается с формирования прожилково вкрапленных зон пирит-магнетитового и пирит-арсенопиритового составов (иногда с халькопиритом). Затем идет формирование кварцево-сульфидных жил. в минеральном составе которых преобладают пирит, блеклая руда, сфалерит, халькопирит, галенит (полиметаллическая ассоциация). С некоторым запозданием по времени, но в тесной взаимосвязи с формированием полиметаллической ассоцнации происходит образование золото-теллур-висмутовой минерализации. В заключительный этап гидротермального процесса образуются кварц-кальцит-антимонитовые или кварц-кальцит--арсенопиритовые, а также практически бессульфидные кварц-карбонатные жилы.

Основным методом оценки температур в настоящем исследовании служил метод гомогенизации газово-жидких включении. Физико-химические основы метода, его применимость к изучению природных объектов, а также его возможности и ограничения подробно рассмотрены в трудах Н. П. Ермакова, Н. А. Калюжного, В. Б. Наумова [6, 7, 9].

Измерения проводились на микротермокамере системы Калюжного [7], смонтированной на столике микроскопа МПН-8. Для микроскопического изучения газово-жидких включений было изготовлено и просмотрено около 500 зеркально отполированиых с двух сторон пластинок, толщиной 0.07—0.10 мм. Пластинки изготовлялись из образцов кварца, реже кальцита, представляющих все основные минеральные ассоциации месторождении. Газово-жидкие включения, пригодные для измерении методом гомогенизации, обпаружены, примерно, в трети общего количества пластинок. В ряде случаев, в одной пластинке имеются несколько групп включений, отвечающих различным стадиям минералообразования.

В кварцах и кальцитах исследуемых месторождений установлены следующие типы включений (по классификации Н. П. Ермакова):

- 1) Двухфазовые первичные газово-жидкие включения с объемом газовой фазы от 80 до 20% общего объема включений.
- 2) Трехфазовые первичные газово-жидкие включения с жидкой углекислотой отмечаются только в кварцах и кальцитах продуктивной стадии.
  - 3) Однофазовые газовые включения.
- 4) Вторичные включения, располагающиеся по микротрещинам в зернах кварца и кальшия. Эта группа включений, в свою очередь, может быть подразделена на две подгруппы:
- а) двухфазовые газово-жидкие включения (газ до 15% общего объема включений),
- б) аномальные (расшнурованные) однофазовые жидкие включения.

В качестве вспомогательного метода для оценки температур формирования минеральных ассоциаций месторождения использовался метод растрескивания (декрепитации). Теоретические основы метода, а также практика его использования, изложены в трудах Н. П. Ермакова [5], Ю. А. Долгова [4], В. Б. Наумова [9] и других. Нами использовалась декрепитационная установка ДКМ-2М. сконструированная в Институте геохимии АН СССР инженерами Э. Н. Юдиным, Г. А. Андриановым и А. П. Сысоевым. Для получения кривых декрепитации использовались навески минерала порядка 500 мг, раздробленные до фракции 0,5+0,25 им. Навеска помещалась в камеру нагрева, гле прогревалась до температуры 600°С со скоростью нагрева 10°С в минуту. Регистрация импульсов производилась в интервале 10°С. Кривая декрепитации записывалась автоматически на самописце КСП-4.

---

Рудные тела Зодского месторождения Севано-Амасийской зоны залегают главным образом в породах основного и ультраосновного состава и представлены как жилами, так и прожилково-вкрапленными зонами.

Все исследователи месторождения отмечают многостадийный характер золотого оруденения. Нами с некоторыми незначительными изменениями принята схема стадийности минерализации, предложенная Ш. О. Амиряном [3]. Выделяются следующие минеральные парагенезисы: дорудный кварцевый; кварц-пирит-арсенопиритовый; полиметаллический (сфалерит, блеклая руда), золото-теллуровый (геллуриды золота, серебра, теллуровисмутит, блеклая руда); кварц-карбонат-антимонитовый; кварц-карбонатный (пострудный).

Результаты измерения температур гомогенизации газово-жидких включений в кварцах и кальцитах месторождения приведены на рис. 1А. Приведенные интервалы температур соответствуют температурам гомогенизации группы включений. Количество включений и соответственно число определений сильно варьируют от образца к образцу. Минимальное количество определений 2—3, максимальное—около 50.

Наиболее высокие температуры гомогенизации 360—380°С отмечены в линзах и прожилках дорудного мелкозериистого, темно-серого кварца. В ассоциации с этим кварцем постоянно отмечаются округлые, обычно катаклазированные зерна магнетита, часто замещаемые по трещинам катаклаза пиритом. Довольно часто встречаются мелкие кристаллики арсенопирита. Газово-жидкие включения в кварцах этой ассоциации, как правило, гомогенизируются в газовую фазу. Встречены однофазовые чисто газовые включения. В тех случаях, когда включения гомогенизируются в жидкую фазу, температура гомогенизации несколько ниже (330—340°С). Здесь же встречены и трехфазовые включения с жидкой углекислотой, но они достаточно редки.

В кварцах из более поздней пирит-арсенопирит-кварцевой ассоциации отмечены как двухфазовые газово-жидкие включения, так и трехфазовые с жидкой углекислотой. Последние встречаются в подчиненном количестве. Гомогенизация включений происходит в жидкую и газовую фазы. Температуры гомогенизации для двухфазовых включений лежат в интервале 340—360°С, трехфазовые гомогенизируются при ческолько более низкой температуре (320—340°С). Вероятно, последняя группа включений связана с захватом растворов более поздних, из которых шло формирование основных продуктивных минеральных ассоциаций месторождения.

Для кварцев, ассоциирующих с продуктивной минерализацией месторождения, представленной двумя ассоциациями—полиметаллической (сфалерит, блеклая руда, галенит) и золото-теллуровой (теллуриды золота и серебра, теллуровисмутит, самородное золото), характерны две группы включений двухфазовые и трехфазовые с жидкой углекислотой. Последние здесь достаточно часты, иногда даже преоб-

Рис. 1—Результаты измерения температур гомогенизации газово-жидких включений в квариах и кальцитах месторождении. А) Зодекого, Б) Меградзорского, В) Тейского. Опозначения 12-квари. Те-теллур; Сhр-халькопирит; Ру-пирит; Агsр-арсенопирит, Са-галенит, Аи-золото, Sph-сфазерит; Fz-блеклая руда; Апі—антимонит; Саі—кальцит; 192—номер образца и температурный интеркал гомогенизации

ладают (обр. 192). Температура гомогенизации этих включений 300—340°С. Нам не удалось обнаружить какой либо разницы в температурах гомогенизации включений в образцах полиметаллической руды и в образцах с развитием золото-теллуровой минерализации. Вероятно, формирование этих двух наиболее важных ассоциаций происходило почти одновременно или, по крайней мере, в условиях постоянства температур минералообразующих растворов. Необходимо отметить, что в кварцах продуктивных ассоциаций обнаруживается довольно большое количество вторичных включений. Такие включения, как правило, располагаются вдоль линейно вытянутых зон в кристаллах кварца. Обычно они двухфазовые газово-жидкие. Газовый пузырек в них составляет 15—20% общего объема включения. Температура гомогенизации таких включений 120—140°С. Встречаются и чисто жидкие включения.

На месторождении достаточно широко развита антимонитовая минерализация. В кварцах и кальцитах из прожилков с антимонитом обнаружены двухфазовые газово-жидкие включения, гомогенизирующиеся в жидкую фазу при температурах 190—250°С. Гораздо реже встречаются включения, гомогенизирующиеся при температурах 270—280°С.

В кварцах и кальцитах из безрудных жил температуры гомогенизации газово-жидких включений лежат в интервале от 130 до 190°C.

Обращает на себя внимание и от факт, что температуры гомогенизации газово-жидких включений. Соответствующих дорудной и рудным ассоциациям, достаточно близвил, в то время как между рудными

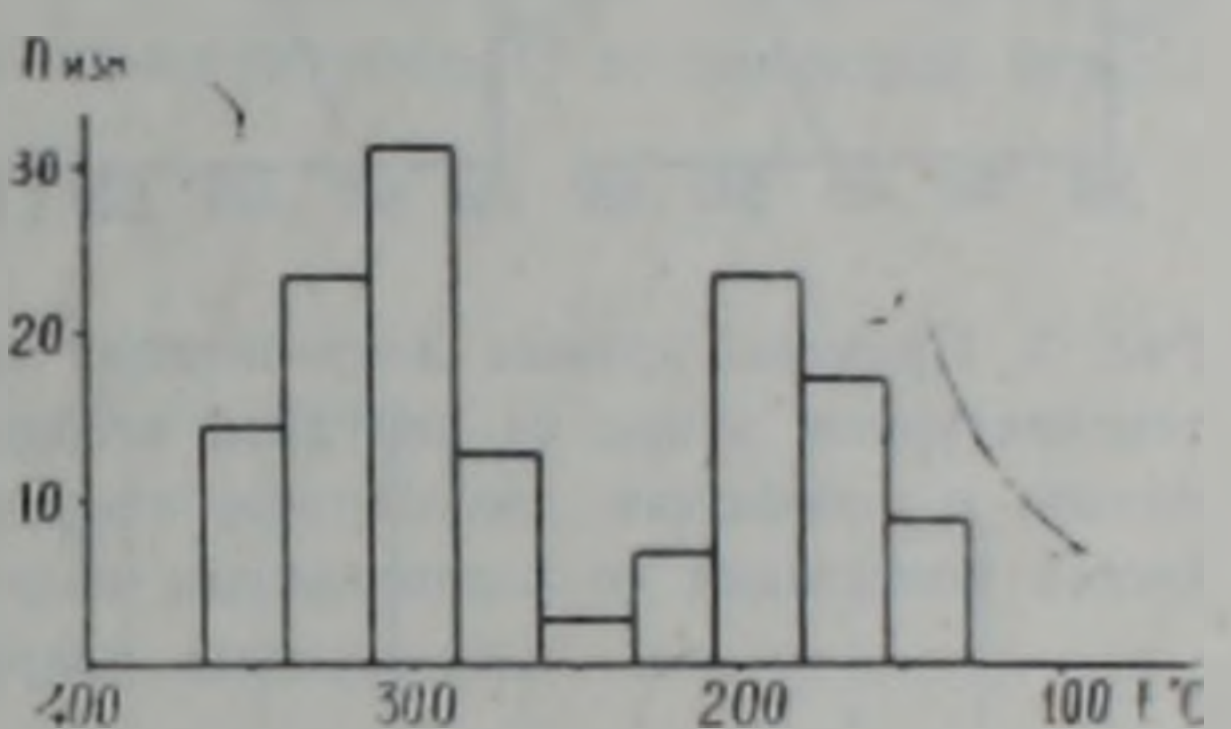


Рис 2. Гистограмма распределения температур гомогенизации газово-жидких включений в кварцах и кальцитах Зодского месторождения

п позднерудной (антимонитовой) ассоциациями наблюдается разрыв в температурах гомогенизации, составляющий примерно 50—60°С (см. рис. IA). Особенно хорошо это видно из анализа гистограммы распределения температур гомогенизации, построенной по данным всех выполненных измерений (рис. 2) Легко видеть, что на гистограмме имеется два четко выраженных максимума--один, соответствующий температурному интервалу 300—320°С (т. е. температурам формирования основных продуктивных ассоциаций), и другой—180—200°С (т. е. температурам формирования антимонитовой ассоциации). Такой характер гистограммы свидетельствует, по нашему мнению, в пользу того положения, что формирование антимонитовой ассоциации месторождения связано с поступлением новых порций гидротермального раствора. Вероятно, существовал значительный временной разрыв между формированием рудных тел, представленный ранними ассоциациями место-

рождения с одной стороны, и сульфоантимонитовой с другой. Этим, вероятно, объясняется и отмеченный выше значительный разрыв в температурах образования этих ассоциации. В пользу верности такой трактовки свидетельствует и отмечаемая по геологическим наблюдениям значительная обособленность рудных тел, представленных кварцантимонитовой ассоциацией [3].

Было выполнено около сорока определений температур декрепитации кварцев из рудных тел месторождения. Температуры декрепитации систематически выше температур гомогенизации. Разница составляет примерно 80—90°С. Типичные кривые декрепитации приведены на рис. 3. Судя по характеру большинства кривых, процент вто-

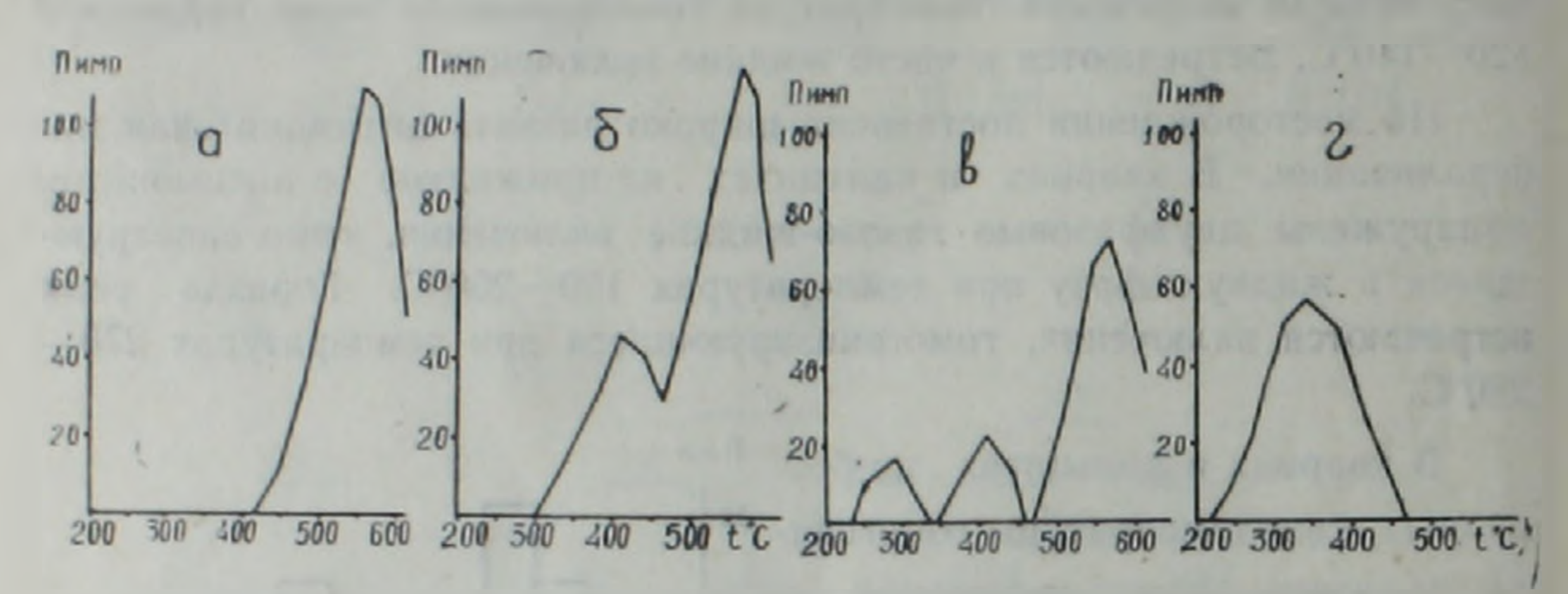


Рис. 3. Примеры кривых декрепитации кварца Зодского месторождения: а) высокотемпературный кварц из дорудной ассоцнации; б) кварц из полиметаллической ассоциации с небольшим количеством вторичных включений; в) кварц из полиметаллической ассоцнации со значительным количеством вторичных включений; г) кварц из пострудных кварц-кальцитовых жил.

ричных включений не велик. Исключение составляют некоторые кварны, извлеченные из обогащенных золотом участков рудного тела («рудных столбов»). Вероятно, образование обогащенных участков сопровождается неоднократным развитием процессов трещинообразования и поступлением гидротермальных растворов, с чем и связано присутствие в одном препарате кварца нескольких генераций газовожидких включений.

Гистограмма распределения температур декрепитации также обнаруживает (рис. 4) два максимума при 470—480°С и при 320°С. Нам представляется, что это является следствием того же явления, что и в случае, описанном для определений температур гомогенизации.

Второй исследуемый объект, Меградзорское месторождение, расположен на стыке Севано-Амасийской и Памбак-Зангезурской металлогенических зон. Район месторождения сложен палеозойскими метаморфическими сланцами, осадочными и вулканогенно-осадочными породами мела, эоцена и миоплиоцена. Рудные тела представлены кварц-карбонат-сульфидными жилами и прожилками, заключенными в зонах гидротермально измененных пород. Выделяются следующие стадии минералообразования: дорудная кварцевая, кварц-пиритовая, полиметаллическая, золото-теллуровая и кнарц-карбонатная [1].

Температуры гомогенизации кварцев основных минеральных ассоциации месторождения приведены на рис. 1Б: Легко видеть, что нанболее часто встречаются включения, гомогенизирующиеся при 230-250°С. Минералогический анализ показывает, что эти цифры соответствуют кварцам продуктивной полиметаллической ассоциации. Включений с жидкой углекислотой не обнаружено. Несколько большими температурами гомогенизации (250—280°С) обладают кварцы из рудных тел с золото-теллуровой минерализацией. Температуры гомогенизации кварцев из безрудных кварц-кальцитовых жил 160—170°С. Все типы включений гомогенизируются в жидкую фазу. Замеры температур гомогенизации газово-жидких включений из дорудных кварцев дали достаточно высокие температуры -330 -360°C. Эти включения гомогенизируются как в жидкую, так и в газовую фазы. Таким образом, основная часть рудного процесса укладывается в температурный интервал 200—300°C. Если мы сравним данные, полученные для этого объекта, с результатами, полученными для месторождения Севано-Амасийской зоны, то легко видеть, что температуры гомогенизации газово-жидких включений в кварцах продуктивных ассоциаций здесь несколько ниже.

Изучалось также Тейское месторождение Памбак-Зангезурской структурно-металлогенической зоны, залегающее в вулканогенных породак, прорванных крупными зивными массивами гранодиоритового и гранитного состава. По Ш. О. Амиряну и Г. А. Туняну [2] выделяются следующие минеральные ассопнации. дорудная кварцевая, пкрит-халькопиритовая, полиметаллическая, кварц-арсенопиритовая, лострудная кварц-кальцитовая. Peзультаты измерения температур гомогенизации газово-жидких включений в кварцах, представляющих все

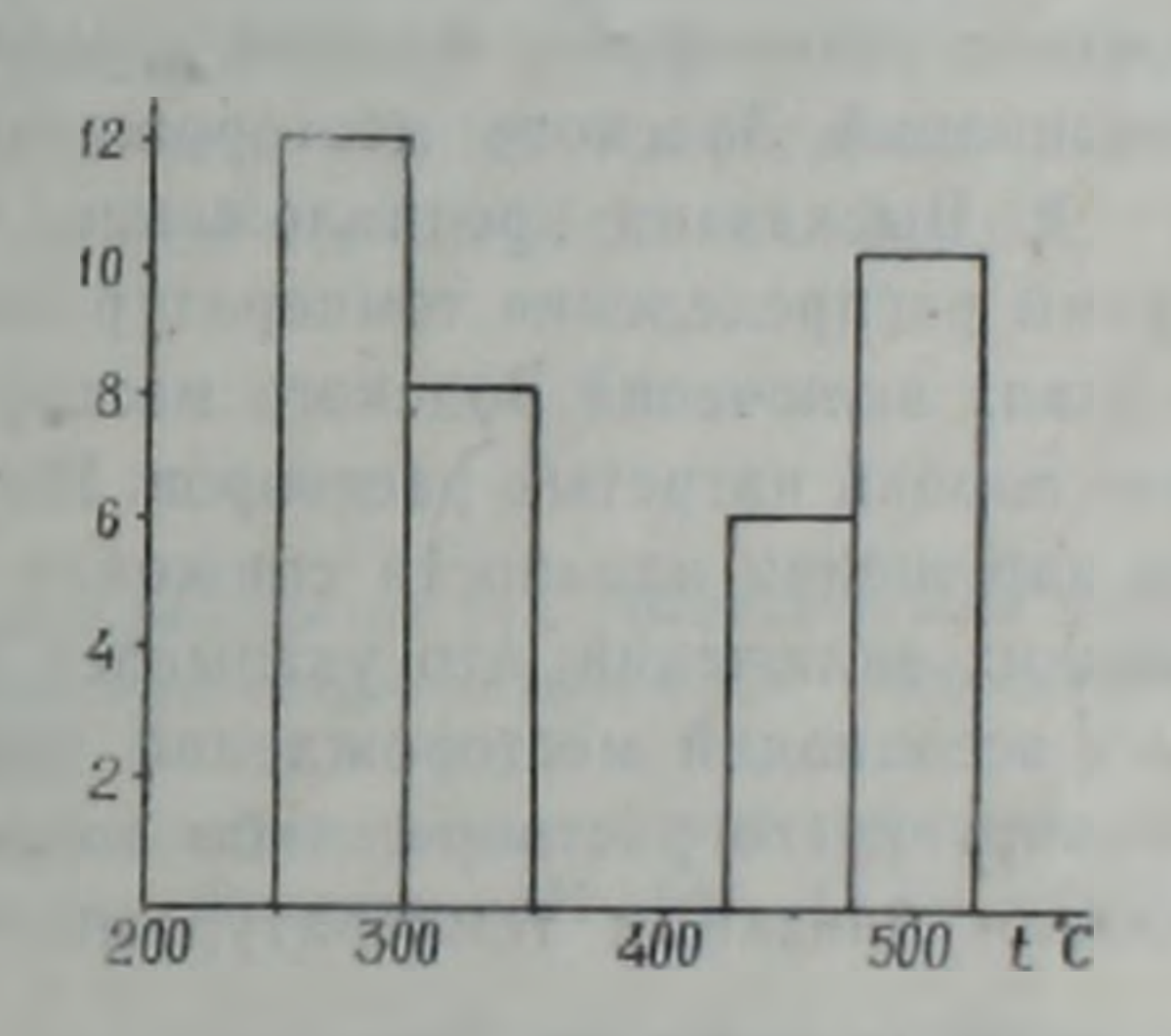


Рис 4. Гистограмма распределения температур декрепитации газово-жидких включений в кварцах Зодского месторождения.

минеральные ассоциации месторождения, представлены на рис. 1 В. Наиболее высокие температуры отмечены для включений в кварцах серого цвета из дорудных, практически бессульфидных жил. Газовая фаза в таких включениях занимает 60—80% общего объема, томогенизания происходит в газовую фазу при температуре 340—350°С. Несколько более низкие температуры гомогенизации включений отмечены в кварцах из пирит-халькопиритовых жил и зон. Здесь газовая фаза составляет 50—70% объема включения температуры гомогенизации

290—320°С в жидкую фазу. В молочно-белых кварцах из галенит-сфалеритовых рудных тел встречено большое количество двухфазных газово-жидких включений, газовая фаза, около 50%, гомогенизируется при температуре 230—280°С. Газово-жидкие включения из кварцев арсенопиритовой ассоциации содержат газовый пузырек, составляющий 40—45% от общего объема включения. Температура гомогенизации 190—220°С. И, наконец, водяно-прозрачные кварцы из пострудных кварц-кальцитовых жил обладают включениями с газовой фазой, составляющей 20—25% общего объема включения. Температура гомогенизации 160—180°С.

### Выводы

- 1. Изучены газово-жидкие включения в кварцах и кальцитах основных минеральных ассоциаций трех близких по минеральному составу и характеру рудных парагенезисов месторождений Армянской ССР Выделены четыре основных типа включений.
- 2. Установлено, что температуры гомогенизации кварцев и кальцитов укладываются в интервале 140—-380°С, причем наиболее высокие температуры отмечены для Зодского месторождения. Оценены температурные интервалы формирования минеральных ассоциации месторождений.
- 3. Установлена постоянная приуроченность трехфазовых газовожидких включений с жидкой углекислотой к кварцам из продуктивных ассоциаций Зодского месторождения.
- 4. Высказано предположение, что бимодальный характер гистограмм распределения температур гомогенизации и декрепитации газовожидких включений Зодского месторождения связан с поступлением новых порций нагретых растворов. На двух других объектах не обнаружено нарушения плавности снижения температур гомогенизации газовожидких включений, что указывает на то, что формирование минеральных ассоциаций месторождений происходило либо из единого эволюционирующего раствора, либо последовательные порции растворов обладали близкими температурами.

Институт геологических наук АН Армянской ССР ГЕОХИ АН СССР

Поступила 28.1 1980.

Ս. Ծ. ԳՐԻԴՈՐՅԱՆ, Ս. Վ. ԿՈԶԵՐԵՆԿՈ, Բ. Հ. ՄԱՆՈՒՉԱՐՅԱՆՑ

ՀԱՅԿԱԿԱՆ ՍՍՀ ՄԻ ՔԱՆԻ ՈՍԿԵԲԵՐ ՀԱՆՔԱՎԱՅՐԵՐԻ ՉԵՎԱՎՈՐՄԱՆ ՋԵՐՄԱՍՏԻՃԱՆԱՑԻՆ ՊԱՅՄԱՆՆԵՐԸ

### lk d ch n c d

Մեղրաձորի և Թելի անքավայրերում, թվարցի և կալցիտի միներալներում գազահեղուկային ներփակումների ուսումնասիրությունների հիման վրա առանձնացվում են չորս հիմնական տեսակի ներփակումներ։ Պարզվում է, որ Հոմոզննացման չերմաստիճանը տատանվում է 140—330°C սահմաններում, ըստ որում ավելի բարձր չերմաստիճաններ նշվում են Ջոդի Հանքավայրի նկատմամբ։ Պարզաբանված են նաև միներալային ասոցիացիաների կազմավորման չերմաստիճանային սահմանները։ Ջոդի հանքավայրում նկատվում է մշտական կապ երեք ֆաղանի ներփակումների (գազ-հեղուկ-Հեղուկ
ածխաթթու) և արդյունաբերական նշանակություն ունեցող ասոցիացիաների

ի տարթերություն Մեղրաձորի և Թեյի, Զոդի հանքավայրում նկատվում է իդրոներնալ լուծույթների աստիճանական սառեցման խախտում, որը բացատրվում է նոր, տաք լուծույթների ներթափանցումով։

### S. S. GRIGORIAN, S. V. KOZERENKO, B. H. MANUCHARIANTZ

# THE FORMATION TEMPERATURE CONDITIONS OF SOME ARMENIAN SSR GOLD ORE DEPOSITS

### Abstract

Four main types of gaseous-liquid inclusions are marked out by methods of homogenization and decrepitation by which the ore deposits mineral associations formation temperature intervals are estimated.

A constant connection between three-phase gaseous-liquid inclusions with liquid carbon dioxide and quartzes from productive associations is revealed. Homogenization and decrepitation temperatures decreasing smoothness infringements are marked for the Zod ore deposit.

### ЛИТЕРАТУРА

1 Амирян Ш. О., Карапетян А. И. Минеральный состав руд Меградзорского золоторудного месторождения Сб. Экспериментально-методические носледования рудных минералов «Наука», М., 1965.

2 Амирян III О., Тунян Г. А. Минералого-геохимическая характеристика руд Тейского золоторудного месторождения. Известия АН Арм. ССР, Науки о

Земле, т. ХХІV, № 5, 1971.

3. Амирян III. О. Зодское золоторудное месторождение. В кн. Минералогия, геохимия и условия образования рудных месторождений Армянской ССР. Изд. АН Арм. ССР, 1974.

4. Долгов Ю. А. Включения сетчатых кварцев в пегматитах Волыни и данные тер

мозвукового анализа. Тр. ВНИИП. т. 1, вып. 2, 1967.

5. Ермаков Н П Метод растрескивания в минералогической термометрии Минерал. сб. Львов, геол. об-ва, № 4, 1950

6. Ермаков Н. П. Исследования минералообразующих растворов. Изд. Харьков ун-та, 1960.

7. Калюжный В. А. Усовершенствованная микротермокамера для анализа жидких

включений. Тр. ВНИИП, т. 2, в. 2, 1958.

8. Магакьян И. Г. Закономерности размещения оруденения на территории Армянской ССР. Сб. Закономерности размещения полезных ископаемых, т. VII, Современные проблемы металлогении. М., 1967.

9 Наумов В. Б. К вопросу об определении температур минералообразования методом декрепитации В кн.: Минералогическая гермометрия и барометрия, т

«Наука», 1968.

КРАТКИЕ СООБЩЕНИЯ

↑ ДК 624.1918 531 482

### Е. Г. ЗАВРИЯН, А. А. САНАГЯН

# НССЛЕДОВАНИЕ РАБОТЫ ТОННЕЛЬНЫХ ОБДЕЛОК НА УЧАСТКАХ СО СЛОЖНЫМИ ГЕОЛОГИЧЕСКИМИ УСЛОВИЯМИ

При строительстве тоннелей в сложных геологических условиях является весьма важным точно выявить напряжения в тоннельной общелке. Это позволит уже в начале строительства определить величину горного давления, установить наличие резервов в работе тоннельных конструкций и выяснить в чатурных условиях коэффициент запаса тоннельной обделки.

В качестве динамометров, измеряющих усилия или напряжения в обделке, нами предлагаются приборы со взятием отсчетов механизмами. Электронная измерительная аппаратура подвержена в условнях тогнелей повреждениям под влиянием электрических и магнитных полей, имеющихся в тоннеле, показания приборов искажаются. Оборудование со взятием отсчетов механизмами не имеет недостатков, приборы просты по конструкции и надежны при длительной эксплуатации.

На основе испытаний приборов различных типов в качестве основпого прибора нами скоиструирован динамометр в виде стального двутавра с поперечинами-траверсами (рис. 1). Нагрузка, воспринимаемая стенкой двутавра, вызывает перемещение траверсов с закрепленными на корцах шариками. Винты служат для начальной регулировки длины измерительного створа.

Для взятия отечетов применяется наиболее простая конструкция механического измерятеля, которым служила мессура (индикатор) с точностью один микропометр Описаницій язмерительный створ (рис. 1) образован двумя шарыками диаметром 4 мм. При взятии отсчета на нижний шарии опирается металлическая трубочка внутренним диаметром 3,5 мм, которая неподвижно закреплена на корпусе мессуры.

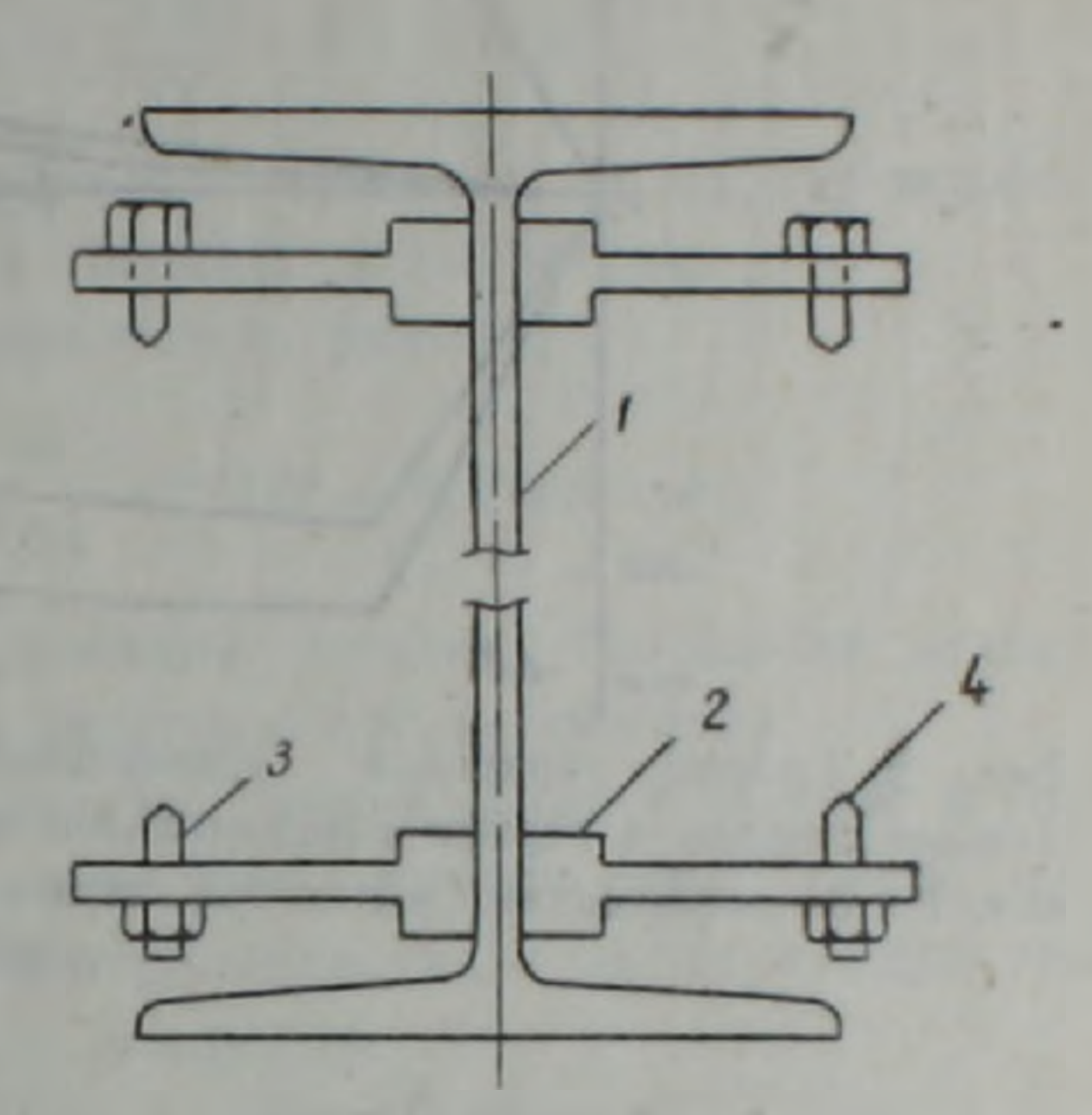
В верхний шарик створа опирается штифт мессуры, снабженный на конце трубочкой. Отсчет на циферблате мессуры отличается высокой стабильностью.

Важно отметить, что приращение длины створа фиксируется местрой как изменение расстояния между центрами шариков. Это обстоятельство обеспечивает высокую точность измерений.

В случае закладки во время бетонирования обделки траверсный динамометр снабжается кожухом из металлического листа, который препятствует проникновению свежей бетошной массы внутрь прибора.

На рис. 2 показаны результаты гарировки траверсных динамометров под прессом. По горизонтали отложены усилия пресса в тс, по вертикали-деформации створов, измеренные мессурой, выраженные в тысячных долях л.н. Отсчеты брались в двух измерительных сечениях динамометров створы 1 и 3 располагались в первом сечении, а створы 2 и 4-во втором.

Ha первый взгляд графики 1.2. 3,4 не дают закономерной картины. Оба сечения имеют не одинаковые по величине и даже по знаку деформации створов, что свидетельствует о внецентренном приложении нагрузки. Графики имеют резкий перелом после начальной стадии загружения. Совсем иная картина получается если взять среднее арифметическое по створам данного сечения, т. е. определить деформацию сжатия оси стенки двутавра. Полученные графики 1—3 и 2—4 весьма близки к примолинейным. Характерно также, Рис. 1. Траверсный динамометр что определенная теоретическим рас- стечка двугавра, 2-поперечина (трачетом величина деформации сжатия стенки двутавра при нагрузке 20 тс отклоняется от данных эксперимента всего лишь на 7%.



верс), 3-винт для регулировки длины измерительного створа, 4-стальной шарик диаметром 4 мм.

При закладке траверсных динамометров следует учитывать, что прибор имеет сравнительно значительную высоту, порядка 16 см. В связи с этим предусматривается устройство в обделке специального отсека. На рис За показано поперечное сечение стены тоннеля с динамометром, пересекающим всю толщину стены до горной породы. Отсек образован специалыными швами, обеспечивающими свободную деформацию выделенных из тела обделки бетопиих блоков. На рис. 36 показаны два динамометра, загруженные этими блоками.

Устройство опытного отсека позволяет резко снизить влияние усадочных деформаций бетона на показачиях динамометров.

Действительно, рассмотрим работу жесткого динамометра целиком окруженного бетоном без наличия деформанновных швов. Принимаем, что деформация усадки бетона равняется 0,02 см на 1 м длины.

Тогда в бетоне, вблизи жесткого динамометра, возникнут напряжения, равные:

$$z = \frac{0.02}{100} - 2 = 10^5 = 40 \ \kappa z c/c. w^2.$$

Переходим теперь к схеме работы динамометров. Согласно рис. 36, принимаем высоту динамометра, высоту и ширипу отсека соответственно равными 16, 100 и 70 см.

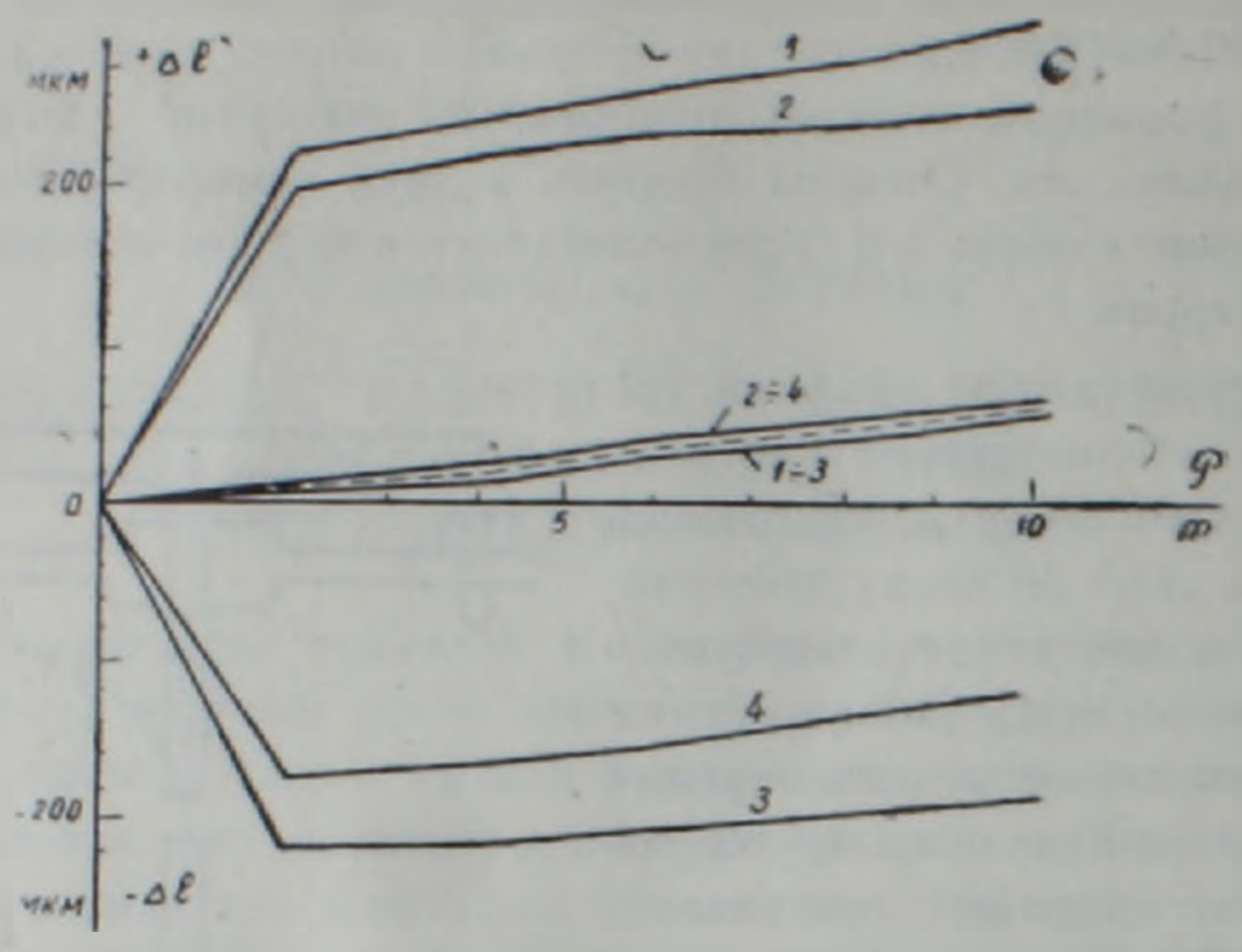


Рис. 2. График тарировки траверсного динамометра. 1 и 3—деформации по дляным створов в первом измерительном сечении двутанра, 2 и 4—для второго сечения. 1 и 3—деформации сжатия оси степки в первом сечении, 2 и 4—то же для второго сечения

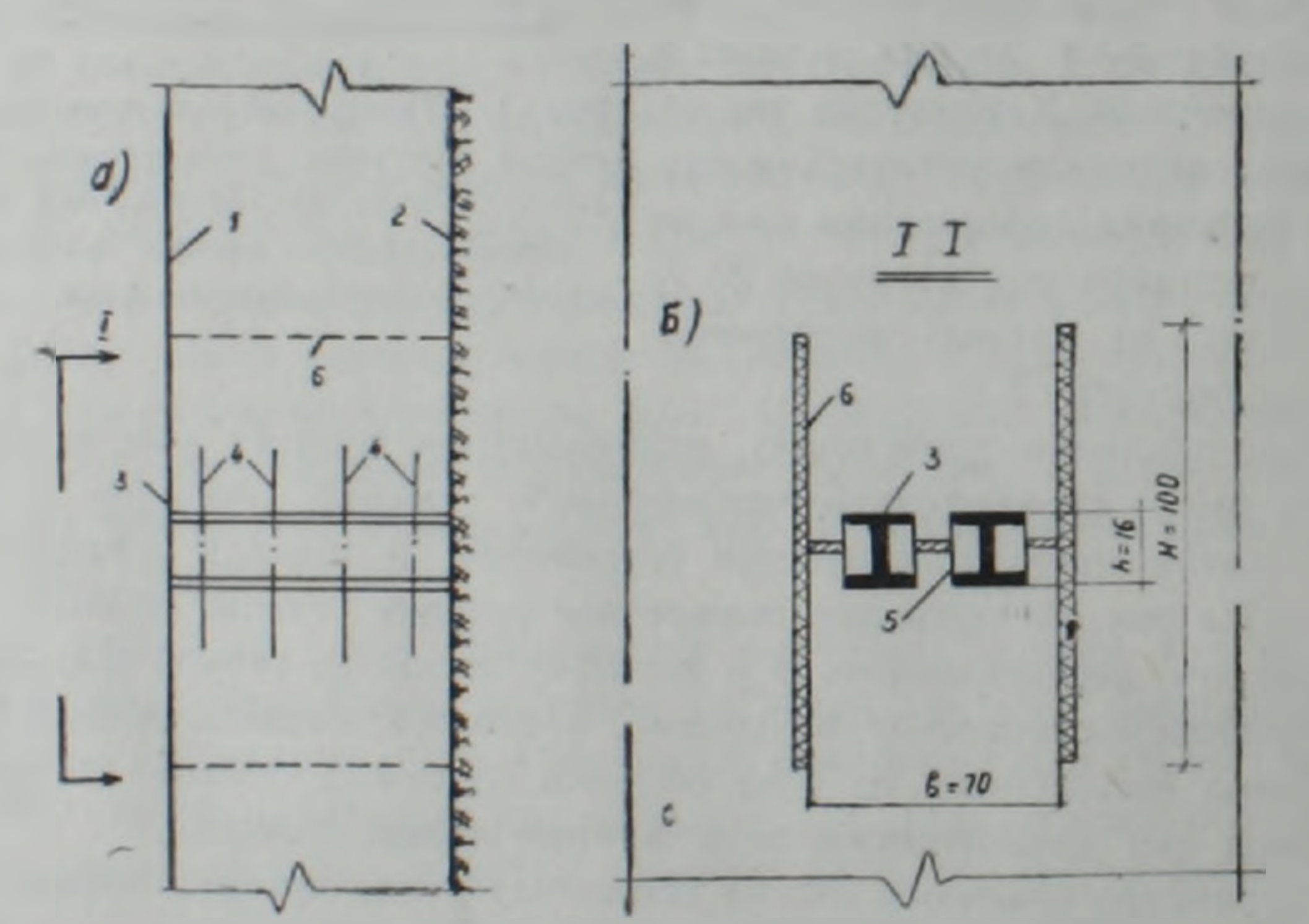


Рис 3 Опытный отсек в обделке тоннеля, 1—стена тоннеля, 2—горная порода, 3—стальной двутавр, 4—измерительные створы динамометра, 5—защитный кожух, 6—деформационные швы, 6—вид изнутри тоннеля.

Согласно исследованиям, проведенным в МИСИ под руководством проф. М. М. Гришина, на приборы, имеющие форму диска, действует с каждой стороны активная зона бетона высотой, равной 0,5 диамет-

ра прибора. Применяя это правило к опытному отсеку, получим полную высоту активной зоны бетона, действующей на динамометры (рис. 36):

$$H_1 = H + \frac{b}{2} \cdot 2 - h = 154 c u.$$

По высоте отсека усадочные деформации будут проходить беспрепятственно, кроме участка высотой 16 см, занятого динамометром. Абсолютная величина деформации усадки этого участка составит:

$$\Delta h = \varepsilon \cdot h = \frac{0.02}{100} \cdot h$$

Деформация усадки бетона опытного отсека будет на эту величину меньше, чем деформация усадки соседней зоны бетона

В бетоне отсека возникает папряжение, равное:

$$5 = \frac{\Delta h}{H_1} \cdot E = \frac{0.02}{100} \cdot \frac{16}{154} \cdot 2 \cdot 10^5 = 4.1 \text{ KeC C.M}^2.$$

Таким образом, поправка на влияние усадки бетона не велика, если динамометры расположены в опытном отсеке обделки.

Предложенная методика определения напряжений в натуре в горной породе имеет удовлетворительную для практических целей точность и может быть применена при строительстве и эксплуатации тоннелей для решения весьма сложных вопросов

Ереванская лаборатория тонпелен

Поступила 27.Х.1978.

КРАТКИЕ СООБЩЕНИЯ

NAK 550.8327

### Ю Б. ТАВЫДОВ. В. Ф КУЗИН

## ПРЯМАЯ ЗАДАЧА НЕПТРОННОАКТИВАЦИОННОГО КАРОТАЖА НА ФТОР С УЧЕТОМ ВЛИЯНИЯ СКВАЖИНЫ

При разведке месторождений плавикового шпата, фосфоритов и апатитов для подсчета запасов фторсодержащих полезных ископаемых широко используется нейтронный активационный каротаж на фтор с использованием интегральной [1, 2] и спектрометрической [6, 7] аппаратуры. Успехи, достигнутые в области пражтического определения содержания фтора по данным нейтронноактивационного каротажа, требуют дальнейшего развития теории метода. С этой целью в работах [4, 5] было исследовано пространственное распределение наведенного гамма-излучения в среде с перемешным содержанием фтора для случая, когда влиянием скважины можно пренебречь. С целью увеличения точности подсчета запасов фтора представляет интерес теоретическая разработка особенностей активационного каротажа на фтор с учетом влияния скважины.

Ниже рассматривается прямая задача нейтронного активационного каротажа на фтор с учетом влияния скважины. Расчетным метомым исследуется влияние скважины на пространственное распределение наведенного гамма-излучения фтора. Задача решается применительно к интегральному варианту метода. Для расчета потока наведенного гамма-излучения используется групповое диффузионное приближение теории переноса проникающего излучения [3].

Задача формулируется следующим образом. Задана гетерогенная двухслойная среда с круговой цилиндрической границей раздела радиусом  $r=r_0$  Внутренняя среда ( $r < r_0$ ) относится к скважине и заполнена буровым раствором или водой. Внешняя среда ( $r > r_0$ ) сложена однородной по физическим свойствам горной породой с равномерным распределением фтора, известной плотностью, влажностью и вещественным составом. На оси скважины расположен точечный источник отдетрых нейтронов мощностью Q. Требуется найти пространственное распределение потока гамма-излучения, наведенного в скважине и окружающей ее среде.

При облучении фторсодержащих горных пород нейтронами ампульных источников выход продукта реакции  $F^{19}(n,a)N^{16}$  на быстрых нейтронах всегда превосходит выход сопутствующих  $F^{19}(n,\gamma)F^{20}$ ,  $F^{10}(n,p)O^{10}$  и интерферирующих  $O^{16}(n,p)N^{16}$ ,  $N^{16}$ ,  $N^{16}$  реакций.

Поэтому для решения задачи достаточно исследовать наведенную активность азота-16, возникающую при облучении среды Po-Be-источником нейтронов.

Принимая среднюю пачальную энергию *Po—Be*-источника нейтронов, равной 5 *МэВ*, и учитывая, что энергетический порог реакции  $i^{-19}(\pi,\alpha)N^{16}$  составляет 1,5 *МэВ*, можно считать, что активация осуществляется только на быстрых нейтронах, которые можно объединить в одну группу. Наведенное гамма-излучение дзота-16 объединим в дру-ую группу.

Введем цилиндрическую систему координат (г, г, ф) так, чтобы ось говпадала с осью скважины. Тогда перенос наведенного гамма-излучения определяется системой дифферепциальных уравнений [3]:

$$D_{\gamma k} \Delta \Phi_{\gamma k}(r,z) - \Sigma_{\gamma k} \Phi_{\gamma k}(r,z) = -k_0 \Sigma_{nk} \Phi_{nk}(r,z) \delta_{kr} \qquad (1)$$

при граничном условии

$$\Phi_{1k}(r,z) < \infty \tag{2}$$

и условиях сопряжения на границе раздела  $r=r_0$ 

$$\Phi_{\gamma c}(r,z) = \Phi_{\gamma r}(r,z), \qquad (3)$$

$$D_{\tau r} = \frac{\partial \Phi_{\tau r}(r,z)}{\partial r} = D_{\tau r} \frac{\partial \Phi_{\tau r}(r,z)}{\partial r} \,. \tag{4}$$

где k=c, r — индексы, относящиеся к скважине и пласту,  $\Phi_{ik}(r,z)$  — поток наведенного гамма-излучения,  $\Delta$ — оператор Лапласа,  $D_{ik}$ ,  $\Sigma_{ik}$  — коэффициент диффузии и сечение поглощения наведенного гамма-излучения,  $\Phi_{nk}(r,z)$  — поток быстрых нейтронов источника в одногрупповом приближении [4],  $\Sigma_{ik}$  — полное сечение увода первичных нейтронов,  $k_a$  — коэффициент активации, который совпадает со средним числом гамма-квантов на акт увода первичного нейтрона из единицы объема среды и определяется выражением  $k_a = \Sigma_a \psi/\Sigma_{nr}$ , где  $\Sigma_a$  — макросечение реакции  $F^{19}(n,\alpha)$   $\Lambda^{16}$  в диапазоне энергий 1.5-5  $M \ni B$ ,  $\psi$  — выход гамма-квантов на акт  $(n,\alpha)$  — реакции,  $\delta_{nr}$  — символ Кронекера-Вейеріштрасса, равный единице при k=r и нулю при  $k \neq r$ .

Решение задачи находится путем использования прямого и обратного интегрального преобразования Фурье по z и имеет вид:

$$\Phi_{1k}(r,z) = \frac{2}{\pi} \int_{0}^{\infty} N_{1k}(r,a) \cos az da, (k=c,1),$$
 (5)

где

$$N_{\gamma c}(r, z) = \beta_{\gamma c}(z) I_0(\mu_{\gamma c} r),$$
 (6)

$$N_{1r}(r, \alpha) = \beta_{1r}(\alpha) K_0(\mu_{1r}r) + \alpha_r \beta_{nr}(\alpha) K_0(\mu_{1r}r),$$
 (7)

$$\beta_{1r}(z) = \frac{1}{\Delta_{\gamma}} [D_{\gamma r} \mu_{\gamma r} K_{1} (\mu_{\gamma r} r_{0}) \times + K_{0} (\mu_{\gamma r} r_{0}) \times'], \qquad (8)$$

$$\beta_{Tr}(\alpha) = \frac{1}{\Delta_{T}} [I_0(\mu_{Te} r_0) \times -D_{Te} \mu_{Te} I_1(\mu_{Te} r_0) \times], \qquad (9)$$

$$x = \alpha_r \beta_{nr}(2) K_0 (\mu_{nr} r_0), \qquad (10)$$

$$x = -D_{1r} \mu_{nr} = \beta_{nr}(\alpha) K_1 (\mu_{nr} r_0), \qquad (11)$$

$$\beta_{nr}(\alpha) = \frac{Q}{4\pi\Delta_n r_0},\tag{12}$$

$$\Delta_{1} = D_{1r} \mu_{1r} I_{0} (\mu_{1r} r_{0}) K_{1} (\mu_{1r} r_{0}) + \\
+ D_{2r} \mu_{1r} K_{0} (\mu_{1r} r_{0}) I_{1} (\mu_{1r} r_{0}),$$
(13)

$$\Delta_n = D_{nr} \mu_{nr} I_0 (\mu_{nc} r_0) K_1 (\mu_{nr} r_0) +$$
 (14)

+ Dnc unc Ko (unc ro) /1 (unc ro).

$$\alpha_r = \frac{\Sigma_a \,\mu}{D_{\gamma r} \left( x_{\gamma r}^2 - x_{nr}^2 \right)} \,, \tag{15}$$

$$y_{1k}^2 = a^2 + \dots (k = c, r), \quad y_{2k} = a^2 + x_{nk} (k = c, r)$$

$$x_{1k}^2 = \frac{1}{D_{1k}} (k = c, r), \quad x_{2k} = \frac{1}{D_{nk}} (k = c, r).$$

Здесь  $D_{nk}$  — коэффициент диффузии быстрых нейтронов в k-ой среде,  $I_{\nu}(x)$ ,  $K_{\nu}(x)$  — модифицированные функции Бесселя первого и второго рода, порядка  $\nu$ .

Важным следствием полученного решения является случай малого влияния скважины, возгикающий при  $\iota_0 \longrightarrow O$ . Выполняя указанный предельный переход, получаем следующее выражение для пространственного распределения наведенного гамма-излучения в бесконечной однородной фторсодержащей среде:

$$\Phi_{\gamma r}(r,z) = \frac{k_a Q}{4\pi \Sigma_{\gamma r}} \frac{\chi_{\gamma r}^2 \chi_{nr}^2}{\sqrt{r^2 + z^2}} \left[ \frac{e^{-\chi_{\gamma r}} \sqrt{r^2 + z^2}}{\chi_{nr}^2 - \chi_{\gamma r}^2} + \frac{e^{-\chi_{nr}} \sqrt{r^2 + z^2}}{\chi_{\gamma r}^2 - \chi_{nr}^2} \right] .$$
(16)

Максимальной величины поток наведенного гамма-излучения достигает в начале координат в точке  $r \to 0$ . Выполняя в выражении [16] предельный переход  $r \to 0$ , получаем оценку максимальной величины наведенной активности азота—16 в виде

$$\Phi_{\gamma r}(0,0) = \frac{k_a Q}{4\pi \Sigma_{\gamma r}} \frac{\chi_{\gamma r}^2 \chi_{nr}^2}{(\chi_{nr} + \chi_{\gamma r})}.$$
 (17)

Анализ пространственного распределения наведенного гамма-излучения фтора выполнен расчетным мстодом для следующих условий мерения. Сухая силикатная среда, плотпостью  $2.7\ e/c\pi^3$ , содержащая 1% флюорита, пересечена скважиной радиусом  $r_0=6\ cm$ . Скважина за

полнена водой. Начальный порог регистрации наведенного гамма-излучения азота-16 принят равным 150  $K \ni B$ . Поперечное сечение реакции  $F^{19}(n,\alpha)$   $N^{16}$  для нейтронов Po-Be источника в диапазоне энергий от 1,5 до 5  $M \ni B$  принято равным 130 ибари. При этом макросечение активации равно  $\Gamma_a = 6.42 \ 10^{-5} \ cm^{-1}$  на 1%  $CaF_2$ .

На рис. 1 приведены результаты расчета пространственного распределения наведенного гамма-излучения азота-16. Анализ результатов рас-

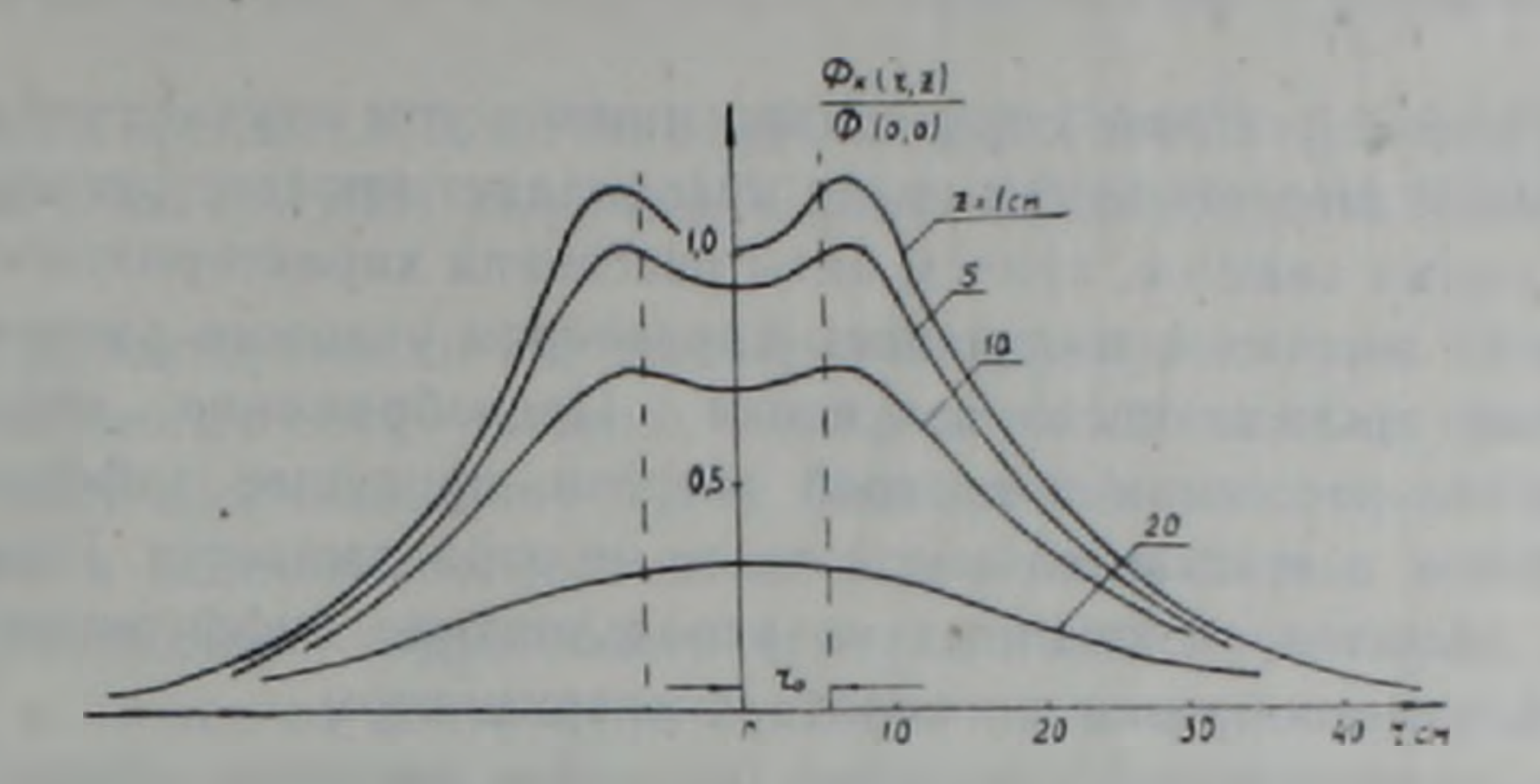


Рис. 1. Пространственное распределение наведенного гамма-излучения азота-16 в силикатной среде, пересеченной обводненной буровой скважиной.

чета позволяет сделать следующие выводы. Наличие обводненной скважины приводит к интенсивному ослаблению наведенного гамма-излучения в скважине. Максимальной величины поток достигает в области,

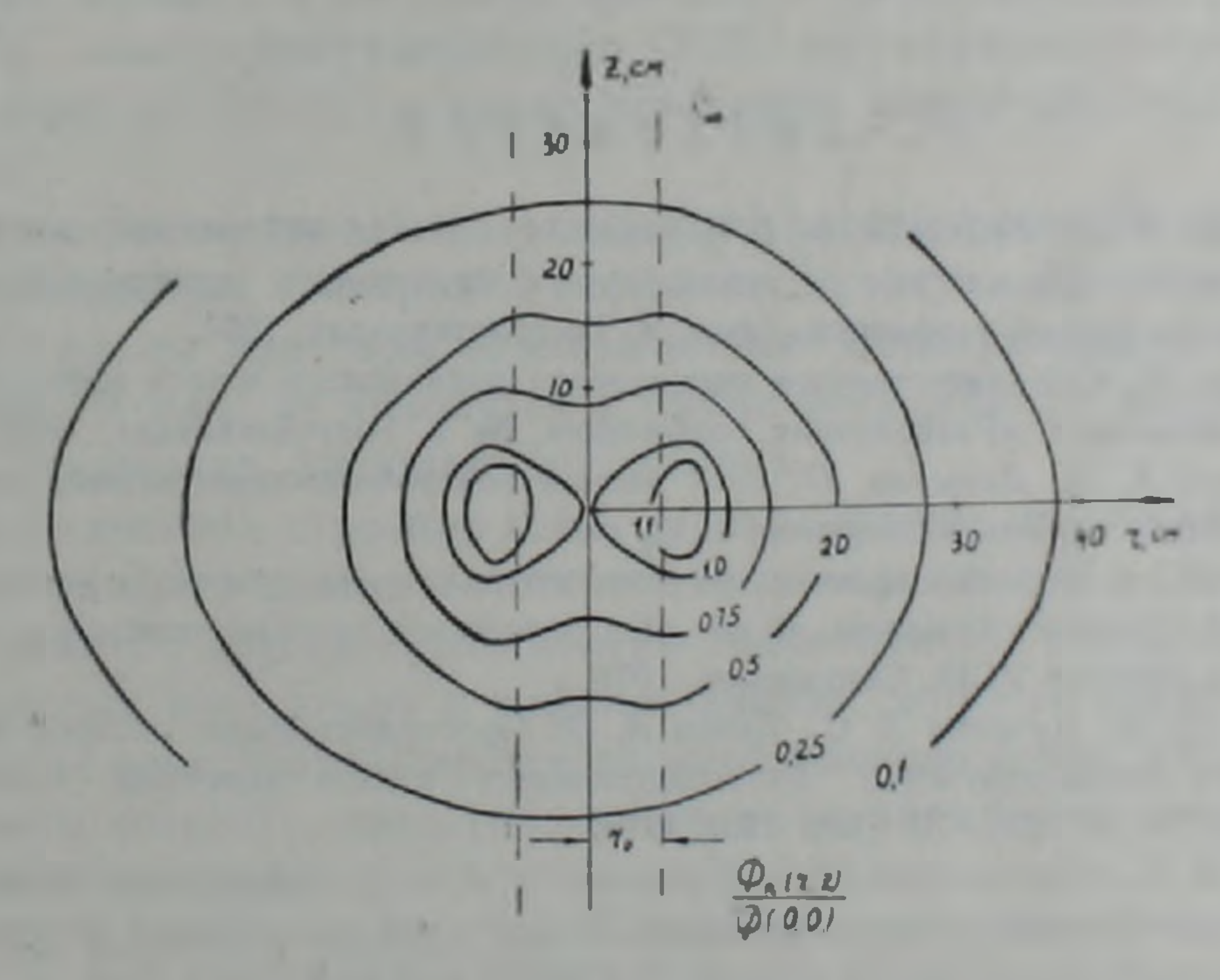


Рис. 2. Радиальное распределение наведенного гамма-излучения азота-16 в системе скважина—пласт.

расположенной напротив источника нейтронов у стенки скважины в окружающей ее среде. Это обстоятельство может служить обоснованием

методических рекомендаций о применении нулевых зондов и прижимных устройств при нейтронно-активационном каротаже на фтор.

Радиальное распределение потока наведенного гамма-излучения, приведенное на рис. 2, позволяет получить наглядное представление о пространственной локализации наведенного гамма-излучения на различном расстоянии от источника нейтронов. Из рисунка видно, что дефицит наведенного гамма-излучения в скважине наблюдается только в окрестности источника и при удалении от него на расстояние больше 20 см исчезает.

Полученное решение справедливо лишь в том случае, когда в рам-ках заданных энергетических групп преобладает процесс рассеяния нейтронов и гамма-квантов, причем акты рассеяния характеризуются малыми потерями энергии и изотропным характером углового распределения рассеянного проникающего излучения. Пренебрежение корреляцией между углом рассеяния и потерей энергии, присущее диффузионному приближению, в действительности часто не оправдывается. Поэтому результаты расчетов, основанных на использовании диффузионного приолижения, целесообразно проверять экспериментом.

В условиях буровой скважины рассеяние является основным процессом, ответственным за перенос проникающего излучения, поэтому полученное в настоящей работе решение задачи по крайней мере качественно соответствует действительности.

Читинский политехнический институт, Свердловский горный институт

Поступила 24.1.1980.

### ЛИТЕРАТУРА

- 1. Бардовский В. Я. Колпаков В. В. Применение метода нейтронной активации для выделения рудных зон в скважинах флюоритового месторождения В сб. «Вопросы рудной геофизики», вып. 3, Госгеолтехиздат, 1961.
- 2. Бардовский В. Я. Количественное определение плавикового шпата методом наведенной активности. «Разведочная геофизика», № 1, Гостоптехиздат, 1964.
- 3. Возжеников Г. С., Давыдов Ю. Б. К теории нейтронноактивационных измерений в скважинах. «Атомная энергия», т. 42, вып. 3, 1977.
- 4. Давыдов Ю. Б. О распределении нейтронного излучения точечного источника в условиях буровой скважины. В сб. «Геофизические метолы поисков и разведки», вып. 4. издание УПИ, Свердловск, 1978.
- 5. Давыдов Ю. Б., Кучурин Е. С., Кузин В. Ф. Пространственное распределение наведенного гамма-излучения фторсодержащего пласта конечной мощности. М., ВИНИТИ, № 3256—79. Деп. 10.09.1979.
- 6. Кошелев И. П., Крисноперов В. А., Шишикин О. В. и др. Применение активационного спектрометрического гамма-каротажа по азоту—16 при разведке фторсодержаще-го сырья. В сб. «Вопросы рудной геофизики в Казахстане», вып. П. Алма-Ата, 1968.
- 7. Кошелев И П. Красноперов В. А., Шишакин О. В и др. О выборе режимов измерений при спектрометрическом активационном каротаже на фтор. В сб. Вопросы разведочной геофилики», вып. И, «Недра», 1969.

КРАТКИЕ СООБЩЕНИЯ

УДК 627.81:550.831(479.25)

Г. Г. АСЛИБЕКЯН, М. Т. ТОНОЯН, А. П. ДАНИЕЛЯН, А. В. ПЕТРОСЯН

## РЕЗУЛЬТАТЫ ЭЛЕКТРОРАЗВЕДОЧНЫХ РАБОТ ПО ИЗУЧЕНИЮ ФИЛЬТРАЦИИ НА АЗАТСКОМ ВОДОХРАНИЛИЩЕ

При проектировании и строительстве водохранилищ в сложных инженерно-геологических условиях немаловажный интерес представляет выявление и прослеживание путей фильтраций, что позволяет целенаправленно и экономично проводить гидроизоляционные мероприятия

Существующие гидрогеологические методы трудоемкие, дорогостоящие и не всегда достаточно надежны в получении информации о местонахождении фильтрационных утечек и путях их движения из водохранилищ.

Опытно-методические и производственные работы, выполненные институтами Арм. НИИ водных проблем и гидротехники и Армгипроводхоз на Апаранском и Карнутском водохранилищах, показали, что при изучении фильтраций, перспективным представляется применение геофизических методов, в частности, методов естественного электрического поля (ЕП), электропрофилирования (ЭП), вертикального электрического зондирования (ВЭЗ), а также измерения скоростей придонных потоков (ИС).

В статье рассматриваются результаты электроразведочных исследований, проведенных сектором геофизики института Армгипроводхоз в 1976—1977 г.г. на Азатском водохранилище. Водохранилище проектной мощностью 70 млн. м<sup>3</sup> находится в пойме реки Азат, к северо-востоку от села Ланджазат Арташатского района.

В геологическом строении чаши водохранилища принимают участие породы от нижнего эоцена до современных образований включительно. Породы нижнего эоцена представлены известняками с пересланванием известковистых песчаников и туфопесчаников, которые обнажаются на левом склоне реки Азат. Широкое распространение имеют породы среднеэоценового возраста, представленные песчаниками, туфопесчаниками, аргиллитами и туфами.

Породы верхнего эоцена представлены чередованием слабых известковисто-туфогенных песчаников, аргиллитов и плотных загипсованных глин, которые развиты на правобережном склоне долины.

На размытой поверхности верхнего эоцена залегают валунно-галечные отложения плиоценового возраста, состоящие из различных изверженных и вулканогенно-осадочных пород с песчаным и супесчаным за-

полнителем. Учитывая фильтрационные свойства пород, слагающих чашу водохранилища, предполагалось, что фильтрация будет в основании и у бортовых примыканий плотины и поэтому было рекомендовано осуществление противофильтрационных цементационных мероприятий побортам водохранилища и создание бетонной завесы в основании плотины.

В 1976 г. по завершении строительства плотины водохранилище было наполнено до отметки 1026, 7 м. В процессе заполнения водохранилища наблюдались фильтрационные потери, выходы которых отмечались в районе нижнего бъефа со стороны правого примыкания плотины, а также у села Ланджазат (участки — Гомеридзор и Амирамидзор) (рис. 1).

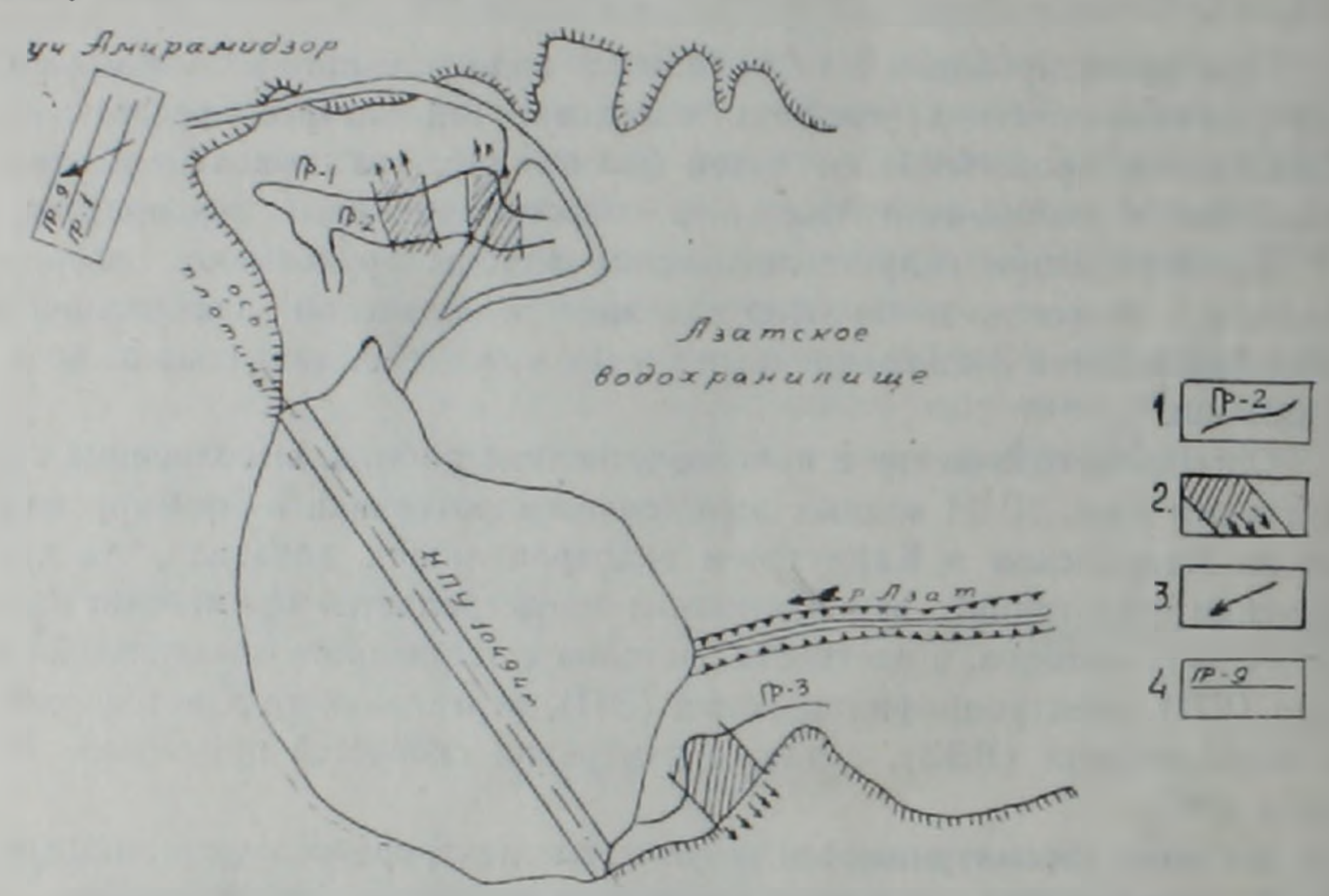


Рис. 1. Местоположение утечек воды по бортам Азатского водохранилища, выявленных по данным геофизических исследований 1. Профили геофизических наблюдений. 2. Пути фильтрации воды 3. Направление движения обходной фильтрации 4. Профили ЕП и ЭП.

Для обнаружения путей фильтраций по бортам водохранилища, береговым примыканиям плотины и в районе нижиего бьефа были проведены геофизические исследования методами естественного электрического поля (ЕП) и электропрофилирования (ЭП).

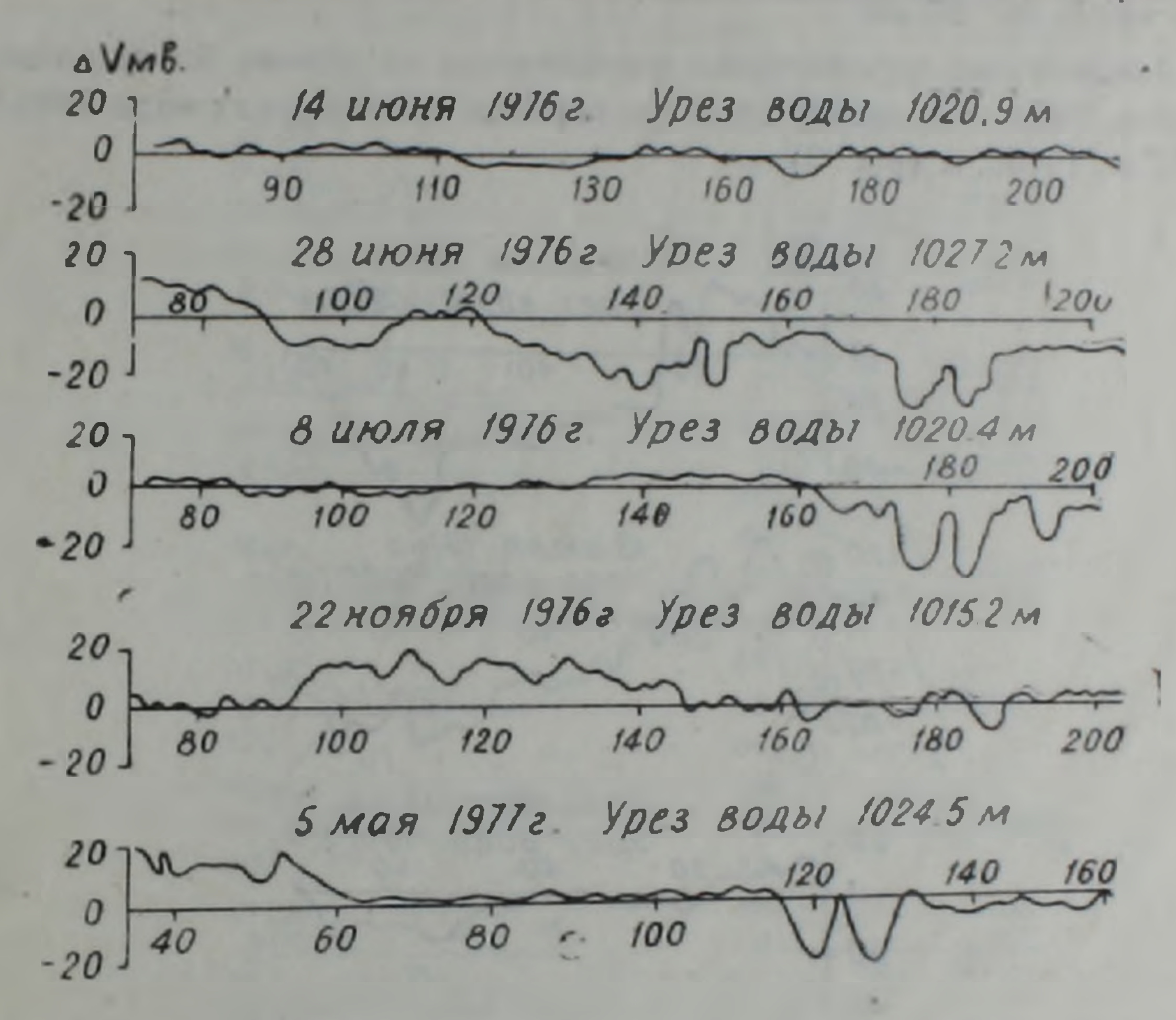
Измерения ЕП выполнялись способом потенциала, при котором один электрод перемещался по профилю, а другой оставался неподвижным [1].

В качестве измерительных электродов использовались неполяри зующиеся электроды конструкции ВИРГАа, отличающиеся высокой чувствительностью и стабильностью собственной поляризации, не превышающей 1—2 мв. Шаг наблюдений составлял 2—3 м.

Исследования носили режимный характер и проводились по бортам водохранилища и участку Амирамидзор по мере наполнения и сработки водохранилища при урезах воды 1020,9; 1027,2; 1020,4; 1015,2; 1024,5 м.

Последний период наблюдений (отметка воды—1024,5) выполнялся после сработки водохранилища и последующего его заполнения в 1977 году. Для установления геоэлектрических особенностей среды на участке Амирамидзор измерения ЕП сопровождались профилированием методом электрического сопротивления

По результатам первого периода наблюдений, выполненных по правому борту водохранилища при урезе воды 1020,9 м, на графиках ЕП между пикетами 110—130 и 165—170 установлены две аномалии отрицательных электрических полей интенсивностью от 5 до 10 мв. (рис. 2).



Fuc. 2. Графики естественного электрического поля по правому борту Азатского водохранилища.

приуроченные к трещиноватым и сильно разрушенным песчаникам и туфопесчаникам. С увеличением объема воды в водохранилище (отметка— 1027,2 м) ранее выявленные аномалии по своей интенсивности увеличились более чем в два раза и соединились в сплошную зону фильтрации.

В этот же период наблюдений между пикетами 90—110 появилась третья отрицательная аномалия порядка 15 мв., которая судя по интенсивности, заслуживает внимания как участок активной фильтрации.

С понижением уровня воды на 6,8 м до отметки 1020,4 м на участках ранее выявленных аномалий между пикетами 90--110 я 120—160 фильтрационные поля не наблюдались и лишь между пикетами 175—200 продолжает сохраняться интенсивная фильтрация В результате последующего понижения уровня воды до отметки 1015,2 м площадь отрицательных аномалий, связанных с фильтрацией, значительно сократилась и только на отдельных участках (пикеты 165; 175 и 185) отмечались локальные зоны фильтрации, интенсивностью поля до минус 6 мв.

В мае 1977 года водохранилище было вторично заполнено до отметки 1024,5 м. Исследования показали, что за счет частичной кальматации разреза фильтрационные потери по правому борту значительно сократились за исключением аномалии между пикетами 115—135, где с заполнением водохранилища вновь отмечалась фильтрация с интенсивностью поля минус 20—25 мв.

Аналогичные исследования выполнялись по левому борту водохрапилища. Работы проводились в три периода при отметках воды 1028,1 м; 1026,7 м; 1015,2 м (рис. 3).

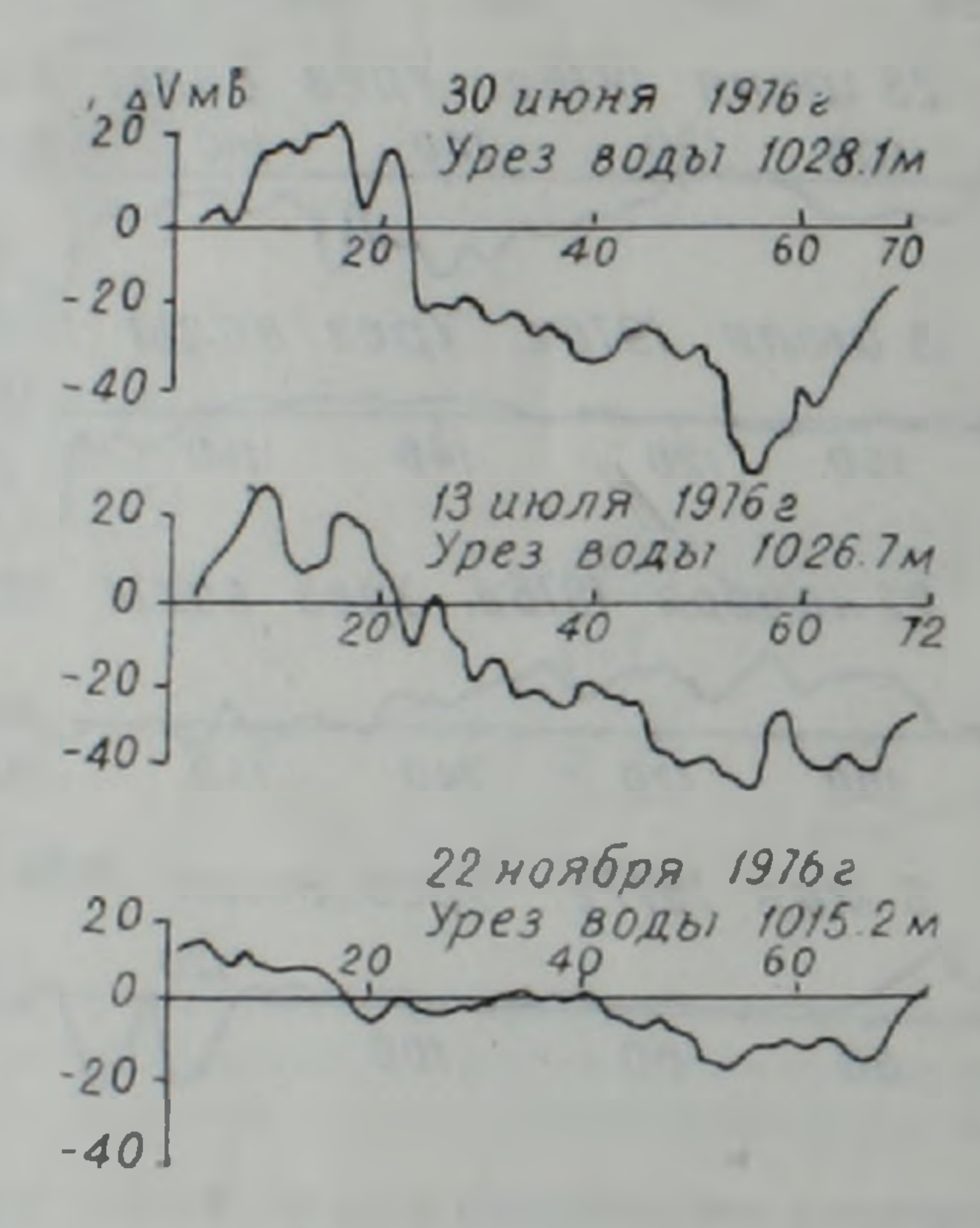


Рис. 3. Графики естественного электрического поля по левому борту Азатского водохранилища.

По результатам исследований по левому борту водохранилища быта выявлена широкая зона отрицательной аномалии в интервале пикетов 25—70, интенсивность которой достигает минус 50 мв и заслуживает внимания, как участок активной фильтрации.

Здесь, как и по правому борту, после сработки водохранилища до отметки 1026.7 м, наблюдается некоторое сокращение фильтрации, что на графиках ЕП отмечается уменьшением интенсивности аномального поля. Подтверждением последнего являются результаты третьего пе-

рнода исследований (отметка—1015,2 ж), где аномальная зона значительно сократилась и только на участке активной утечки воды, между пикетами 50—65 аномалия продолжает сохраняться, хотя интенсивность поля значительно уменьшилась.

Аналогичные наблюдения проводились в районе нижнего бъефа на участке Амирамидзор, где в период наполнения водохранилища наблюдались выходы грунтовых вод, связанные с обходной фильтрацией.

В задачу исследований входило определение направления движения грунтовых вод. Для решения поставленной задачи применялся комплекс методов—естественное электрическое поле (ЕП) и электропрофилирование (ЭП) с двумя разносами питающих электродов.

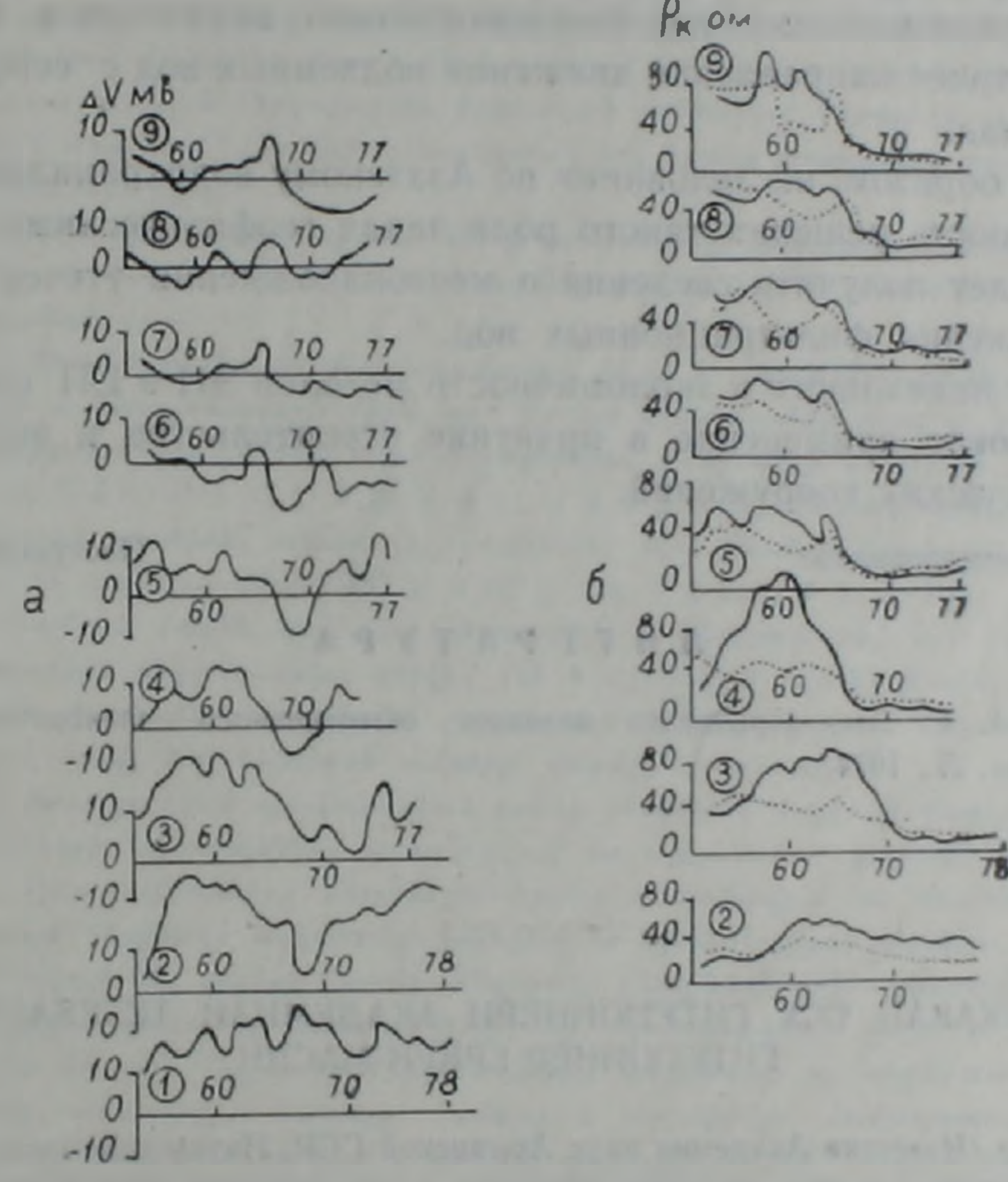


Рис. 4. Графики естественного электрического поля (ЕП) и электропрофилирования (ЭП) по участку Амирамидзор. а) Графики—ЕП. б) Графики—ЭП. в) Номер профиля  $\sim$  — AB = 30 м.  $\sim$  — A'B' = 12 м.

Профили задавались вкрест предполагаемому направлению движения грунтовых вод. Профилирование выполнялось по схеме AA MNB В при  $AB = 12 \ M$  и  $AB = 30 \ M$ . Шаг наблюдений составлял  $2 \ M$  при  $MN = 2 \ M$ .

По результатам исследований построены графики ЕП (рис. 4a), на которых отмечаются отрицательные аномалии естественного электрического поля с интенсивностью до минус 10 мв.

747 [17] [17] [17]

Наиболее характерные аномалии, связанные с наличием подзем ных притоков воды, были прослежены между пикетами 55 -60 и 68—70 (профили 6—9), которые далее объединяются в сосредоточенную зону с последующим выходом грунтовых вод в районе лога Амирамидзор.

Для однозначной оценки аномалий естественного электрического поля, исследования сопровождались наблюдениями методом электропрофилирования (рис. 46), на графиках р, отрицательные аномалии ЕП с силу водонасыщенности разреза отмечались как низкоомные участки с сопротивлением р, = 20—30 омм.

Данные электропрофилирования в комплексе с методом ЕП позволили однозначно оценить природу отрицательных аномалий естественного электрического поля как фильтрационного характера и определите господствующее направление движения подземных вод с северо-востока на юго-запад.

Таким образом, исследования по Азатскому водохранилищу показали возможность решения такого рода задач геофизическими методами что позволяет получить сведения о местонахождении утечек и направлении движения фильтрационных вод.

В силу надежности и экономичности методов ЭП и ЕП они должны найти широкое применение в практике строительства и эксплуатации гидротехнических сооружений

Институт Армгипроводхоз

Поступила 17.IV.1979

### ЛИТЕРАТУРА

1. Семенов А. С. Электроразведка методом естественного электрического поля «Недра», Л., 1974

### АЙКАКАН ССХ ГИТУТЮННЕРИ АКАДЕМИАИ ТЕХЕКАГИР ГИТУТЮННЕР ЕРКРИ МАСИН

В журнале «Известия Академии наук Армянской ССР, Науки о Земле» публикуются результаты теоретических, экспериментальных и практических исследований, проводимых в научно-исследовательских институтах, вузах и производственных геологических организациях республики и сопредельных районов в области геологии, геофизики и физической географии.

Виходит в год Цена годового комплекта 3 руб

Urospit.

Технический редактор Л А АЗИЗБЕКЯН

Сдано в набор 3.03. 1981. Подписано к печати 26.05.1981, ВФ 06689 Бумага № 1, 70×108<sup>1</sup>/<sub>18</sub>. Плоскопечать. Печ. лист. 5,5. Усл. печ. л. 7,7 Учет.-изд. л. 6,38. Тираж 635. Заказ 308. Нздат. № 5439 375019, Ереван, Барекамутян, 24-а. III эт., т. 27-95-194 Гипография Издательства АН Армянской ССР, Ереван, Барекамутян, 24.